

**UNIVERSIDADE FEDERAL DE MINAS GERAIS
PROGRAMA DE PÓS-GRADUAÇÃO EM MEDICINA MOLECULAR**

**IDENTIFICAÇÃO DE MUTAÇÕES
GERMINATIVAS EM PACIENTES COM CÂNCER
PAPILÍFERO FAMILIAR DE TIREOIDE
ATRAVÉS DE ANÁLISE DE EXOMA**

Débora Chaves Moraes Ribeiro

Orientador: Prof. Luiz Armando Cunha de Marco

Co-orientadora: Profª. Luciana Bastos Rodrigues

Belo Horizonte

2018

**IDENTIFICAÇÃO DE MUTAÇÕES
GERMINATIVAS EM PACIENTES COM CÂNCER
PAPILÍFERO FAMILIAR DE TIREOIDE
ATRAVÉS DE ANÁLISE DE EXOMA**

Débora Chaves Moraes Ribeiro

Débora Chaves Moraes Ribeiro

**IDENTIFICAÇÃO DE MUTAÇÕES
GERMINATIVAS EM PACIENTES COM CÂNCER
PAPILÍFERO FAMILIAR DE TIREOIDE
ATRAVÉS DE ANÁLISE DE EXOMA**

Tese apresentada ao Programa de Pós-graduação em Medicina Molecular da Universidade Federal de Minas Gerais, como requisito para qualificação no doutorado em Medicina Molecular

Área de concentração: *Medicina Molecular*

Linha de pesquisa: *Oncologia*

Orientador: *Prof. Dr. Luiz Armando Cunha de Marco*

Co-Orientadora: *Profª. Drª. Luciana Bastos Rodrigues*

Belo Horizonte

Faculdade de Medicina da UFMG

2018

Ribeiro, Débora Chaves Moraes.
R484i Identificação de mutações germinativas em pacientes com Câncer Papilífero Familiar de Tireoide através de Análise de Exoma [manuscrito]. / Débora Chaves Moraes Ribeiro. - - Belo Horizonte: 2018.
125f.: il.
Orientador (a): Luiz Armando Cunha de Marco.
Coorientador (a): Luciana Bastos Rodrigues.
Área de concentração: Medicina Molecular.
Tese (doutorado): Universidade Federal de Minas Gerais, Faculdade de Medicina.

1. Câncer Papilífero da Tireoide. 2. Exoma. 3. Peptidilprolil Isomerase de Interação com NIMA. 4. Domínios de Homologia à Plecstrina. 5. Receptores Purinérgicos P2X5. 6. Dissertação Acadêmica. I. Marco, Luiz Armando Cunha de. II. Rodrigues, Luciana Bastos. III. Universidade Federal de Minas Gerais, Faculdade de Medicina. IV. Título.

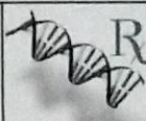
NLM: WQ 205

Bibliotecário responsável: Fabian Rodrigo dos Santos CRB-6/2697



UNIVERSIDADE FEDERAL DE MINAS GERAIS

PROGRAMA DE PÓS-GRADUAÇÃO EM MEDICINA MOLECULAR



FOLHA DE APROVAÇÃO

IDENTIFICAÇÃO DE MUTAÇÕES GERMINATIVAS EM PACIENTES COM CÂNCER PAPILÍFERO FAMILIAL DE TIREÓDE ATRAVÉS DE ANÁLISE DE EXOMA

DEBORA CHAVES MORAES RIBEIRO

Tese submetida à Banca Examinadora designada pelo Colegiado do Programa de Pós-Graduação em MEDICINA MOLECULAR, como requisito para obtenção do grau de Doutor em MEDICINA MOLECULAR, área de concentração MEDICINA MOLECULAR.

Aprovada em 21 de dezembro de 2018, pela banca constituída pelos

Prof(a). Luiz Armando Cunha De Marco - Orientador
UFMG

Prof(a). Luciana Bastos Rodrigues – Co-orientadora
UFMG

Flávia Marques de Melo
Prof(a). Flávia Marques de Melo
PUC

Patrícia Gonçalves Pereira Couto

Prof(a). Patrícia Gonçalves Pereira Couto
Laboratório Hermes Pardini

Paula Vieira Teixeira Vidigal
Prof(a). Paula Vieira Teixeira Vidigal
UFMG

Marta Sarquis Soares
Prof(a). Marta Sarquis Soares
UFMG

Belo Horizonte, 21 de dezembro de 2018.

Dedico esse trabalho aos meus pais, ao Eugênio Ribeiro, ao João Guilherme, as minhas irmãs e ao Eduardo Galo. A eles, toda minha admiração, amor e gratidão.

AGRADECIMENTOS

A Deus por todas as oportunidades de aprendizado e crescimento, e pela beleza e grandiosidade da vida;

Aos meus pais, meus grandes exemplos de integridade, superação, virtude e compaixão, agradeço, com toda admiração e gratidão, pela convivência, força, amor, paciência, carinho e cuidado;

Ao Eugênio, meu grande companheiro, pessoa extremamente virtuosa, agradeço pelo apoio, força, amor, pelos questionamentos e sorrisos;

Ao professor Luiz Armando Cunha de Marco, pela orientação, pela confiança, pela compreensão e paciência nos momentos que se fizeram necessários, e pelas admiráveis seriedade e dedicação para com a formação dos alunos;

À Mariana Costa Rossette, pela amizade, e por ter acreditado no meu sonho e me dado a oportunidade de desenvolver pesquisa na área da medicina;

À professora Luciana Rodrigues, por todas as contribuições, apoio, orientações e pela dedicação aos trabalhos que realiza;

Aos pesquisadores Helena Sarubi, Flávia Melo, Patrícia Couto, Franciele Bianchini e Pedro Azevedo pelas leituras sugeridas, pelos debates e ensinamentos;

Aos colegas e amigos do laboratório de Medicina Molecular da UFMG, em especial à Helia Tenza, Alexandre Magno e Daniela Valadão pela agradável convivência e aprendizados;

A todos os alunos de Iniciação Científica que colaboraram para a realização das pesquisas, em especial aos alunos: Fabiana Versiani, Izabela Paim, e Luiz Felipe Lima pela dedicação e comprometimento;

À banca examinadora agradeço por aceitarem o convite;

A todos os meus familiares e amigos, agradeço pela motivação e afeto;

Ao CNPq, pela concessão da bolsa de doutorado, que permitiu a minha formação no curso e o desenvolvimento dessa pesquisa.

RESUMO

O câncer de tireoide é o tumor maligno mais comum do sistema endócrino e representa 2,1% dos diagnósticos de câncer em todo o mundo. O carcinoma papilífero da tireoide (PTC) corresponde a mais de 80% dos casos desse tumor e é predominantemente esporádico. Casos de PTC hereditários consistem em 5%, tendem a ter início mais precoce, além de maiores riscos de metástase e de recorrência. O PTC familiar é uma doença geneticamente heterogênea, cuja patogênese não está associada às variantes observadas no carcinoma papilífero de tireoide esporádico. Assim, ainda permanecem desconhecidas as alterações moleculares associadas à carcinogênese da tireoide na maioria das famílias acometidas pelo PTC. Nesse contexto, o objetivo deste trabalho foi determinar a base genética de PTC em três famílias brasileiras (Famílias A, B e C) compostas por dois ou mais parentes de primeiro grau com o fenótipo do tumor de tireoide. Mutações germinativas foram pesquisadas em pelo menos um integrante de cada família utilizando-se o sequenciamento completo do exoma, enquanto o sequenciamento de Sanger foi utilizado para validação das mutações encontradas nos exomas e para genotipagem dos genes candidatos nos outros indivíduos de cada família. Foram identificadas sete variantes que podem estar associadas à suscetibilidade para PTC familiar. Dentre as variantes candidatas, foram observadas duas na Família A (p.D283N no gene *ANXA3* e p.Y157S no gene *NTN4*), uma na Família B (p.G172W no gene *SERPINA1*), quatro na Família C (p.G188S no gene *FKBP10*, p.R937C no gene *PLEKHG5*, p.L32Q no gene *P2RX5*, e p.Q76* no gene *SAPCDI*). Essas mutações foram validadas pelo Sequenciamento de Sanger e também estavam presentes nos demais membros das respectivas famílias. Não foram validadas variantes candidatas comuns a todas as famílias. Mais estudos são necessários para a compreensão do papel exato dessas variantes, bem como a avaliação da presença destas mutações em outras famílias com PTC.

Palavras-chave: câncer papilífero familiar de tireoide; exoma; *FKBP10*; *PLEKHG5*; *P2RX5*; *SAPCDI*; *ANXA3*; *NTN4*; *SERPINA1*

ABSTRACT

Thyroid cancer is the most common malignant tumor of the endocrine system and accounts for 2.1% of cancer diagnoses worldwide. Papillary thyroid carcinoma (PTC) accounts for more than 80% of cases of this tumor and is predominantly sporadic. Hereditary PTC consists of 5% of the cases and tend to have an earlier onset, besides greater risks of metastasis and recurrence. Familial PTC is a genetically heterogeneous disease whose pathogenesis is not associated with the observed variants in sporadic papillary thyroid carcinoma. Thus, the molecular alterations associated with thyroid carcinogenesis in most families affected by PTC remain unknown. In this context, the objective of this study was to determine the genetic basis of PTC in three Brazilian families (Families A, B and C) composed of two or more first degree relatives that have the thyroid tumor phenotype. Germline mutations were screened in at least one member of each family using complete exome sequencing, while Sanger sequencing was used to validate the mutations found in exomes and to genotype candidate genes in the other individuals of each family. Seven variants that may be associated with susceptibility to PTC have been identified. Among the candidate variants, two in Family A were detected (p.D283N in the *ANXA3* gene and p.Y157S in the *NTN4* gene), apart from one in Family B (p.G172W in the *SERPINA1* gene) and four in Family C (p.G188S in the gene *FKBP10*, p.R937C in the *PLEKHG5* gene, p.L32Q in the *P2RX5* gene, and p.Q76* in the *SAPCD1* gene). These mutations were validated by the Sanger Sequencing and were also present in the other members of the respective families. Candidate variants that were common to all families were not validated. More studies are needed to understand the exact role of these variants, as well as to evaluate the presence of these mutations in other families with PTC.

Keywords: Familial papillary thyroid carcinoma; exoma; *FKBP10*; *PLEKHG5*; *P2RX5*; *SAPCD1*; *ANXA3*; *NTN4*; *SERPINA1*

SUMÁRIO

1	INTRODUÇÃO	12
1.1	TIREOIDE	12
1.2	CÂNCER DE TIREOIDE	16
1.2.1	<i>Patogênese do câncer tireoide</i>	21
1.2.2	<i>Alterações genéticas no PTC esporádico</i>	22
1.2.3	<i>Alterações genéticas no PTC familiar não sindrômico</i>	27
1.2.4	<i>Diagnóstico e tratamento do câncer papilífero de tireoide</i>	31
1.3	ANÁLISE DE EXOMA COMO FERRAMENTA NA ELUCIDAÇÃO DA CARCINOGENESE.....	35
2	OBJETIVOS.....	38
3	MATERIAL E MÉTODO	39
3.1	IDENTIFICAÇÃO DOS PACIENTES E DOS CONTROLES	39
3.2	EXTRAÇÃO DE DNA DE LEUCÓCITOS DE SANGUE PERIFÉRICO	41
3.3	EXTRAÇÃO DE DNA DE TECIDO TUMORAL INCLUÍDO EM PARAFINA	41
3.4	SEQUENCIAMENTO DO EXOMA	42
3.5	ANÁLISE DO SEQUENCIAMENTO COMPLETO DO EXOMA ATRAVÉS DE BIOINFORMÁTICA	43
3.5.1	<i>Alinhamento e detecção de variantes candidatas</i>	43
3.5.2	<i>Mutações encontradas em ambos os programas Ingenuity Variant Analysis™ e Mendel, MD com potencial associação ao desenvolvimento de câncer familiar papilífero de tireoide</i>	47
3.6	VALIDAÇÃO DAS VARIANTES CANDIDATAS SELECIONADAS	48
3.7	AVALIAÇÃO DA PRESENÇA DAS VARIANTES VALIDADAS NA POPULAÇÃO CONTROLE E EM OUTROS MEMBROS DAS FAMÍLIAS ESTUDADAS	52
3.8	AVALIAÇÃO DAS VARIANTES VALIDADAS COM BASE SISTEMA DE CLASSIFICAÇÃO DE VARIANTES SEGUNDO A ESCOLA AMERICANA DE GENÉTICA E GENÔMICA MÉDICA (ACMG)	52
4	RESULTADOS.....	54
4.1	CARACTERÍSTICAS CLÍNICAS DOS PACIENTES.....	54
4.2	RESULTADOS DOS SEQUENCIAMENTOS COMPLETOS DOS EXOMAS.....	55
4.2.1	<i>Família A</i>	55
4.2.2	<i>Família B</i>	57
4.2.3	<i>Família C</i>	59
4.2.4	<i>Equivalência entre as Famílias A, B e C</i>	62
4.2.5	<i>Análise nas Famílias A, B e C das mutações previamente descritas na literatura como associadas a patogênese de PTC familiar</i>	62
5	DISCUSSÃO E CONCLUSÃO.....	63
6	REFERÊNCIAS BIBLIOGRÁFICAS	68
7	APÊNDICE.....	81

LISTA DE FIGURAS

Figura 1: Microscopia da glândula tireoide, na qual se observam as pequenas esferas denominadas folículos tireoidianos (F) preenchidos de colóide. (Fonte: Junqueira <i>et al.</i> , 2017).	13
Figura 2: Mecanismos de retroalimentação na síntese dos hormônios tireoidianos. (Fonte: Brasileiro, 2016)	14
Figura 3: Distribuição proporcional dos dez tipos de câncer mais incidentes estimados para 2018, exceto pele não melanoma. (Fonte: INCA, 2017).	17
Figura 4: Modelo estocástico de progressão dos carcinomas derivados do epitélio folicular de tireoide. (Fonte: Chmielik <i>et al.</i> , 2018, modificado)	22
Figura 5: Modelo de formação dos carcinomas de tireoide a partir de células-tronco. (Fonte: Chmielik <i>et al.</i> , 2018. modificado)	22
Figura 6: Eventos moleculares no câncer de tireoide associados a alterações no gene <i>BRAF</i> e rearranjo no gene <i>RET</i>	24
Figura 7: Etapas sequenciais da técnica de WES. (Fonte: Bamshad <i>et al.</i> , 2011, modificado)	37
Figura 8: Heredogramas das famílias com PTC estudadas no presente trabalho: a) Família A, b) Família B e	40
Figura 9: Heredograma da Família A e genótipos associados ao fenótipo de PTC. Círculos e quadrados representam indivíduos femininos e masculinos, respectivamente. O probando é indicado por seta preta. Os membros falecidos são representados por linhas diagonais. (A) Heredograma da Família A, a qual apresenta membros afetados por câncer papilífero de tireoide. (B) Eletroferogramas das mutações germinativas de sentido trocado identificadas em heterozigoze nos casos II.2, III.1, III.2 e III.3 da Família A.	57
Figura 10: Heredograma da Família B e genótipo associado ao fenótipo de PTC. Círculos e quadrados representam indivíduos femininos e masculinos, respectivamente. O probando é indicado por seta preta. Os membros falecidos são representados por linhas diagonais. (A) Heredograma da Família B, a qual apresenta membros afetados por câncer papilífero de tireoide. (B) Eletroferograma da mutação germinativa de sentido trocado identificadas em heterozigoze nos casos II.1, I.2 e (a confirmar) II.2.	59
Figura 11: Heredograma da Família C e genótipos associados ao fenótipo de PTC. Círculos e quadrados representam indivíduos femininos e masculinos, respectivamente. O probando é indicado por seta preta. Os membros falecidos são representados por linhas diagonais. (A) Heredograma da Família C, a qual apresenta membros afetados por câncer papilífero de tireoide. (B) Eletroferogramas das mutações germinativas de sentido trocado ou sem sentido identificadas em heterozigoze nos casos I.2, II.1 e II.2 da Família C.	61

LISTA DE TABELAS

Tabela 1: Descrição das plataformas disponíveis no mercado para análise de expressões gênicas e/ou mutações nos marcadores moleculares do câncer de tireoide.	27
Tabela 2: Variantes germinativas envolvidas na carcinogênese do câncer papilífero familiar de tireoide.....	29
Tabela 3: Classificação de Bethesda (ano 2017) para exames citológicos de tireoide.....	32
Tabela 4: Parâmetros utilizados na classificação TNM/AJCC de câncer papilífero, folicular, pouco diferenciados e anaplásicos de tireoide.....	34
Tabela 5: Descrição dos estádios dos carcinomas de tireoide.....	35
Tabela 6: Sequência dos filtros empregados nos programas <i>Ingenuity Variant Analysis™</i> e Mendel, MD.....	46
Tabela 7: Escores das ferramentas utilizadas para análise do efeito das mutações identificadas.	48
Tabela 8: Conjuntos de iniciadores utilizados para amplificar as variantes candidatas identificadas no sequenciamento do exoma paciente II.2 da Família A.	49
Tabela 9: Conjuntos de iniciadores utilizados para amplificar a variante candidata identificada no sequenciamento do exoma do paciente II.1 da Família B.....	49
Tabela 10: Conjuntos de iniciadores utilizados para amplificar a variante candidata identificada em comum nos sequenciamentos dos exomas dos pacientes II.2 da Família A, II.1 da Família B, I.2. e II.1 da Família C.	49
Tabela 11: Conjuntos de iniciadores utilizados para amplificar as variantes candidatas identificadas nos pacientes I.2 e II.1 da Família C.....	50
Tabela 12: Conjuntos de iniciadores utilizados para amplificação do éxon 15 do gene <i>BRAF</i>	52
Tabela 13: Critérios para classificação de variantes patogênicas ou possivelmente patogênicas segundo Richards <i>et al.</i> (2015).....	53
Tabela 14: Dados clínicos dos pacientes analisados integrantes das Famílias A, B e C que apresentam PTC.....	55
Tabela 15: Análise do efeito funcional das mutações encontradas na Família A usando as ferramentas <i>Provean</i> , <i>Polyphen2</i> , <i>SIFT</i> e <i>CADD</i>	56

Tabela 16: Fatores empregados na seleção de genes/mutações potencialmente associados ao desenvolvimento de CPT na Família A	56
Tabela 17: Análise do efeito funcional da mutação encontrada na Família B usando as ferramentas <i>Provean</i> , <i>Polyphen2</i> , <i>SIFT</i> e <i>CADD</i>	58
Tabela 18: Fatores avaliados para seleção de genes/mutações potencialmente associados ao desenvolvimento de CPT na Família A	58
Tabela 19: Análise do efeito funcional das mutações encontradas na Família C usando as ferramentas <i>Provean</i> , <i>Polyphen2</i> , <i>SIFT</i> e <i>CADD</i>	60
Tabela 20: Fatores avaliados para seleção de genes/mutações potencialmente associados ao desenvolvimento de CPT na Família C	62

LISTA DE ABREVIATURAS, SIGLAS E SÍMBOLOS

T3	tri-iodotironina
T4	tiroxina
NIS	simportador sódio-iodo
TPO	enzima tireoperoxidase
TSH	hormônio estimulante da tireóide
TTR	transtirretina
MTC	carcinoma medular de tireoide
NMTC	carcinoma não medular de tireoide
DTC	tumores diferenciados de tireoide
ATC	carcinoma anaplásico de tireoide
PTC	carcinoma papilífero da tireoide
FNMTC	carcinomas não medulares familiares de tireoide
BRAF	proto-oncogene <i>BRAF</i>
MAPK	proteínas quinase ativadas por mitógenos
RET/PTC	translocação RET/PTC
TERT	gene da Transcriptase reversa da telomerase
RAS	proto-oncogene <i>RAS</i>
Raf	proteína Raf quinase
MEK	quinase ativadora da MAP quinase
PI3K/Akt	via de sinalização celular PI3K/Akt
RFG	gene RFG
NTRK	gene <i>NTRK</i>
PAX8/PPARγ	rearranjo dos genes <i>PAX8/PPARγ</i>
miRNA	micro RNA
SRGAPI	gene <i>SRGAPI</i>
*MIM	símbolo usado no banco de dados OMIM para designar genes
TITF-1/NKX2.1	gene do fator de transcrição da tireoide
FOXE1	gene <i>FOXE1</i>
HABP2	gene <i>HABP2</i>

<i>SRRM2</i>	gene <i>SRRM2</i>
<i>MAP2K5</i>	gene <i>MAP2K5</i>
TCO	Locus TCO do cromossomo humano
MNG1	Locus MNG1 do cromossomo humano
US	Ultrassom
CAAF	citologia aspirativa com agulha fina
^{131}I	iodo radioativo
sistema TNM/AJCC	sistema TNM de estadiamento de câncer segundo o Comitê Americano de Câncer

1 INTRODUÇÃO

1.1 *Tireoide*

A tireoide é uma glândula endócrina cuja função é a de sintetizar os hormônios calcitonina, tiroxina (T4) e tri-iodotironina (T3) (Junqueira *et al.*, 2017). A glândula apresenta em média 20 a 30g, sendo composta por dois lobos laterais, cada um deles de, aproximadamente, 4cm X 2cm X 4cm. Situa-se na porção anterior do pescoço, profundamente aos músculos esternotireoideo e esterno-hióideo, e é acessível à palpação, sobretudo quando sofre hiperplasia ou contém nódulos (Brasileiro, 2016). A glândula cobre a superfície anterolateral da traqueia, e as porções laterais e inferiores das cartilagens cricóide e tireoide. Possui uma base (ou pólo inferior) na altura da sétima vértebra cervical, e um ápice (ou pólo superior) no nível da quinta vértebra cervical (Moore, 2014; Porto, 2014). A tireoide é revestida por uma cápsula de tecido conjuntivo frouxo que envia septos para o parênquima (Porto, 2014; Junqueira *et al.*, 2017). Microscopicamente são identificadas ao longo de toda a extensão da glândula pequenas esferas de 0,2 a 0,9 mm de diâmetro, denominadas folículos tireoidianos. Estes são compostos por células foliculares (tireócitos) organizadas em uma única camada de epitélio simples, e são preenchidos por colóide rico em hormônios tireoidianos T3 e T4 (Junqueira *et al.*, 2017).

Nos folículos tireoideanos pode ser encontrada também outro tipo de célula, a célula parafolicular ou célula C. Entretanto, mais comumente as células C formam agrupamentos isolados entre esses folículos (Figura 1). As células parafoliculares produzem o hormônio calcitonina, cujo efeito principal é inibir a reabsorção de tecido ósseo e, em consequência, diminuir o nível de cálcio no plasma (Junqueira *et al.*, 2017).

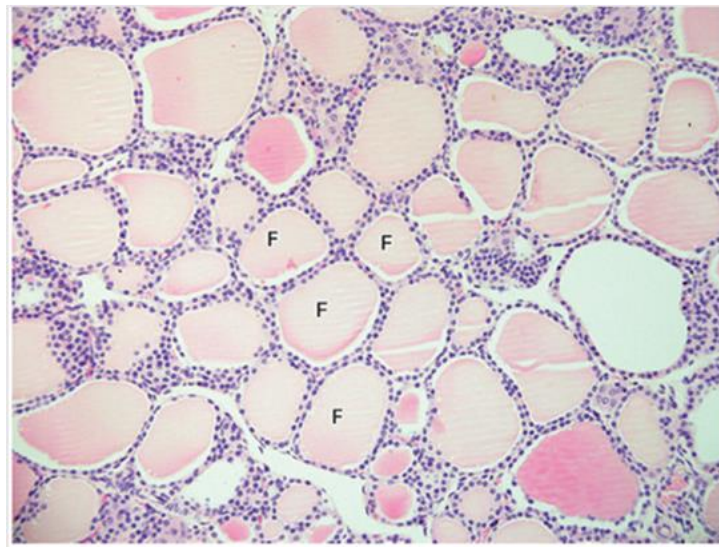


Figura 1: Microscopia da glândula tireoide, na qual se observam as pequenas esferas denominadas folículos tireoidianos (F) preenchidos de colóide. (Fonte: Junqueira *et al.*, 2017).

A síntese e a secreção dos hormônios T3 e T4 na tireoide transcorrem nas seguintes etapas principais: 1) iodeto circulante é transportado para o interior dos tireócitos através de transporte ativo mediado pelo simportador sódio-iodo (NIS); 2) o iodeto captado é liberado para a luz folicular através da pendrina; 3) o iodeto é oxidado e organificado (ou seja, os resíduos tirosina da tireoglobulina são iodados) com a participação da enzima tireoperoxidase (TPO) na presença do cofator peróxido de hidrogênio; 4) no colóide presente na luz folicular iodoftirosinas se acoplam formando T3 e T4; 5) gotículas do coloide são internalizadas nos tireócitos e caminham para o polo basal dessas células, onde sofrem ação enzimática que resulta na liberação dos hormônios tireoidianos T3 (com maior atividade biológica) e T4 para os tecidos periféricos. Nestes, o T4 é então convertido em T3 pela ação de desiodinases (Wajchenberg *et al.*, 2014).

Diversos mecanismos estão associados ao equilíbrio dos níveis de T3 e de T4 no organismo (Porto, 2014; Wajchenberg *et al.*, 2014). O crescimento celular e a mitogênese, bem como a produção e liberação dos hormônios T3 e T4 para o sistema circulatório são regulados positivamente pelo hormônio estimulante da tireoide (TSH). Este hormônio, produzido pela adeno-hipófise, tem sua síntese inibida pelos hormônios tireoidianos

(feedback negativo) circulantes (Porto, 2014). T3 é o principal hormônio tireoidiano que gera *feedback negativo*, regulando a expressão gênica de TSH e do hormônio liberador da tireotrofina (TRH). A secreção de TSH também é inibida por somatostatina, dopamina, agonistas dopaminérgicos como a bromocriptina e glicocorticoides. A síntese de TSH é, por sua vez, estimulada pelo TRH produzido no hipotálamo (Wajchenberg *et al.*, 2014) (Figura 1Figura 2).

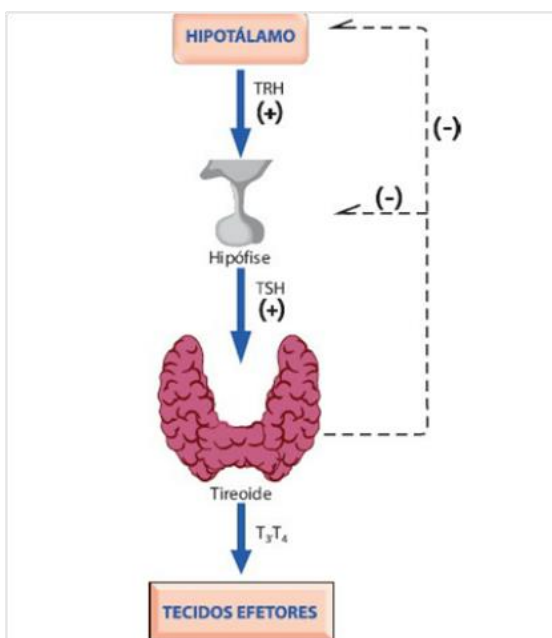


Figura 2: Mecanismos de retroalimentação na síntese dos hormônios tireoidianos. (Fonte: Brasileiro, 2016)

Cerca de 95% dos hormônios T3 e T4 circulantes encontram-se unidos às proteínas transportadoras denominadas globulina transportadora de tiroxina (TBG), transtirretina (TTR) e albumina. Porém, a fração de hormônio circulante livre é a única com capacidade de ingressar nas células e exercer seus efeitos (Junqueira *et al.*, 2017). Em condições normais, os valores séricos do TSH variam entre 0,5 mUI/l e 5,5 mUI/l, enquanto os níveis de T4 livre sérica ficam em torno de 0,7 a 1,9 ng/dL (Wajchenberg *et al.*, 2014).

De acordo com Wajchenberg *et al.* (2014) e com Junqueira *et al.* (2017), T3 se liga a receptores nucleares específicos nas células-alvo para então promover:

- I) controle da expressão de genes transpcionais;
- II) mudanças na expressão celular de determinadas proteínas, com consequente resposta funcional nos tecidos-alvo;
- III) aumento da utilização celular de glicose nos tecidos extra-hepáticos;
- IV) estímulo da neoglicogênese hepática;
- V) estímulo da síntese proteica e do consumo de oxigênio no organismo;
- VI) aumento do número de mitocôndrias nas células;
- VII) aumento da absorção de carboidratos no intestino;
- VIII) regulação do metabolismo de lipídios;
- IX) influenciam o desenvolvimento do sistema nervoso durante a vida fetal, e o crescimento somático e do desenvolvimento do esqueleto pós-natal.

A tireoide é um órgão extremamente vascularizado por uma extensa rede capilar sanguínea e linfática que envolve os folículos (Junqueira *et al.*, 2017). As artérias que irrigam a glândula tireoide correspondem as artérias tireoideas superior (originária da carótida externa) e inferior (ramo do tronco tireocervical). Dez por cento da população humana têm ainda uma pequena artéria tireoidea imã, originada geralmente no tronco braquiocefálico. A drenagem é realizada pelas veias tireoidianas superiores, médias e inferiores, as quais formam um plexo na face anterior da traqueia. As duas primeiras terminam na veia jugular interna; a inferior drena para as veias braquiocefálicas (Moore, 2014).

Os vasos linfáticos da tireoide, por sua vez, seguem para linfonodos ascendentes mediais (pré-laríngeos), descendentes mediais (pré-traqueais) e descendentes laterais (paratraqueais). Os linfonodos pré-laríngeos drenam para os cervicais profundos

superiores, enquanto os linfonodos pré e paratraqueais drenam para os linfonodos cervicais profundos inferiores. Alguns desses vasos linfáticos podem ainda drenar para os linfonodos braquiocefálicos ou para o ducto torácico. Com relação à inervação, a glândula apresenta nervos vasomotores derivados dos gânglios simpáticos cervicais superiores, médios e inferiores. Desse modo, a secreção endócrina da glândula é controlada, conforme descrito previamente, hormonalmente pela hipófise (Moore, 2014; Porto, 2014).

1.2 Câncer de tireoide

O câncer de tireoide é o tumor maligno mais comum do sistema endócrino e representa 2,1% dos diagnósticos de câncer em todo o mundo. Nas últimas décadas houve mundialmente uma elevação da incidência desse tumor, a qual passou a ser de 4,6 casos por 100.000 indivíduos em 1974-1977 para 14,4 casos por 100.000 indivíduos em 2010-2013 (Kitahara, Sosa 2016; La Vecchia, Negri, 2017). Essa mudança está associada ao aumento da longevidade da população, das oportunidades de diagnóstico, e da exposição a fatores de risco ambientais, em especial a radiação ionizante (Kitahara, Sosa, 2016; Nikiforov *et al.*, 2016).

É aproximadamente quatro vezes mais prevalente em mulheres do que em homens, e ocupa a oitava posição no *ranking* dos cânceres que acometem a população feminina no mundo (INCA, 2017). No Brasil, para o ano de 2018 foram estimados 9.610 novos casos de câncer de tireoide, e destes, 8.040 casos eram esperados para ocorrerem em mulheres. Com isso, no ano de 2018, o câncer de tireoide seria o quinto mais incidente na população feminina brasileira (Figura 3), e o 13º mais incidente na população masculina brasileira (com 1.570 casos estimados para os homens) (INCA, 2017).

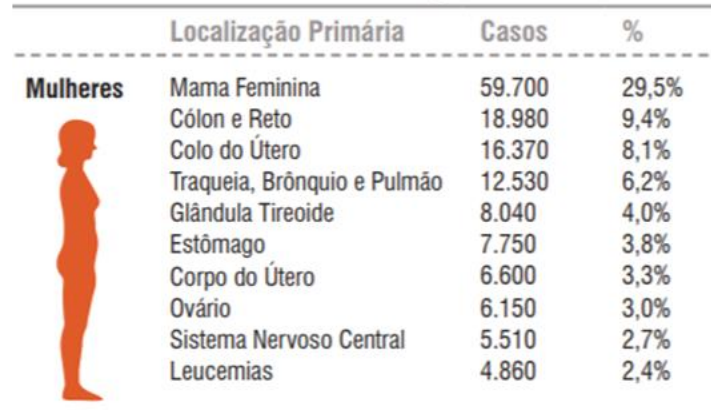


Figura 3: Distribuição proporcional dos dez tipos de câncer mais incidentes estimados para 2018, exceto pele não melanoma. (Fonte: INCA, 2017).

O câncer proveniente das células da tireoide pode ser classificado em carcinoma medular de tireoide (MTC), que se origina das células parafoliculares, bem como em carcinoma não medular (NMTC), o qual se desenvolve a partir das células foliculares e corresponde a cerca de 90% dos casos (Wajchenberg *et al.*, 2014). A classificação citopatológica de nódulos/tumores de tireoide é definida pelo Sistema Bethesda (descrito no item 1.2.4). O carcinoma medular de tireoide pode ser esporádico ou hereditário, o qual está associado a outras neoplasias endócrinas (feocromocitoma, hiperparatiroidismo), a líquen amiloide cutâneo em região interescapular, ganglioneuromas ou fácies típicas, ou história familiar de primeiro grau de portadores da neoplasia e/ou de mutação no RET (Wajchenberg *et al.*, 2014). Metástases linfonodais cervicais são encontradas em 50% dos casos, e metástases à distância, em 20%. Por conseguinte, nos pacientes com maior disseminação da doença, a taxa de sobrevida de 10 anos é de 15 a 45%, enquanto a dos indivíduos com MTC restrito a taxa é de 95% (Maia *et al.*, 2014). A apresentação clínica mais comum do tumor esporádico corresponde a nódulo tireoidiano único, enquanto no MTC hereditário é geralmente multicêntrico. O diagnóstico tende a ser tardio (geralmente entre 60 e 70 anos) nas formas esporádicas do tumor (Katoh *et al.*, 2015).

Os NMTC podem ser tumores diferenciados (DTC) foliculares, DTC papilíferos, tumores anaplásicos ou tumores pobramente diferenciados (Cibas, Ali, 2017). Os DTC totalizam 80% dos casos totais de câncer de tireoide, enquanto os tumores anaplásicos e os pouco diferenciados correspondem, respectivamente a 2% e a 1% dos pacientes afetados. Cerca de 5% a 10% dos casos de tumor de tireoide são causados por células de origem não tireoidiana (linfomas de tireoide, sarcomas, lesões metastáticas, teratomas e endoteliomas) (Wajchenberg *et al.*, 2014; Cibas, Ali, 2017). Metástases para a tireoide ocorrem raramente, sendo as mais comuns de melanoma, câncer de mama, hipernefroma, câncer de pulmão e câncer de cabeça e pescoço (Brasileiro, 2016).

O carcinoma anaplásico (ATC) é um dos tumores sólidos mais agressivos que afetam os seres humanos. A taxa de sobrevida de 10 anos para pacientes com esse tumor é de menos de 5%, sendo que a sobrevida média é de 3 a 5 meses após o diagnóstico (Nagaiah *et al.*, 2011). Cerca da metade dos pacientes com esse tumor tiveram DTC previamente ou têm câncer diferenciado de tireoide coexistente. É mais frequente em mulheres acima dos 50 anos, e geram comumente invasão local e metástases nos pulmões, pleura, ossos e cérebro (Wajchenberg *et al.*, 2014). As manifestações clínicas dos ATC correspondem a massa cervical anterior (de consistência dura e crescimento muito rápido), que na maioria das vezes está associada a sintomas de invasão de estruturas vizinhas (disfagia, estridor inspiratório, dor), e metastização ganglionar e à distância. Sintomas sistêmicos incluem anorexia, perda de peso, e, como consequência de metástases pulmonares, dispnéia (Nagaiah *et al.*, 2011).

O carcinoma folicular de tireoide representa cerca de 15% dos carcinomas diferenciados. Tem maior prevalência em áreas deficientes da ingestão de iodo, e pico de incidência na quinta década de vida. Raramente acarreta em metástases em linfonodos cervicais. Porém, pode gerar metástases à distância em 15-20% dos casos, em especial no

pulmão e em ossos (Wajchenberg *et al.*, 2014; Cipriani *et al.*, 2015). O carcinoma folicular de tireoide geralmente se manifesta como nódulo encapsulado único (com ou sem hemorragia nodular), embora possa se apresentar como nódulo recente em bócio de longa data (Wajchenberg *et al.*, 2014, Katoh *et al.*, 2015). A sobrevida em 10 anos nesses cânceres pode variar de 46% a 97%, dependendo do grau de invasão capsular ou vascular (Cipriani *et al.*, 2015). A variante oncocítica do carcinoma folicular, por exemplo, tem crescimento rápido, grande potencial de invasão vascular e ampla disseminação hematogênica, levando a frequentes metástases pulmonares e pleurais, além de comprometimento dos linfonodos regionais e dos feixes musculares próximos das cadeias linfonodais da região tireoidiana (Brasileiro, 2016). Nesse sentido, os fatores associados a pior prognóstico no carcinoma folicular são idade, invasão vascular, metástases (Ito *et al.*, 2007; Wajchenberg *et al.*, 2014).

O carcinoma papilífero da tireoide (PTC) representa mais de 80% dos casos de carcinomas diferenciados, incide principalmente em indivíduos entre 30 a 50 anos e é mais comum entre as mulheres (Rahbari *et al.*, 2010). Apresenta-se como lesão nodular única ou múltipla, sólida (tumor primário) ou cística (metástase), com ou sem cápsula, e às vezes com hemorragia ou necrose. Microscopicamente observa-se que é constituído por papilas formadas por camada única de células cúbicas, sustentadas por eixo conjuntivo vascularizado (Brasileiro, 2016). Mitoses são raramente identificadas nessas células, as quais possuem núcleos arredondados (maiores do que os das células foliculares) e com aspecto de vidro fosco. Outros achados desse tumor são as células cúbicas com membranas nucleares (olho da órfã Annie) e as estruturas calcificadas no estroma denominadas os corpos psamomatosos (Katoh *et al.*, 2015; Seok *et al.*, 2018).

São descritas diversas variantes para o carcinoma papilífero de tireoide, as quais diferem morfologicamente e em seus prognósticos. A variante clássica é a mais

comumente diagnosticada. Em segundo lugar em prevalência estão as variantes mais agressivas, com potencial de infiltração e maior potencial de disseminação. Elas correspondem a variante folicular, variante esclerosante difusa, variante de células altas, e variante de células claras (Khanafshar, Lloyd, 2011). Outras variantes identificadas são denominadas microcarcinoma papilífero, variante macrofolicular, variante de células claras, variante Warthin-Like, carcinoma papilífero da tireoide com estroma fasceíte nodular, e variante oncocítica (ou células de Hurthle). Esta possui comprometimento biológico e prognóstico semelhante ao do carcinoma papilífero clássico: em geral crescimento é lento e taxa de sobrevida em 10 anos é de 95% (Brasileiro, 2016).

Na apresentação da doença, metástases nos linfonodos cervicais são identificadas em 25% dos pacientes e não se associam a um pior prognóstico. Invasão extratireoidiana é observada em 20% dos pacientes, enquanto 5% têm metástase à distância, principalmente no pulmão (Wajchenberg *et al.*, 2014). O pior prognóstico está associado à presença de pelo menos um dos seguintes fatores: idade mais avançada no diagnóstico, lesões aderentes às estruturas vizinhas, metástases invasivas cervicais ou à distância, e variantes celulares de carcinoma papilífero mais agressivas (DeLellis *et al.*, 2004).

Cerca de 95% de todos os casos de câncer de tireoide são esporádicos, associados a alterações genéticas somáticas, enquanto 5% dos casos são hereditários (Xing, 2013 Zang & Xing, 2016). Casos de carcinoma não medular de tireoide em dois ou mais parentes de primeiro grau são caracterizados como carcinomas não medulares familiares de tireoide (FNMTC). Os carcinomas papilíferos familiares de tireoide correspondem, assim a um tipo de FNMTC e são reconhecidos como uma entidade distinta do câncer papilífero de tireoide esporádico. Podem ser sindrômicos (5% dos casos), o que inclui a doença de Cowden, polipose adenomatosa familiar e complexo de Carney, ou não sindrômicos (95% dos casos) (Fallah *et al.*, 2013; Yang, Ngeow, 2016). Embora

controversas, pesquisas recentes de comparação entre cânceres esporádicos e os FNMTC não sindrômicos demonstraram que os últimos estão associados a menor sobrevida dos pacientes, tendo em vista que esses FNMTC correspondem a tumores que tendem a ser mais multifocais, mais agressivos, com invasões extra-tireoidianas, metástases linfonodais, com início mais precoce, e com maior risco de recorrência (Wang *et al.*, 2015). A maioria dos casos de carcinomas não medulares familiares de tireoide corresponde a carcinoma papilífero de tireoide familiar (Nose, 2011), o qual é tema da presente tese.

1.2.1 Patogênese do câncer tireoide

Existem duas grandes hipóteses apresentadas para explicar os processos de formação e de heterogeneidade do tumor de tireoide (Chmielik *et al.*, 2018). O modelo estocástico descrito por Namba *et al.* (1990) estabelece que os tumores são monoclonais, ou seja, originados de um clone que sofre alterações genéticas e epigenéticas e vence a barreira do controle da proliferação celular, tornando-se imortal. Desse clone surgem descendentes (subclones) com capacidade variada de sobreviver, de invadir tecidos e de metastatizar. De acordo com essa teoria, os carcinomas foliculares de tireoide (FTC) e os PTC derivam-se, respectivamente, de adenoma folicular e de tireócitos, e os tumores pouco diferenciados e os indiferenciados se desenvolvem a partir de PTCs e de FTCs (Figura 4). Dentre as limitações do modelo estocástico está o fato de alterações genéticas característica de tumores da tireoide diferenciados não estarem presentes no ATC (Chmielik *et al.*, 2018).

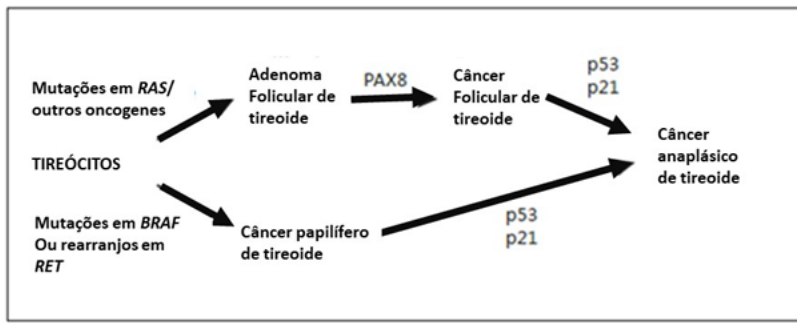


Figura 4: Modelo estocástico de progressão dos carcinomas derivados do epitélio folicular de tireoide. (Fonte: Chmielik *et al.*, 2018, modificado)

A outra hipótese, descrita por Takano (2014), admite que diferentes linhagens tumorais se originem a partir de células-tronco. Estas passam por transformações genéticas e epigenéticas e geram tumores anaplásicos e também células multipotentes progenitoras denominadas tireoblastos, que podem facilmente evoluir para PTC ou FTC (Figura 5). Tumores benignos originam, por sua vez, de células precursoras dos tireócitos (protireócitos).

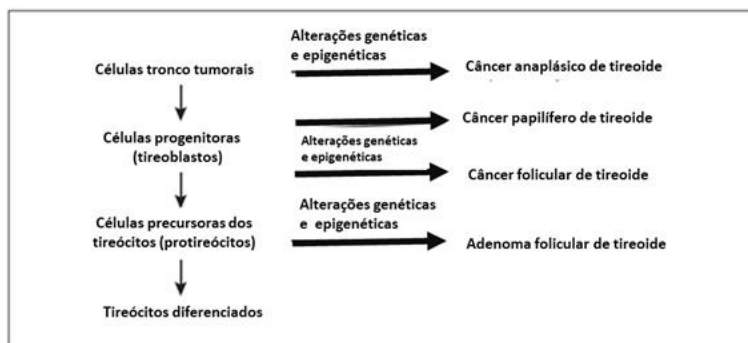


Figura 5: Modelo de formação dos carcinomas de tireoide a partir de células-tronco. (Fonte: Chmielik *et al.*, 2018, modificado)

1.2.2 Alterações genéticas no PTC esporádico

Eventos moleculares envolvidos no processo de carcinogênese do câncer papilífero de tireoide esporádico têm sido recentemente esclarecidos. Até o momento, sabe-se que a mutação p.V600E no gene *BRAF* e o rearranjo do gene *RET* configuram como as alterações genéticas mais frequentemente associadas ao desenvolvimento do tumor (Chmielik *et al.*, 2018; D'Cruz *et al.*, 2018). Outras variantes moleculares como

mutações em *TERT* e os rearranjos *NTRK1* são encontradas nos PTC, mas em frequência muito menor (Wajchenberg *et al.*, 2014).

A variante p.V600E no gene *BRAF* gera a ativação constitutiva da proteína *BRAF* e, consequentemente, da via MAPK, o que desencadeia a proliferação celular (Figura 6) (Wajchenberg *et al.*, 2014; Chmielik *et al.*, 2018). É encontrada em 29% a 83% dos casos de PTC, e tem prevalência maior nas formas mais agressivas, intermediária na forma clássica e menor na forma variante folicular (Wajchenberg *et al.*, 2014). Nos estágios mais avançados do câncer papilífero de tireoide pode ocorrer concomitância dessa variante com outras alterações genéticas (Zhou *et al.*, 2014).

A mutação no gene *BRAF* é associada as maiores taxas de recorrência da doença e mortalidade, principalmente nos pacientes com idade superior a 45 anos (Livhits, Yeah, 2018). Registros da mutação p.V600E no gene *BRAF* são raros e inexistentes em câncer de tireoide folicular e em nódulos tireoidianos benignos, respectivamente (Wajchenberg *et al.*, 2014). Essa variante configura-se, desse modo, como um marcador razoavelmente específico para PTC. Com isso, para tratamento de pacientes com CPT já estão disponíveis terapias alvo da via molecular do gene *BRAF*, o que será detalhado no Item 1.2.4 da presente tese (Chmielik *et al.*, 2018).

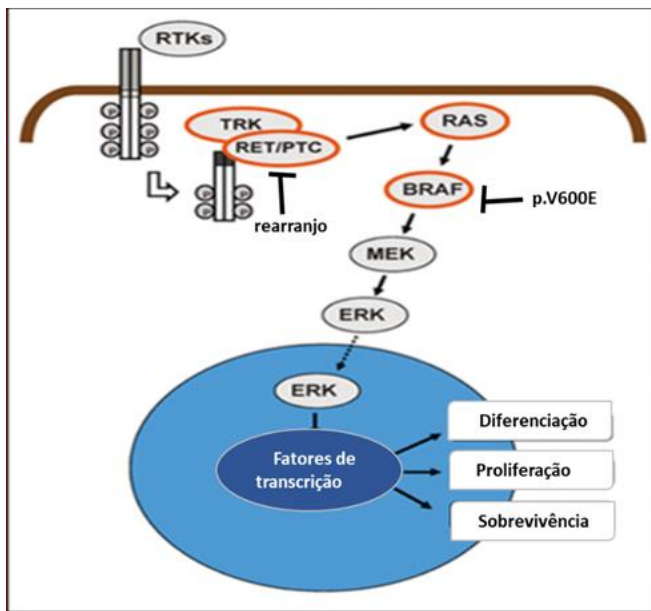


Figura 6: Eventos moleculares no câncer de tireoide associados a alterações no gene *BRAF* e rearranjo no gene *RET*.

A frequência de ocorrência dos rearranjos *RET/PTC* em tumores de tireoide varia de acordo com a idade, diferentes áreas geográficas, exposição à radiação, e desencadeia a ativação do proto-oncogene *RET* (Wajchenberg *et al.*, 2014). Enquanto 33% dos pacientes italianos com câncer papilífero de tireoide apresentam o rearranjo *RET/PTC*, este é observado apenas em 3% a 9% dos japoneses com PTC. Por outro lado, tem-se relatado a presença de *RET/PTC* em cerca de 60% das amostras de câncer papilífero de tireoide provenientes de crianças expostas à radiação em Chernobyl ou à radiação externa para o tratamento de doenças benignas da cabeça e pescoço. Ademais, a porcentagem de casos positivos para rearranjos de *RET/PTC* é muito maior nos indivíduos jovens (Wajchenberg *et al.*, 2014).

Em geral, o proto-oncogene *RET* não é expresso em células foliculares de tireoide, mas pode ser ativado pelo rearranjo com genes justapostos após quebras no DNA geradas, por exemplo, por incidência de radiação na tireoide (Wajchenberg *et al.*, 2014). *RET* codifica uma tirosina quinase receptora da membrana celular que sofre sublocalização para o citoplasma em função do rearranjo e estimula, então, cascatas de fosforilação,

incluindo aquelas envolvendo Raf/Ras/MEK/MAPK e PI3K/Akt, culminando na proliferação, sobrevivência celular, e angiogênese (Figura 6) (Wajchenberg *et al.*, 2014). Neoplasias da tireoide resultantes de exposição à radiação ionizante têm predomínio do rearranjo entre os genes *RET* e *RFG*, o que acarreta no desenvolvimento mais precoce e com maior agressividade do tumor (Brasileiro, 2016).

De acordo com o estudo de Geraldo *et al.* (2012), a mutação p.V600E no gene *BRAF* e os rearranjos RET/PTC, através da ativação da via MAPK, elevam a expressão de microRNAs (miR)-146b, os quais aumentam a migração, a invasão celular, e a resistência a quimioterápicos (Chou *et al.*, 2013). Outros microRNAs relacionados a carcinogênese de células foliculares da tireoide são os miR-221, -222 e -181b (Pallante *et al.*, 2006).

As mutações p.C228T e p.C250T na região promotora do gene Transcriptase Reversa da Telomerase Humana (*TERT*) encontradas em 11,3% das amostras de PTC resultam na proteção contra a senescência (Bae *et al.*, 2016). A prevalência dessas mutações em *TERT* são, em média, de 17,1%, 43,2% e 40,1% no carcinoma folicular, carcinoma pouco diferenciado e carcinoma anaplásico de tireoide, respectivamente. Essas variantes, entretanto, não são encontradas em tumores benignos da glândula (Gandolfi *et al.*, 2015; Liu, Xing, 2016).

Liu, Xing (2016) identificaram mutações em *BRAF* em coexistência com mutações em *TERT* em 3,2% das 342 amostras de PTC avaliadas. Essa associação foi identificada em pacientes mais velhos, e em tumores de maiores dimensões e de estágios mais avançados. Ren *et al.* (2018) não encontraram significância estatística entre a presença de mutações nesses dois genes e a ocorrência de metástases linfonodais em PTC. Xing *et al.* (2014), por sua vez, observaram ainda que a coexistência de *TERT* p.C228T e *BRAF* p.V600E está relacionada com maior recorrência de câncer papilífero de tireoide.

Dentre os subtipos de carcinoma papilífero de tireoide, as mutações em *RAS* são geralmente restritas a variante folicular, ocorrendo em 30-45% dos pacientes com esse tumor. Nos adenomas foliculares benignos são observadas em 20-25% dos casos, e nos carcinomas anaplásicos ocorrem em 10-25%. O gene *RAS* codifica proteínas de membrana envolvidas na transdução de sinais nas vias MAPK e PI3K-AKT e, assim, participam da diferenciação, proliferação e sobrevivência celular (Howel *et al.*, 2013). Mesmo que a histologia indique maior agressividade, tumores com mutações no gene *RAS* possuem gravidade limitada, porque não se associam a maior extensão extratireoidiana, e a metástases linfáticas regionais ou distantes (Insilla *et al.*, 2017). Assim, a presença de mutações somente em *RAS* são encontradas em tumores altamente curáveis e com bom prognóstico (Howel *et al.*, 2013).

Outras alterações moleculares observadas nos carcinomas papilíferos esporádico são: a) rearranjos no gene *NTRK*, em 2% a 26% das amostras de PTC, que estimulam as cascatas de sinalização MAPK e Akt e estão associadas a maior dimensão dos tumores, estágio mais avançado, e invasão linfovascular (Amatu *et al.*, 2016; Sciavolino, 2016); b) o rearranjo dos genes *PAX8/PPAR γ* , em 38% dos casos de variante folicular de câncer papilífero de tireoide, e que gera a formação de uma oncoproteína denominada PPFP proteína de fusão PAX8-PPAR γ (D'Cruz *et al.*, 2018; Raman, Koenig, 2014); e c) mutação no gene *EIF1AX*, em até 5% dos casos de PTC, associada a progressão tumoral (Acquaviva *et al.*, 2018).

Até o momento, a elucidação molecular é recomendada para complementar análises ultrassonográficas e citopatológicas na investigação do câncer de tireoide. Essa ferramenta contribui para diagnóstico de tumores em nódulos considerados indeterminados na citopatologia, os quais correspondem a até 15 a 20% do total analisado (D'Cruz *et al.*, 2018). Nesse sentido, já estão disponíveis plataformas de avaliação de

expressões gênicas e/ou mutações dos marcadores moleculares do câncer de tireoide (Tabela 1) (D'Cruz *et al.*, 2018). Ressalta-se que estas ferramentas ainda têm limitações e são de altíssimo custo para o paciente e para o sistema público de saúde (Perez, 2018).

Tabela 1: Descrição das plataformas disponíveis no mercado para análise de expressões gênicas e/ou mutações nos marcadores moleculares do câncer de tireoide.

	miRInform test ¹	Thyroseq ²
Método empregado	PCR multiplex para detecção de: -mutações nos genes <i>BRAF</i> , <i>RAS</i> , <i>HRAS</i> , e <i>NRAS</i> -translocações RET/PTC1, RET/PTC3, e PAX8/PPAR γ)	Sequenciamento de nova geração (NGS) para detectar: - mutações pontuais nos genes <i>AKT1</i> , <i>BRAF</i> , <i>NRAS</i> , <i>HRAS</i> , <i>KRAS</i> , <i>PTEN</i> , <i>TP53</i> , <i>TSHR</i> , <i>GNAS</i> , <i>CTNNB1</i> , <i>RET</i> , <i>PIK3CA</i> , <i>TERT</i> ; - translocações nos genes <i>RET</i>
Resultado fornecido	Mutações gênicas específicas ou translocações	Mutações gênicas específicas ou translocações
Indicação	Tumores malignos	Tumores malignos (exemplo PTC)
Observações	Sensibilidade de 79% para PTC	Altos valores preditivos negativos e positivos

Fonte: ¹Zhang *et al.* (2012); ²Nikiforova *et al.* (2013).

1.2.3 Alterações genéticas no PTC familiar não sindrômico

Tumores de pacientes com câncer papilífero familiar de tireoide têm sido avaliados para se elucidar as alterações genéticas germinativas e as mudanças na expressão de miRNA associadas à patogênese dessa neoplasia. Até o momento, foram identificadas mutações germinativas em seis genes candidatos, prioritariamente a partir do sequenciamento completo do exoma e/ou do sequenciamento tipo Sanger de genes relacionados a carcinogênese. Desse modo, o desenvolvimento de FNMTc já foi relacionado a mutações em: *SRGAP1* (MIM *606523) (He *et al.*, 2013), *TITF-1/NKX2.1* (MIM *600635) (Ngan *et al.*, 2009), *FOXE1* (MIM *602617) (Pereira *et al.*, 2015), *HABP2* (MIM *603924) (Gara *et al.*, 2015; Tomsic, Chapelle, 2015; Tomsic *et al.*, 2016), *SRRM2* (MIM *606032) (Tomsic *et al.*, 2015) e *MAP2K5* (MIM*602520) (Ye *et al.*, 2019). Entretanto, o papel da mutação p.G534E no gene *HABP2* na patogênese de câncer papilífero familiar de tireoide tem sido questionado, tendo em vista a ausência dessa mutação em várias famílias com PTC hereditário (Zhao *et al.*, 2015; Alzahrani *et al.*, 2016), a ocorrência de segregação incompleta da variante em famílias esse fenótipo (Ruiz-Ferrer *et al.*, 2016; Weeks *et al.*, 2016; Pinheiro *et al.*, 2017), ou devido a elevada

incidência da mutação (até 8,7%) em indivíduos hígidos (Carvajal-Carmona *et al.*, 2016; Tomsic *et al.*, 2016). Por sua vez, a associação de agressividade clinicopatológica dos casos de PTC familiar com mutações somáticas nos genes *TERT* (MIM *187270) e *BRAF* (MIM *164757) foi reconhecida por Marques *et al.* (2017). A Tabela 2 apresenta um sumário dos genes e suas variantes germinativas, já descritos, envolvidos na carcinogênese do câncer papilífero familiar de tireoide, a frequência encontrada das mesmas e as principais funções das proteínas sintetizadas pelos genes.

Os locus cromossômicos 1q21, 6q22 (Suh *et al.*, 2009), 8p23.1-p22 (Cavaco *et al.*, 2008), MNG1 (McKay *et al.*, 1999), TCO (McKay *et al.*, 1999) e 8q24 (He *et al.*, 2009) são também relacionados à suscetibilidade para o PTC familiar, embora ainda permanecem desconhecidos os genes candidatos dessas regiões cromossômicas (Yang, Ngeow, 2016). Por sua vez, estudos *in vitro* indicam a participação de miRNAs na evolução de PTC familiar, sendo eles o miR-886-3p e o miR-20a. Esses micro-RNAs encontram-se menos expressos nos tumores, o que contribui para o aumento da proliferação e migração celular (Xiong *et al.*, 2011).

Tabela 2: Variantes germinativas envolvidas na carcinogênese do câncer papilífero familiar de tireoide.

Gene	Função da proteína sintetizada pelo gene	Mutações germinativas identificadas em FNMTC	Frequência encontrada	Referências	Impacto da mudança da sequência de aminoácidos (ferramenta utilizada para análise do impacto)	
			Famílias com FNMTC estudadas (nº total de famílias estudadas)	Controles		
SRGAP1	Inibe a ativação de Cdc42, a qual participa da progressão da fase G1 do ciclo celular, da migração celular e da angiogênese. ¹	p.R617C (c.1849C>T, rs114817817)	2,94% (n=24)	0%	He <i>et al.</i> (2013)	-Deletério (Polyphen e Provean)
TITF-1/NKX2.1	É um fator de transcrição que controla a expressão da tireoglobulina (Tg), tireoperoxidase (TPO), e o receptor de TSH (TSHR). É fundamental na regulação do desenvolvimento e na manutenção do estado diferenciado das células da tireoide. ²	p.A339V (c.1016C>T)	100% (n=2)	0%	Ngan <i>et al.</i> (2009)	-Possivelmente deletério (Polyphen) -Benigno (Provean)
FOXE1	É um repressor da transcrição de Tg e TPO, através da inibição da atividade transcrional do NKX2-1. ³ Regula, por diferentes vias de sinalização (ex. TGFβ), a expressão da proteína WNT5, importante reguladora da proliferação, diferenciação e mobilidade celular. ⁴	p.A248G (c.743C<G, rs538912281)	1,67 (n=60)	0%	Pereira <i>et al.</i> (2015)	-Benigno (Polyphen e Provean)
HABP2	Participa da repressão da migração e da proliferação celular. ⁵	G534E (c.1601G>A, rs7080536)	0% a 100% (n=1 a n=28)	8,7%	Gara <i>et al.</i> (2015); Tomsic, Chapelle (2015); Tomsic <i>et al.</i> (2016); Zhao <i>et al.</i> (2015); Zhang, Xing (2016); Weeks <i>et al.</i> , (2016)	-Deletério (Polyphen e Provean)
SRRM2	Participa da formação de spliceossomos que realizam splicing-alternativo ⁶	p.S346F (c.1037C>T, rs149019598)	100% (n=1)	0%	Tomsic <i>et al.</i> , 2015	-Possivelmente deletério (Polyphen) -Deletério (Provean)
MAP2K5	Regula processos celulares incluindo proliferação, sobrevivência celular, diferenciação e apoptose, via, por exemplo, regulação do oncogene c-Jun, e estímulo de proteínas de controle do ciclo celular. ⁸	p.A321T (c.G961A) e p.M367T (c.T1100C)	2,94% ⁷ (n=34)	0%	Ye <i>et al.</i> , 2019	-Possivelmente deletério (Polyphen) -Benigno (Provean)

¹Yadav, Narayan (2014); ² Batista (2015); ³Zannini *et al.* (1997); ⁴Katoh, Katoh (2009); ⁵Gara *et al.* (2015); ⁶Tomsic *et al.* (2015); ⁷Frequência encontrada para cada uma das mutações; ⁸Hoang *et al.* (2017)

1.2.4 Diagnóstico e tratamento do câncer papilífero de tireoide

Conforme descrito no Item 1.2, a manifestação clínica mais comum do câncer de tireoide é a presença de um nódulo na glândula (Brasileiro, 2016). De acordo com Wajchenberg *et al.* (2014), os principais achados sugestivos de malignidade dos nódulos são:

- nódulos fixados às estruturas subjacentes (traqueia e músculos);
- nódulos sem mobilidade à deglutição;
- presença de linfonodomegalia cervical;
- história de irradiação (a qual aumenta em 4 vezes a probabilidade de câncer);
- história familiar positiva para câncer de tireoide;
- nódulo com crescimento rápido, em semanas ou meses, dispneia, disfagia, tosse crônica ou alteração da voz;
- nódulos em indivíduos jovens (< 20 anos) e em idosos.

Ultrassom (US) da tireoide deve ser realizada em todos os pacientes com nódulo na glândula, para se compreender a quantidade, dimensão, localização, vascularização e ecogenicidade dos nódulos (Cibas, Ali, 2017). No US, observa-se que os nódulos malignos: a) possuem todo o contorno ou parte dele sem boa diferenciação com o parênquima tiroidiano adjacente; b) se apresentam como lesões sólidas (em 68% dos casos aproximadamente); c) são hipoeugenicos; d) podem apresentar microcalcificações (corpos psamomatosos do carcinoma papilífero). Ao Doppler, o padrão de fluxo intranodular está mais associado a carcinomas malignos, enquanto o fluxo periférico está associado a lesões benignas (Wajchenberg *et al.*, 2014). Alterações moleculares em genes específicos (como *BRAF* e *RAS*) ou rearranjos gênicos (como *RET/PTC* e *PAX8-PPAR*-gama) podem também ser úteis na definição de malignidade (Cibas, Ali, 2017). Porém, não há marcadores moleculares identificados para todos os tipos de câncer de tireoide. Exames laboratoriais como as dosagens séricas de TSH e de T4 livre, por

sua vez, não acrescentam muito ao diagnóstico do nódulo da tireoide, pois geralmente estão normais. Exceção é observada quando o paciente apresenta hiper ou hipotireoidismo associados (Wajchenberg *et al.*, 2014).

Para o diagnóstico definitivo, é necessária a realização de citologia aspirativa com agulha fina (CAAF) do nódulo, por meio de punção do nódulo guiada pela US (Cibas, Ali, 2017). A CAAF permite o diagnóstico de carcinomas papilífero, medular e anaplásico, e é um método seguro, eficiente e relativamente atraumático (Wajchenberg *et al.*, 2014). A classificação da CAAF é realizada com base no sistema Bethesda (Cibas, Ali, 2017), apresentado na Tabela 3.

Tabela 3: Classificação de Bethesda (ano 2017) para exames citológicos de tireoide.

Classe de Bethesda	Significado	Risco de malignidade
I	Insatisfatório	1-4%
II	Benigno	0-3%
III	Atipia ou lesão folicular de significado indeterminado	5-15%
IV	Suspeito para neoplasia folicular	15-30%
V	Suspeito de malignidade	60-75%
VI	Maligno <i>Carcinoma Papilífero da Tireoide</i> <i>Carcinoma pouco diferenciado</i> <i>Carcinoma Medular da Tireoide</i> <i>Carcinoma indiferenciado (anaplásico)</i> <i>Carcinoma de células escamosas</i> <i>Carcinoma com características mistas (especificar)</i> <i>Carcinoma metastático</i> <i>Linfoma não-Hodgkin</i> <i>Outros</i>	97-99%

Fonte: Cibas, Ali (2017)

Nódulos classificados como V ou VI de Bethesda devem receber sempre tratamento cirúrgico, o qual corresponde a tireoidectomia total (casos mais agressivos) ou subtotal (casos mais brandos) com ou sem a dissecção linfonodal terapêutica. Por sua vez, nódulos das classes I, III ou IV podem ser acompanhados, e recomenda-se a repetição da CAAF dentro de 3 a 6

meses. Pode-se manter essa rotina caso os nódulos das classes I, III ou IV tenham menos de 2 cm e não apresentem aspectos sugestivos de malignidade. Porém, indica-se a cirurgia caso haja suspeita clínica ou ultrassonográfica de malignidade ou, ainda, quando o nódulo for >2 cm (Cibas, Ali, 2017). As cirurgias para tratamento de carcinoma diferenciado de tireoide podem ser seguidas da ablação do tecido remanescente ou tratamento de metástases com iodo radioativo (^{131}I), além da terapêutica substitutiva com levotiroxina (Wajchenberg *et al.*, 2014).

O avanço no conhecimento dos mecanismos moleculares envolvidos na patogênese do câncer de tireoide tem possibilitado o desenvolvimento de novas terapêuticas dirigidas aos pacientes com carcinoma avançado ou metastático e refratário à terapêutica convencional. No momento, os quimioterápicos aprovados para PTC refratário a tratamento convencional são o Sorafenib e o Lenvatinib. Esses fármacos agem como inibidores das proteínas BRAF e/ou RET da via MAPK, contribuindo para a redução da proliferação celular (Valerio *et al.*, 2017).

Os critérios analisados para definição do estadiamento pós-operatório e na estimativa do prognóstico do paciente são: tamanho do tumor, invasão extratireoidiana, e metástases linfonodais a distância, conforme classificação do sistema TNM/AJCC (Tabela 4); e a idade do paciente. A descrição do estadiamento é apresentada na Tabela 5.

Tabela 4: Parâmetros utilizados na classificação TNM/AJCC de câncer papilífero, folicular, pouco diferenciados e anaplásicos de tireoide.

T - Tumor primário		N - Linfonodos regionais	
TX	O tumor primário não pode ser avaliado.	NX	Os linfonodos regionais não podem ser avaliados.
T0	Não ha evidencia de tumor primário.	N0	Ausência de metástase em linfonodos regionais.
T1	Tumor com 2 cm ou menos em sua maior dimensão, limitado a tireoide.	N0a	Exames citológicos confirmam que os linfonodos não apresentam metástases
T1a	Tumor com ≤1 cm em sua maior dimensão, limitado a tireoide.	N0b	Exames radiológicos ou clínicos sem evidência de metástase em linfonodos regionais.
T1b	Tumor com >1 e ≤2 cm em sua maior dimensão, limitado a tireoide.	N1	Metástase em linfonodos regionais.
T2	Tumor com mais de 2 cm até 4 cm em sua maior dimensão, limitado a tiroide.	N1a	Metástase (unilaterais ou bilaterais) no nível VI ou VII (linfonodos pre-traqueal e paratraqueal, incluindo pre-laringeo e o de Delphian).
T3	Tumor com > 4 cm em sua maior dimensão, limitado a tiroide, com extensão extra tireoidiana mínima (atingindo até músculos cervicais).	N1b	Metástase em outro linfonodo cervical unilateral, bilateral ou contralateral, ou em linfonodo retro faríngeo.
T3a	Tumor com > 4 cm em sua maior dimensão, limitado a tiroide.	M - Metástase a distância	
T3b	Tumor de qualquer tamanho, com extensão extra tireoidiana mínima (atingindo até músculos cervicais).	MX	A presença de metástase a distância não pode ser avaliada
T4	Tumor com extensão extra tireoidiana maior.	M0	Ausência de metástase a distância.
T4a	Tumor que se estende além da capsula da tiroide e invade qualquer uma das seguintes estruturas: tecido subcutâneo mole, laringe, traqueia, esôfago e nervo laríngeo recorrente.	M1	Metástase a distância.
T4b	Tumor que invade fascia pre-vertebral, vasos mediastinais ou arteria carotida adjacente.	-----	-----
Nota: Todas as categorias podem ser subdivididas em tumor solitário (s) ou multifocal (m)		-----	

Fonte: Tuttle *et al.* (2017).

Tabela 5: Descrição dos estádios dos carcinomas de tireoide.

	Estádio	T	N	M
Tumor papilífero ou folicular em pacientes com idade < 55 anos	Estádio I	Qualquer T	Qualquer N	M0
	Estádio II	Qualquer T	Qualquer N	M1
Tumor papilífero ou folicular em pacientes com idade ≥55 anos, ou tumor medular	Estádio I	T1	N0	M0
	Estádio II	T2	N0	M0
	Estádio III	T3	N0	M0
		T1, T2, T3	N1a	M0
	Estádio IVA	T1, T2, T3	N1b	M0
		T4a	N0, N1	M0
	Estádio IVB	T4b	Qualquer N	M0
	Estádio IVC	Qualquer T	Qualquer N	M1

Fonte: Tuttle *et al.* (2017).

Recorrências de tumores de tireoide ocorrem comumente nos primeiros 10 anos após o diagnóstico, apesar de existirem casos de recorrência até 20 anos após o diagnóstico. Por isso, há recomendação de seguimento anual do paciente durante toda a sua vida. O monitoramento do paciente inclui dosagens de tireoglobulina sérica e US cervical. Valores detectáveis de tireoglobulina sérica após tireoectomia total indicam recorrência do tumor ou presença de metástases (Wajchenberg *et al.*, 2014).

1.3 Análise de exoma como ferramenta na elucidação da carcinogênese

Estima-se que 85% das mutações com predisposição para doenças ocorram nos exons, regiões dos genes que correspondem a aproximadamente 2% do genoma humano e são codificadoras de proteínas (Choi *et al.*, 2009). Assim, é um consenso atual que mutações em exons de oncogenes, de genes supressores de tumor, de genes anti-apoptóticos, e de genes de reparo de lesões no DNA configuram como alterações associadas à carcinogênese (Brasileiro, 2016; Foaud, Aanei, 2017).

A principal técnica para determinação de sequências nucleotíidas (e consequentemente de mutações gênicas) até o início dos anos 2000 correspondia ao sequenciamento tradicional do tipo Sanger. Esta possibilitou que fossem sequenciados os três bilhões de nucleotídeos do genoma humano pela primeira vez, sendo que o custo por base sequenciada foi de um dólar (\$1,00) e o período para conclusão do sequenciamento foi de cerca de dez anos (Human *et al.*, 2001). Na última década foram elaboradas técnicas que permitiram o sequenciamento de diversos genomas humanos em menores períodos de tempo e com menor custo. Insere-se nesse contexto o Sequenciamento Completo do Exoma (WES). O primeiro estudo a utilizar essa técnica visando a identificação de genes associados ao desenvolvimento de doenças foi publicado por Ng *et al.* (2008). Desde então, centenas de outros trabalhos sobre essa temática já foram publicados. No ano de 2018, o preço do sequenciamento completo do exoma de um indivíduo encontrava-se na faixa de U\$ 555 a U\$ 5,169 dólares (Schwarze *et al.*, 2018).

A técnica utilizada para se obter o sequenciamento total do exoma consiste em várias etapas em série, sendo elas: a fragmentação do DNA genômico, hibridização dos fragmentos de interesse através de sondas específicas, captura das sondas hibridizadas com as regiões de interesse, amplificação dos fragmentos de DNA, o sequenciamento por síntese (*sequencing by synthesis*) de cada fragmento por meio de plataforma (Figura 7). O método de WES tem o potencial para contribuir para a compreensão desde doenças que estão supostamente associadas a herança monogênica, até aquelas relacionadas a grande heterogeneidade genética (Bamshad *et al.*, 2011).

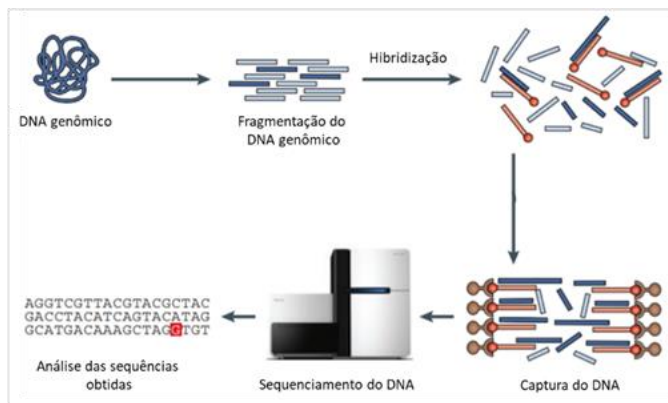


Figura 7: Etapas sequenciais da técnica de WES. (Fonte: Bamshad *et al.*, 2011, modificado)

A técnica de sequenciamento completo do exoma trouxe contribuições também para o conhecimento de mutações envolvidas no desenvolvimento de câncer papilífero familiar de tireoide (Gara *et al.*, 2015; Tomsic *et al.*, 2015; Weeks *et al.*, 2016; Ye *et al.*, 2019). Sabe-se atualmente que o PTC familiar é uma doença geneticamente heterogênea, e que a patogênese desse câncer não está associada às variantes observadas no carcinoma papilífero de tireoide esporádico. Destaca-se que ainda permanecem desconhecidas as alterações moleculares associadas à carcinogênese da tireoide na maioria das famílias acometidas pelo PTC. Portanto, faz-se necessário a realização de mais estudos que possibilitem a compreensão das bases moleculares envolvidas nesse tumor. À luz dessas evidências, o presente estudo buscou avaliar, através do sequenciamento completo do exoma, mutações germinativas em três famílias brasileiras cujo fenótipo de PTC estava presente em pelo menos três parentes de primeiro grau.

2 OBJETIVOS

Identificar alterações genéticas germinativas que possam estar associadas ao desenvolvimento de carcinoma papilífero familiar, a partir do sequenciamento total dos exomas de integrantes de três famílias de pacientes brasileiros diagnosticados com esse tumor. Para tanto, foram considerados os seguintes objetivos específicos:

- Realizar o sequenciamento do exoma de pelo menos um dos integrantes de cada uma das três famílias de pacientes diagnosticados com PTC familiar;
- Analisar nos programas *Variant Analysis* (Ingenuity[®]) e Mendel (MD) os dados obtidos nos sequenciamentos dos exomas para identificar as alterações genéticas candidatas, particulares de cada família ou presentes em todas elas;
- Analisar a patogenicidade e a prevalência das alterações genéticas candidatas em vários programas e bancos de dados atualizados;
- Avaliar as funções das proteínas sintetizadas pelos genes identificados com as variantes candidatas;
- Realizar o sequenciamento de Sanger para validar as variantes candidatas identificadas em comum pelos dois programas;
- Avaliar, nos outros membros das famílias, a presença das alterações genéticas validadas para investigar a segregação das variantes;

3 MATERIAL E MÉTODO

3.1 Identificação dos pacientes e dos controles

Para o estudo foram selecionados nove indivíduos brasileiros com câncer papilífero de tireoide, pertencentes a três famílias (Família A, Família B e Família C) compostas por dois ou mais parentes de primeiro grau afetados por câncer papilífero de tiroide (Figura 8). As informações clínicas e o histórico familiar dos pacientes foram obtidos com a colaboração da Dra. Maria Marta Sarquis Soares do Departamento de Clínica Médica da Universidade Federal de Minas Gerais, do Dr. Adalto Versiani Soares endocrinologista do Hospital Felício Rocho e da Dra Paula Raton.

Para o grupo controle do estudo foram selecionados aleatoriamente noventa e oito indivíduos idosos sem histórico de neoplasia, residentes em Belo Horizonte. Este projeto foi aprovado pelo Comitê de Ética em Pesquisa da Universidade Federal de Minas Gerais, Belo Horizonte, MG. Todos os participantes da pesquisa assinaram o termo de consentimento informado previamente ao início dos estudos.

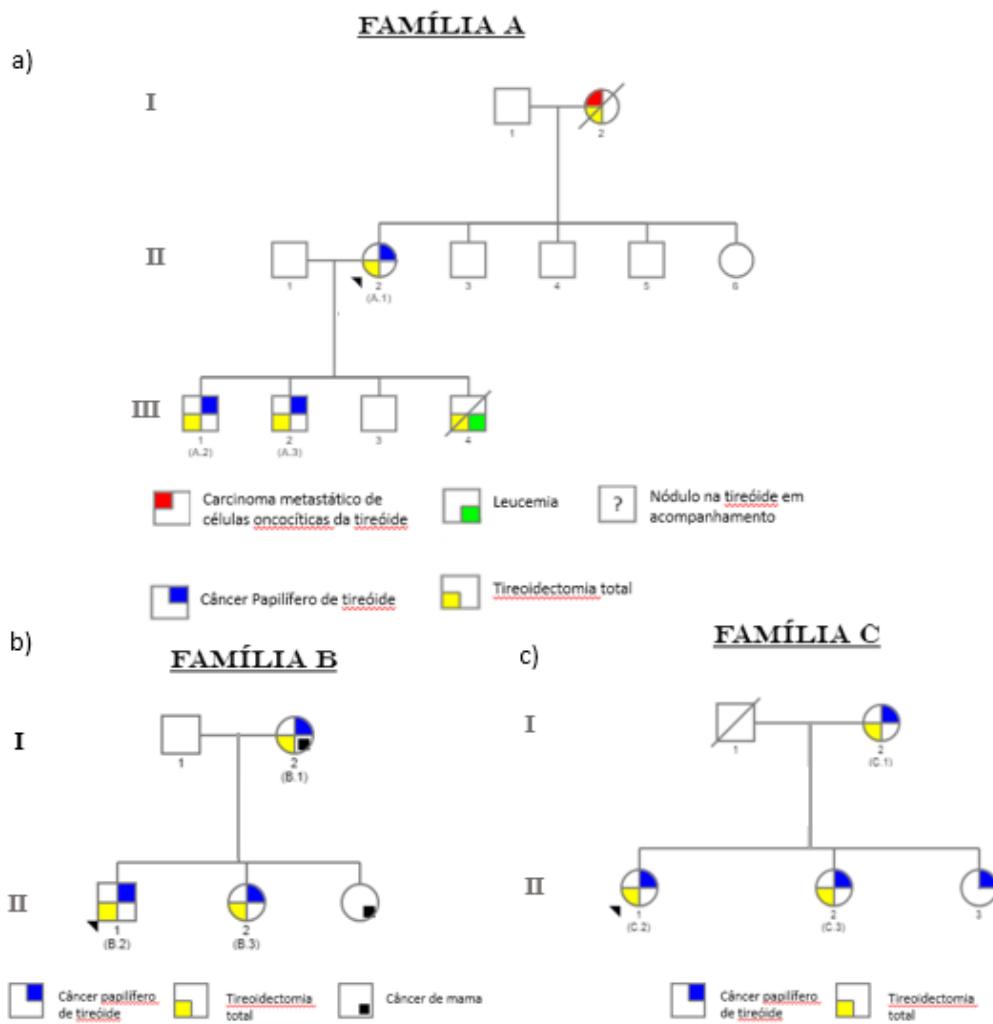


Figura 8: Heredogramas das famílias com PTC estudadas no presente trabalho: a) Família A, b) Família B e c) Família C .

3.2 Extração de DNA de leucócitos de sangue periférico

O DNA genômico presente nos leucócitos do sangue periférico dos nove pacientes e dos controles foi extraído, no primeiro semestre do ano de 2018, utilizando-se o método de Lahiri, Nurnberger (1991), com algumas modificações. As amostras de sangue foram transferidas para tubos de 50 mL, ao qual a solução TKM1 (Tris-HCl 10 mM; KCl 10 mM; MgCl₂ 10 mM; EDTA 4 mM) foi adicionada. Em seguida, 500 µL de Triton X-100 foram acrescentados à solução, com a finalidade de promover a hemólise. Após agitação vigorosa da mistura contida no tubo de 50 mL, esta foi centrifugada a 1.255 g por 15 minutos, a 4°C. Após centrifugação, o sobrenadante, repleto de restos de hemácias, foi removido; e o precipitado, contendo leucócitos, foi lavado com a solução TKM1. Neste passo, foi realizada uma centrifugação a 475g por 10 minutos, a 4°C. Novamente, o sobrenadante foi descartado e o precipitado, contendo leucócitos, mantido no tubo. Nesta etapa, 1.600 µL de TKM2 (Tris-HCl 10 mM; KCl 10 mM; MgCl₂ 10 mM; EDTA 33 mM; NaCl 400 mM) foram adicionados ao precipitado, juntamente com 100 µL SDS 10% – tendo sido este utilizado para promover a lise de leucócitos. Em seguida, o tubo foi mantido a 55°C, em banho-maria, por 20 minutos. Após o período de incubação, 900 µL de NaCl (6 M) foram adicionados, com a função de promover a precipitação de proteínas. Foi realizada uma última centrifugação de 15 minutos, a 21.800g, a 4°C. Desta vez, o sobrenadante, contendo DNA, foi transferido para um novo tubo, com 5 mL de álcool a 100%. Neste momento, houve a visualização do DNA, e este foi lavado em álcool 70%, secado e transferido para tubo contendo o tampão de eluição TE (Tris-HCl 10 mM; EDTA 1 mM, pH 7.0-8.0). As amostras permaneceram armazenadas a -20°C durante todo o período da pesquisa.

3.3 Extração de DNA de tecido tumoral incluído em parafina

Para o estudo foi possível obter amostras tumorais apenas de um indivíduo afetado (membro da Família C). As amostras do tumor estavam incluídas em blocos de parafinas.

Assim, para a extração de DNA foi utilizando o kit comercial QIAamp DNA FFPE Tissue (QIAGEN Biotecnologia Brasil Ltda, São Paulo, SP, Brasil) de acordo com as normas do fabricante. Foram realizados quatro cortes histológicos de 10µm, aos quais foram misturados a 180 µL de tampão ATL e 20 µL de solução de proteinase K, seguido de incubação overnight a 56°C, sob leve agitação. Posteriormente, adicionaram-se a amostra 400 µL de tampão AL e etanol (1:1 v/v) e homogeneizou-se vigorosamente. O lisado foi cuidadosamente transferido para uma coluna acoplada a tubo de dois mililitros. Realizou-se uma centrifugação (8000 rpm, 1 min.) e o filtrado foi descartado. A coluna foi lavada em duas etapas, utilizando-se 500 µL dos tampões AW1 e AW2, separadamente. Em cada etapa realizou-se uma centrifugação (8000 rpm, 1 min.) sendo o filtrado foi descartado. Ao final da 2ª lavagem uma nova centrifugação foi realizada (14000 rpm, 3 min.). A eluição do DNA ligado à coluna foi realizada se adicionado 50 µL de tampão ATE e incubando à temperatura ambiente por 10 min, seguida de centrifugação (14.000 rpm, 1 min.); esta etapa foi repetida 2 vezes, os eluídos foram misturados e armazenados a -20°C para análise posterior. As amostras fixadas em formol também foram submetidas a estas mesmas etapas de procedimento.

A quantidade e a qualidade do DNA extraído foram verificadas por meio de leituras em espectrofotômetro NanoDrop ND-2000 (Thermofisher Waltham, MA, USA).

3.4 Sequenciamento do exoma

Amostras de DNA de quatro indivíduos (II.1 – da Família A, II.1– da Família B, I.2 e II.1 – da Família C) integrantes de três famílias com PTC familiar (Figura 8) foram preparadas e submetidas a sequenciamento completo do exoma. O processo empregado consistiu nas seguintes etapas (Bamshad *et al.*, 2011):

1º) fragmentação do DNA genômico (fragmentos de 100pb a 200pb) e ligação de adaptadores nas extremidades dos fragmentos;

2º) desnaturação e amplificação dos fragmentos de DNA, formando várias cópias de fita simples de cada fragmento;

3º) hibridização dos fragmentos de interesse através de sondas específicas;

4º) captura das sondas hibridizadas com as regiões de interesse;

5º) amplificação dos fragmentos de DNA de interesse, formando várias cópias de fita simples de cada fragmento;

6º) sequenciamento por síntese (*sequencing by synthesis*) de cada fragmento no por meio da plataforma Illumina® HiSeq2000 (Hayward, CA).

3.5 Análise do sequenciamento completo do exoma através de bioinformática

3.5.1 Alinhamento e detecção de variantes candidatas

Os arquivos VCF das sequências de exomas geradas no aparelho HiSeq2000 (*Illumina®*) para os indivíduos II.2 da Família A, II.1 da Família B, e I.2 e II.1 da Família C foram analisados a partir dos programas *Ingenuity Variant Analysis™* (www.ingenuity.com/variants) e Mendel, MD (<http://mendel.medicina.ufmg.br> (Cardenas *et al.*, 2017)). Nesses programas foram realizados o alinhamento das sequências capturadas com o genoma humano de referência GRCh37. E para as análises foi empregado o método de filtragem de variantes em sequência.

Nas análises em ambos os programas foram excluídas as variantes identificadas com baixa profundidade de leitura (*read depth* ≤ 20), que estivessem em posições de baixa qualidade de sequenciamento (*call quality* ≤ 40), e que apresentassem frequência alélica superior a 1,0% nos seguintes bancos de dados: projeto de 1000 genomas (www.1000genomes.org), Complete Genomics (<http://www.completegenomics.com/public-data/>), e exomes do NHLBI ESP (<http://evs.gs.washington.edu/EVS/>).

3.5.1.1 Análises a partir do programa *Ingenuity Variant Analysis*™

Usando o programa *Ingenuity Variant Analysis*™ foram realizadas quatro análises separadamente (Tabela 7):

- Análise 1i: para avaliação do exoma do paciente II.2 da Família A,
- Análise 2i: para avaliação do exoma do paciente II.1 da Família B,
- Análise 3i: para avaliação conjunta dos exomas dos pacientes I.2 e II.1 da Família C,
- Análise 4i: para avaliação em conjunto dos exomas desses quatro pacientes.

Em todas as quatro análises foram empregados filtros para detecção de variantes que seguissem os seguintes critérios: estivessem associadas a ganho ou perda de função; fossem homozigotas ou heterozigotas; correspondessem a mutações do tipo sem sentido (nonsense), de sentido trocado (missense), de mudança da matriz de leitura (*frameshift*), ou indels; e fossem identificadas como possivelmente ou provavelmente patogênicas pelo programa *Polyphen-2* (Choi *et al.*, 2012), e como patogênicas pelos programas *SIFT*, *PROVEAN* e *CADD* (Dong *et al.*, 2015). Na última etapa, foi utilizado o filtro biológico do *Ingenuity*, para avaliação de possíveis mutações nos exomas que pudessem ter sido relacionadas previamente a câncer papilífero de tireoide.

A partir das Análises 1i e 2i foram selecionadas as variantes específicas para o paciente II.2 da Família A e as exclusivas do paciente II.1 da Família B, respectivamente. A partir da Análise 3i identificou-se as variantes comuns aos pacientes I.2 e II.1 da Família C. Por fim, as variantes comuns a todos os exomas foram obtidas na Análise 4i.

3.5.1.2 Análises a partir do programa *Mendel, MD*

Usando o programa *Mendel, MD* também foram realizadas quatro análises distintas (Tabela 6):

- Análise 1m: para avaliação do exoma do paciente II.2 da Família A,

- Análise 2m: para avaliação do exoma do paciente II.1 da Família B,
- Análise 3m: para avaliação conjunta dos exomas dos pacientes I.2 e II.1 da Família C,
- Análise 4m: para avaliação em conjunto de todos os exomas.

Os filtros utilizados no programa Mendel, MD permitiram a detecção de variantes que seguissem os seguintes critérios: estivessem presentes em exons; estivessem associadas a ganho ou perda de função; fossem homozigotas ou heterozigotas; correspondessem a mutações do tipo sem sentido, de sentido trocado, *frameshift*, ou indels; e fossem identificadas como possivelmente ou provavelmente patogênicas pelo programa *Polyphen-2* e como patogênicas pelos programas *SIFT*, e *CADD* (Dong *et al.*, 2015). As variantes específicas para o paciente II.2 da Família A e as exclusivas do paciente II.1 da Família B foram identificadas a partir das Análises 1m e 2m, respectivamente. A partir da Análise 3m identificou-se as variantes comuns aos pacientes I.2 e II.1 da Família C. Por fim, as variantes comuns a todos os exomas foram obtidas na Análise 4m.

Tabela 6: Sequência dos filtros empregados nos programas *Ingenuity Variant Analysis™* e Mendel, MD

Programa	<i>Ingenuity Variant Analysis™</i>		Mendel, MD	
	Análise Análises 1i e 2i	Análises 3i e 4i	Análises 1m e 2m	Análises 3m e 4m
1º Filtro	selecionar variantes com <i>read depth</i> ≥ 20 e <i>call quality</i> ≥ 40		selecionar variantes com <i>read depth</i> ≥ 20 e <i>call quality</i> ≥ 40	
2º Filtro	selecionar as variantes que são observadas com frequência alélica menor que 1% no <i>1000 Genome Project</i> , no <i>ExAC</i> , no <i>NHLBI ESP exomes</i> e no <i>Allele Frequency Community</i>		selecionar as variantes que são observadas com frequência alélica menor que 1% no 1000 Genome Project, e no dbSNP; e apresentem escore entre 0 a 0,05 no <i>SIFT</i> , 0,5 a 1,0 no <i>Polyphen</i>	
3º Filtro	selecionar as variantes que apresentem os fenótipos patogênico, possivelmente patogênico, e com fenótipo incerto; OU que estejam associadas a mutações com ganho de função estabelecida na literatura, pelo BSIFT, e pelo <i>Ingenuity</i> , sejam provenientes de rearranjo gênico, ou que estejam presentes em sítios de ligação de microRNA; OU que apresentem inserções ou deleções de sequências de DNA.		selecionar as variantes em <i>frameshift</i> , <i>indel</i> , sem sentido ou sentido trocado.	
4º Filtro	selecionar as variantes que estejam em homozigose ou heterozigose; e que estejam presentes somente no <u>exoma do paciente II.2 da Família A (Análise 1i)/somente no exoma do paciente II.1 da Família B (Análise 2i)</u>	selecionar as variantes que estejam em homozigose ou heterozigose; e que estejam presentes em comum nos <u>exomas dos pacientes I.2 e II.1 da Família C (Análise 3i)/em comum nos exomas dos pacientes II.2 da Família A, II.1 da Família B, e I.2 e II.1 da Família C (Análise 4m)</u>	selecionar as variantes que estejam em homozigose ou heterozigose; e que estejam presentes somente no <u>exoma do paciente II.2 da Família A (Análise 1m)/somente no exoma do paciente II.1 da Família B (Análise 2m)</u>	selecionar as variantes que estejam em homozigose ou heterozigose; e que estejam presentes em comum nos <u>exomas dos pacientes I.2 e II.1 da Família C (Análise 3m)/em comum nos exomas dos pacientes II.2 da Família A, II.1 da Família B, e I.2 e II.1 da Família C (Análise 4m)</u>
5º Filtro	selecionar as variantes que já tenham sido relacionadas ao desenvolvimento, proliferação e migração de câncer Papilífero de tireoide.		selecionar as variantes que geram impacto grande ou moderado	

3.5.2 Mutações encontradas em ambos os programas *Ingenuity Variant Analysis™* e Mendel, MD com potencial associação ao desenvolvimento de câncer familiar papilífero de tireoide

3.5.2.1 Identificação das mutações encontradas em ambos os programas *Ingenuity Variant Analysis™* e Mendel, MD

Foram realizadas comparações dos resultados obtidos nos programas *Ingenuity Variant Analysis™* e Mendel, MD. Em seguida foram selecionadas as variantes identificadas: a) conjuntamente nas análises 1i e 1m do exoma do paciente II.2 da Família A; b) conjuntamente nas análises 2i e 2m do exoma do paciente II.1 da Família B; c) conjuntamente nas análises 3i e 3m dos exomas dos pacientes I.2 e II.1 da Família C; e d) conjuntamente nas análises 4i e 4m dos exomas de todos os quatro pacientes.

3.5.2.2 Análise dos genes que apresentaram mutações

A possível associação entre a tumorogênese da tireoide e as variantes candidatas selecionadas foram analisadas quanto:

- a função dos genes e das vias às quais se relacionam, usando-se os bancos de dados *Genecards* (<http://www.genecards.org/>), *OMIM* (<https://www.omim.org/>) e *UniProt* (<http://www.uniprot.org/>);
- a presença no banco de dados *COSMIC* (<http://cancer.sanger.ac.uk/cosmic>): para as mutações que já estavam incluídas no *COSMIC* foi pesquisada a quais tipos de câncer elas estavam relacionadas;
- a presença das mutações no banco de dados *Ensembl*: para as mutações que já estavam incluídas no *Ensembl* foram pesquisados suas frequências de ocorrência nas populações e o fenótipo associado a cada mutação. Destaca-se que as duas últimas informações em geral não estavam disponíveis no Ensembl;
- aos efeitos das mutações observadas nos modelos animais inseridos nos bancos de dados *Mouse Genome Informatics - MGI* (<http://www.informatics.jax.org>) e HomoloGene (<http://www.ncbi.nlm.nih.gov/homologene>);

- a seus efeitos carcinogênicos descritos em publicações disponíveis no Pubmed (<https://www.ncbi.nlm.nih.gov/pubmed/>);

- a seus potenciais deletérios, usando-se as ferramentas computacionais *SIFT*, *Polyphen* e *Provean* e *CAAD*. Os escores das ferramentas utilizadas estão apresentados na Tabela 7. Nessa etapa, foram selecionadas as mutações preditas deletérias.

Após essas análises, foram geradas quatro listas de genes candidatos finais, sendo que os genes selecionados estão descritos nas (Tabelas 8 a 11 do Item 3.6).

Tabela 7: Escores das ferramentas utilizadas para análise do efeito das mutações identificadas.

Tipo de substituição	Escores das ferramentas			
	<i>SIFT</i>	<i>Polyphen</i>	<i>Provean</i>	<i>CAAD</i>
Substituições que são preditas intolerantes ou deletérias ¹	< 0,05	> 0,43	< 2,5	>15
Substituições que são preditas benignas ou não deletérias	> 0,05	< 0,43	> 2,5	<15

¹ Na ferramenta Polyphen as mutações com potencial nocivo são classificadas em possivelmente deletérias e provavelmente deletérias.

3.6 Validação das variantes candidatas selecionadas

A validação das mutações selecionadas como potencialmente causadoras de câncer papilífero de tireoide familiar foi realizada pela técnica de sequenciamento bi-direcional padrão de Sanger (Sanger & Coulson, 1975).

As sequências alvo dos genes selecionados (contendo os éxons onde se localizam as mutações) foram obtidas no banco de dados *Ensembl* (<http://www.ensembl.org>). Conjuntos de iniciadores específicos para a amplificação dessas sequências foram desenhados utilizando-se o programa Primer3 v.4.0 (<http://frodo.wi.mit.edu/primer3/>) (Tabelas 8 a 11).

As variantes descritas nas Tabelas 8, 9 e 11 foram avaliadas, respectivamente, no DNA extraído do sangue dos paciente II.2 da Família A, II.1 da Família B, e I.2 e II.1 da Família C.

Por sua vez, a mutação apresentada na Tabela 10 foi avaliada nos DNAs de todos esses pacientes.

Tabela 8: Conjuntos de iniciadores utilizados para amplificar as variantes candidatas identificadas no sequenciamento do exoma paciente II.2 da Família A.

Gene	Primer	Temperatura de anelamento	Tamanho do produto amplificado	
ANXA3 (Éxon 12)	Forward (5' → 3')	TGTTGCTTGTGACCAATGACA	62°C	230
	Reverse (5' → 3')	AGATGGGTAGAGAAGGGCAA		
GPR35 (Éxon 2)	Forward (5' → 3')	ctgccccagGACCATGAAT	62°C	195
	Reverse (5' → 3')	TTGGTCATGTAGATGCGGGT		
NTN4 (Éxon 2)	Forward (5' → 3')	TTCCGGTTTCCTCGCACAT	62°C	316
	Reverse (5' → 3')	TGTAGAGTTAACACAGGTGCCCT		

Tabela 9: Conjuntos de iniciadores utilizados para amplificar a variante candidata identificada no sequenciamento do exoma do paciente II.1 da Família B.

Gene	Primer	Temperatura de anelamento	Tamanho do produto amplificado	
SERPINA1 (Éxon 4)	Forward (5' → 3')	ACTCCTCCGTACCCCTCAACC	62°C	235pb
	Reverse (5' → 3')	AAGCTCCTTGACCAAATCCA		

Tabela 10: Conjuntos de iniciadores utilizados para amplificar a variante candidata identificada em comum nos sequenciamentos dos exomas dos pacientes II.2 da Família A, II.1 da Família B, I.2. e II.1 da Família C.

Gene	Primer	Temperatura de anelamento	Tamanho do produto amplificado	
CDC27 (Éxon 14)	Forward (5' → 3')	TCTTCCAGAGAGCTATCCAA	62°C	235pb
	Reverse (5' → 3')	AGTACCAGCACCATCAATAC		

Tabela 11: Conjuntos de iniciadores utilizados para amplificar as variantes candidatas identificadas nos pacientes I.2 e II.1 da Família C.

Gene	Primer		Temperatura de anelamento	Tamanho do produto amplificado
<i>DCC</i> (éxon 8)	Forward (5'→3')	GCGACACCTCTGATAGCCTC	62°C	299pb
	Reverse (5'→3')	AGCCTCTCAAAGTTCCTGC		
<i>FKBP10</i>	Forward (5'→3')	GAACTCTGAGACCTCACGC	62°C	359pb
	Reverse (5'→3')	TAGGTGTCTATAAGTGCCGCC		
<i>GGT1</i> (exon6)	Forward (5'→3')	CCACATGGCAGGATGCACT	62°C	244pb
	Reverse (5'→3')	CCCAAACCCTTATGCCACG		
<i>KMT2C</i> (éxon 14)	Forward (5'→3')	CAGAAAGAAAATTCTGAACT	55°C	238pb
	Reverse (5'→3')	TAAGAGCTGAAGGGTAATTAT		
<i>MAP2K3</i> (éxon 8)	Forward (5'→3')	CTATGCAGAGCATGGCACCT	60°C	171pb
	Reverse (5'→3')	ATCGTCTTGGCACAGAGTC		
<i>P2RX5</i> (exon 1)	Forward (5'→3')	GCCTGTCGCTTTCGACTA	62°C	228pb
	Reverse (5'→3')	CCCAGCTACCGGGAAAACC		
<i>PFKFB2</i> (exon11)	Forward (5'→3')	TATTTGGGATGGGGCTGGTG	62°C	218pb
	Reverse (5'→3')	CTCAGCAAGGGTCTAGGCAG		
<i>PLEKHG5</i> (éxon 21)	Forward (5'→3')	CAGGAGGGCAGAGGGTATAA	60°C	489pb
	Reverse (5'→3')	TTAGACTTGAGCAGGTGGGG		
<i>PTPRH</i> (éxon 16)	Forward (5'→3')	GGGATCAACTAAAGGCC	60°C	171pb
	Reverse (5'→3')	TCCATGCAGTTGGTCAGCAT		
<i>SAPCD1</i> (exon2)	Forward (5'→3')	GCAGGCTCTGGAGAGAGAAC	62°C	289pb
	Reverse (5'→3')	ACACTTGGTGGCATCCTGTC		
<i>SPHK1</i> (éxon 8)	Forward (5'→3')	GGGGCTTCATTGCTGATGTG	60°C	204pb
	Reverse (5'→3')	CAAGGTGTGCATCTACCGGG		
<i>SVIL</i> (exon22)	Forward (5'→3')	AGATTGACGTCTCCGTGGC	62°C	353pb
	Reverse (5'→3')	AAAAATCTTAAAGTCTAGGTGCG		

A reação padrão utilizada para a realização das PCR seguiu os seguintes parâmetros: 100ng de DNA; 2,5µL de Tampão 10x; 2,5µL de dNTPs (0.2mM); 0,5µL de cada par de iniciadores (10pmol/mL), 0,5µL de Taq DNA polimerase (0.625U), e água ultrapura para completar o volume final de 25 µL. Os produtos foram amplificados em termociclador, utilizando-se as seguintes etapas: desnaturação a 94°C por 3 minutos, e, 35 ciclos de desnaturação a 94°C por 30 segundos, anelamento que variou entre 60°C a 62°C por 30 segundos e extensão a 72°C por 30 segundos. Ao término dos ciclos, as reações passaram por uma extensão final a 72°C por 10 minutos.

A purificação dos produtos amplificados foi realizada com o kit de purificação Wizard® Genomic DNA Purification Kit (Promega Corporation, Madison, WI). Amostras purificadas foram submetidas a eletroforese em gel de poliacrilamida 6,5%. A visualização dos produtos amplificados foi possível através da coloração do gel de poliacrilamina, a partir da coloração com solução de nitrato de prata (10.5g AgNO₃, q.s.p 100mL H₂O, formaldeído 37%, q.s.p 50mL de água destilada), seguida de revelação em solução de carbonato de sódio (3g de NaCO₃, q.s.p 100mL H₂O, 75mL de formaldeído 100% e 20mL de tiosulfato de sódio 10mg/mL).

Os produtos de PCR purificados foram utilizados para reações de sequenciamento realizadas utilizando-se BigDye Terminator v.3.1 cycle sequencing kit, seguindo as instruções do fabricante (Life Technologies Corporation, Carlsbad, CA). As reações de sequenciamento ocorreram em termociclador, utilizando-se as seguintes etapas: desnaturação a 96°C por 3 minutos; 25 ciclos de desnaturação a 96°C por 10 segundos, anelamento a 50°C por 5 segundos, extensão a 60°C por 4 minutos. A purificação dos produtos das reações de sequenciamento foi realizada por precipitação com Etanol/EDTA/Acetato de Sódio. As sequências foram obtidas em sequenciador ABI 3130 Genetic Analyzer (Life Technologies Corporation, Carlsbad, CA) e analisadas utilizando-se o programa Sequencher v.5.4.6.

3.7 Avaliação da presença das variantes validadas na população controle e em outros membros das famílias estudadas

Para validar a associação das mutações candidatas com a patogênese do câncer papilífero familiar de tireoide, as variantes selecionadas foram sequenciadas (de acordo com os métodos descritos no Item 3.6) em amostras de DNA de outros integrantes das Famílias A, B e C acometidos pela doença. Posteriormente, as variantes foram analisadas nos 98 indivíduos controles (idosos brasileiros sem histórico de câncer), a fim de confirmar que as variantes não configuram como polimorfismos na população brasileira. As variantes candidatas observadas especificamente na Família A também foram genotipadas (de acordo com os métodos descritos no Item 3.6) em outro membro família, o qual está em acompanhamento médico por ser portador de nódulo na tireoide. Ademais, as mutações candidatas identificadas na Família C foram sequenciadas no DNA extraído de tecido tumoral (fixado em parafina) do paciente I.2 da Família C, com base nos métodos descritos no Item 3.6. Esses métodos foram empregados também para a análise da mutação p.V600E (do gene *BRAF*) na amostra do tumor do paciente paciente I.2 da Família C e os conjuntos de iniciadores utilizados para essa análise estão apresentados na Tabela 12.

Tabela 12: Conjuntos de iniciadores utilizados para amplificação do exón 15 do gene *BRAF*.

Gene	Primer	Temperatura de anelamento	Tamanho do produto amplificado	
<i>BRAF</i> (Exon 15)	Forward (5' → 3')	TCATAATGCTTGCTGTGATAGGA	55°C	179pb
	Reverse (5' → 3')	GGCCAAAAATTAAATCAGTGGA		

3.8 Avaliação das variantes validadas com base sistema de classificação de variantes segundo a Escola Americana de Genética e Genômica Médica (ACMG)

As mutações validadas em cada uma das famílias A, B e C com câncer papilífero de tireoide foram analisadas conforme os critérios de classificação de variantes da ACMG, os quais

encontram-se descritos no trabalho de Richards *et al.* (2015). O sistema desses autores se baseia em diversas informações sobre as variantes, como por exemplo, o efeito na proteína, a posição no transcrito, a presença e segregação na família. Compreendem-se como as variantes com potencial patogênico no sistema de classificação da ACMG as: muito fortemente potencialmente patogênicas (PVS1), fortemente potencialmente patogênica (PS1 a PS4), moderadamente potencialmente patogênica (PM1 a PM 6) ou com potencial patogênico de suporte (PP1 a PP5). As variantes classificadas como patogênicas ou possivelmente patogênicas no sistema de classificação da ACMG correspondem as que se enquadram em dois ou mais dos critérios de potencial patogênico, conforme detalhado na Tabela 13.

Tabela 13: Critérios para classificação de variantes patogênicas ou possivelmente patogênicas segundo Richards *et al.* (2015).

Variantes classificadas como patogênicas segundo Richards <i>et al.</i> (2015).	Variantes classificadas como possivelmente patogênicas segundo Richards <i>et al.</i> (2015).
<p>1- Que sejam enquadradas no grupo das variantes muito fortemente potencialmente patogênicas (PVS1) E que também sejam enquadradas em:</p> <ul style="list-style-type: none"> a. um ou mais dos critérios das variantes fortemente potencialmente patogênica (PS); OU b. dois ou mais dos critérios de variantes moderadamente potencialmente patogênicas (PM); OU c. um ou mais dos critérios de variantes moderadamente potencialmente patogênicas (PM) E em um ou mais dos critérios de variantes com potencial patogênico de suporte (PP); OU d. dois ou mais dos critérios de variantes de potencial patogênico de suporte (PP). OU <p>2- Que sejam enquadradas em dois ou mais dos critérios do grupo das variantes fortemente potencialmente patogênicas (PS); OU</p> <p>3- Que sejam enquadradas em um dos critérios do grupo das variantes fortemente potencialmente patogênicas (PS) E que sejam enquadradas em:</p> <ul style="list-style-type: none"> a. três ou mais dos critérios no grupo das variantes moderadamente potencialmente patogênicas (PM); OU b. dois ou mais dos critérios das variantes moderadamente potencialmente patogênicas (PM) E em dois ou mais critérios das variantes que tenham potencial patogênico de suporte (PP); OU 	<p>1- Que sejam enquadradas no grupo das muito fortemente potencialmente patogênicas (PVS1) E também sejam enquadradas em pelo menos um dos critérios do grupo das moderadamente potencialmente patogênicas (PM). OU</p> <p>2- Que sejam enquadradas no grupo das fortemente potencialmente patogênicas em um dos critérios (PS) E também sejam enquadradas em dois ou mais dos critérios do grupo das moderadamente potencialmente patogênicas (PM). OU</p> <p>3- Que sejam enquadradas em um dos critérios do grupo das variantes fortemente potencialmente patogênicas (PS) E também sejam enquadradas em dois ou mais critérios no grupo das variantes de potencial patogênico de suporte (PP). OU</p> <p>4- Que sejam enquadradas em três ou mais dos critérios do grupo das variantes moderadamente potencialmente patogênicas (PM). OU</p> <p>5- Que sejam enquadradas em dois dos critérios do grupo das moderadamente potencialmente patogênicas (PM) E em dois ou mais critérios das variantes que tenham potencial patogênico de suporte (PP). OU</p> <p>6- Que sejam enquadradas em um dos critérios do grupo das variantes moderadamente potencialmente patogênicas (PM) E em dois ou mais critérios das variantes que tenham potencial patogênico de suporte (PP). OU</p>

c. um dos critérios das variantes moderadamente potencialmente patogênicas (PM) E em quatro dos critérios das variantes que tenham potencial patogênico de suporte (PP).

4 RESULTADOS

4.1 Características clínicas dos pacientes

O probando II.2 da Família A (Figura 9) foi diagnosticado com PTC aos 32 anos de idade. A história familiar desse paciente para tumores incluiu: a mãe, que desenvolveu carcinoma metastático de células oncocíticas de tireóide; um filho falecido por leucemia; dois outros filhos, casos III.1 e III.2 (Figura 9), diagnosticados com PTC aos 39 e 36 anos, respectivamente. Ademais, há outro filho do probando, o caso III.3 (Figura 9), que está com 36 anos de idade, não apresenta fenótipo de câncer, mas está em acompanhamento médico devido a presença de nódulo na tireóide (Figura 9). Assim, com relação a Família A, no presente estudo foram analisados os casos II.2 a III.3 (Figura 9). Na Tabela 14 são apresentados os dados clínicos dos pacientes II.2 a III.2 da Família A (Figura 9). As informações sobre o caso III.3 da Família A (Figura 9) não foram incluídas na Tabela 14 tendo em vista que o nódulo na tireoide desse paciente não foi associado até o momento à PTC.

O caso índice II.1 da Família B (Figura 10) apresentou PTC multinodular aos 43 anos de idade. Sua irmã (caso II.2) e sua mãe (caso I.2) (Figura 10) foram diagnosticadas com carcinoma papilífero de tireoide aos 22 e 70 anos de idade, respectivamente. A mãe e outra irmã do paciente II.1 foram diagnosticadas com câncer de mama. Os dados clínicos dos pacientes I.2, II.1 e II.2 da Família B estão apresentados na Tabela 14.

O probando Caso II.1 da Família C (Figura 11) foi diagnosticado com PTC aos 18 anos de idade. Sua história familiar engloba a sua mãe (caso I.2, Figura 11), diagnosticada com PTC aos 67 anos de idade, e mais duas irmãs. Uma delas (caso II.2, Figura 11) recebeu o diagnóstico de PTC aos 45 anos de idade. Na Tabela 14 são descritos os dados clínicos dos casos I.2, II.1 e II.2 da Família C.

Todos os pacientes das Famílias A, B e C receberam tratamento cirúrgico (tireoidectomia completa). Nenhum dos pacientes teve exposição a raios X na cabeça ou no pescoço antes de desenvolver os tumores. Os heredogramas das Famílias A, B e C estão representados nas Figuras 9 a 11.

Tabela 14: Dados clínicos dos pacientes analisados integrantes das Famílias A, B e C que apresentam PTC.

Família	Caso	Idade ao diagnóstico	Gênero	Dimensão do tumor	Tipo histológico do PTC	Invasão perineural	Extensão extratireoidea	Metastase linfonodal
Família A	II.2 (probando)	32 anos	Feminino	2,0 cm	Folicular	SI	SI	SI
	III.1	39 anos	Masculino	0,5 cm	Clássico Folicular	SI	SI	SI
	III.2	36 anos	Masculino	0,3 cm	Clássico	Não	Não	Não
Família B	I.2	70 anos	Feminino	1,6 cm	SI	SI	Sim	Sim
	II.1 (probando)	43 anos	Masculino	0,5 a 1,5 cm	Clássico	SI	Sim	Não
	II.2	22 anos	Feminino	1,5 cm	Clássico	SI	Não	Sim
Família C	I.2	65 anos	Feminino	0,95 cm	Folicular	Não	Não	Não
	II.1 (probando)	18 anos	Feminino	SI	SI	SI	SI	SI
	II.2	45 anos	Feminino	0,90 cm	Clássico	Não	Não	Não

Legenda: SI= Sem informação

4.2 Resultados dos sequenciamentos completos dos exomas

4.2.1 Família A

O sequenciamento completo do exoma do paciente II.2 da Família A (Figura 9) resultou na amplificação de 49.402 variantes em 17.359 genes. A profundidade média de leitura de cada base foi de 138x e a qualidade média do sequenciamento foi de 1.379. Após exclusão das variantes com frequência alelica $\geq 1\%$ e aplicação dos demais filtros detalhados no Item 3.5.1.1, um total de 458 genes com mutações *frameshift*, sem sentido, de sentido trocado ou *in-frame* foram identificadas pelo programa *Ingenuity Variant Analysis™* (Tabela Suplementar 1). Empregando-se os critérios de seleção de variantes descritos no Item 3.5.1.2,

foram detectadas 155 genes com mutações *frameshift*, sem sentido, de sentido trocado ou *in-frame* no programa Mendel, MD (Tabela Suplementar 2). No total, 39 variantes em 39 genes foram encontradas em comum aos dois programas. Todos estes genes e variantes foram analisados com base em seus papéis biológicos, conforme descrito no Item 3.5.2.2, para que fosse então possível se determinar aqueles que poderiam estar associados ao desenvolvimento de PTC na Família A. Desse modo, as variantes identificadas nos genes *ANXA3* (MIM #106490), *NTN4* (MIM #610401), *GPR35* (MIM #602646) e *CDC27* (MIM #116946) foram selecionadas. Na

Tabela 15 são apresentadas estas mutações, bem como o efeito funcional de cada uma delas. Somente as mutações p.D283N/c.1226G>A**ANXA3* e p.Y157S/c.919A>C**NTN4* foram validadas via Sequenciamento de Sanger. Até a conclusão deste trabalho essas mutações não haviam sido previamente descritas na literatura.

Tabela 15: Análise do efeito funcional das mutações encontradas na Família A usando as ferramentas *Provean*, *Polyphen2*, *SIFT* e *CADD*

Gene	Chr	Base alterada	Aminoácido alterado	Provean	SIFT	Polyphen2	CADD
<i>CDC27</i>	17	Cga/Tga	p.R631*	SI	SI	SI	SI
<i>ANXA3</i>	4	Gac/Aac	p.D283N	Deletério	Deletério	Deletério	Deletério
<i>GPR35</i>	2	taC/taG	p.Y57*	SI	SI	SI	SI
<i>NTN4</i>	12	tAt/tCt	p.Y157S	Deletério	Deletério	Deletério	Deletério

Legenda: SI=sem informação.

Na Tabela 16 são apresentados os resultados sucintos das pesquisas realizadas (conforme descrito no Item 3.5.2.1 e no Item 3.8) sobre os genes *ANXA3* e *NTN4*, bem como sobre suas variantes validadas no indivíduo II.2 da família A (indicado na Figura 9).

Tabela 16: Fatores empregados na seleção de genes/mutações potencialmente associados ao desenvolvimento de CPT na Família A.

Critérios avaliados	Genes (variantes)	<i>ANXA3</i> (p.D283N)	<i>NTN4</i> (p.Y157S)
	Há na literatura estudos de alteração da expressão desse gene em tumores?	Sim	Sim
A proteína sintetizada por esse gene participa do reparo do DNA, rearranjo gênico, da angiogênese ou do controle da proliferação celular?		Sim	Sim

A mutação tem potencial deletério? ¹	Sim	Sim
A mutação já foi descrita em algum tipo de câncer?	Não	Não
A mutação tem MAF <1%?	SI	Si
Há modelos animais que avaliam o efeito da mutação identificada nesse gene?	Não	Não
Classificação da variante segundo critérios de Richards et al. (2015).	Moderadamente potencialmente patogênica (PM2) E com dois critérios potenciais patogênicos de suporte (PP1+PP3).	

Legenda: SI=sem informação; ¹=Em pelo menos duas das seguintes ferramentas: *Provean*, *Polyphen2*, *SIFT* e *CADD*.

No presente estudo, as variantes germinativas p.D283N no gene ANXA3 e p.Y157S

no gene NTN4 também foram identificadas nos outros três membros da Família A (Casos III.1, III.2 e III.3, identificados na Figura 9) e estavam ausentes nos 98 controles saudáveis.

FAMÍLIA A

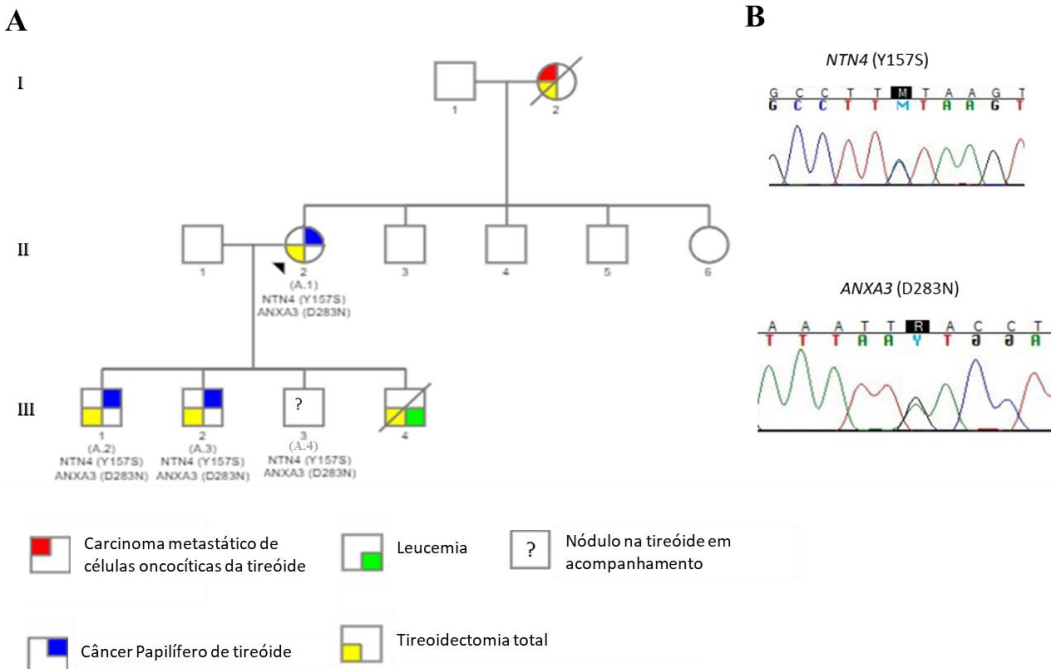


Figura 9: Heredograma da Família A e genótipos associados ao fenótipo de PTC. Círculos e quadrados representam indivíduos femininos e masculinos, respectivamente. O probando é indicado por seta preta. Os membros falecidos são representados por linhas diagonais. (A) Heredograma da Família A, a qual apresenta membros afetados por câncer papilífero de tireoide. (B) Eletroferogramas das mutações germinativas de sentido trocado identificadas em heterozigose nos casos II.2, III.1, III.2 e III.3 da Família A.

4.2.2 Família B

A partir do sequenciamento completo do exoma do paciente II.1 da Família B (Figura 10) foram detectadas 49.338 variantes em 17.478 genes. A média da qualidade do sequenciamento foi de 1.472 e a profundidade média de leitura foi de 130x por base. A partir das análises descritas nos Item 3.5.1.1 para detecção de genes com mutações *frameshift*, sem

sentido, de sentido trocado ou *in-frame*, foram identificadas essas variantes em 69 genes pelo programa *Ingenuity Variant Analysis™* e em 155 genes pelo programa Mendel, MD. Foram observadas apenas duas variantes potencialmente deletérias em comum dentre as identificadas pelos dois programas, sendo elas localizadas nos genes *CDC27* (MIM #116946) e *SERPINA1* (MIM # 107400). Na Tabela 17 são apresentados os efeitos funcionais dessas variantes.

Tabela 17: Análise do efeito funcional da mutação encontrada na Família B usando as ferramentas *Provean*, *Polyphen2*, *SIFT* e *CADD*

Gene	Chr	Base alterada	Aminoácido alterado	Provean	SIFT	Polyphen2	CADD
<i>CDC27</i>	17	Cga/Tga	p.R631*	SI	SI	SI	SI
<i>SERPINA1</i>	14	Ggg/Tgg	p.G172W	Neutro	Deletério	Deletério	Neutro

Legenda: SI=sem informação.

A mutação p.R631* no gene *CDC27* não foi validada. Com o uso do método Sanger de sequenciamento validou-se a variante p.G172W/c.1087G>T**SERPINA1* no paciente II.1 da Família B e foi observado que a mutação está presente também no caso I.2 da Família B (Figura B), mas está ausente nos 95 controles saudáveis. Na Tabela 18 é apresentada a síntese dos resultados sucintos das pesquisas realizadas (com base no Item 3.5.2.1 e no Item 3.8) sobre o gene *SERPINA1* e a variante identificada nesse gene.

Tabela 18: Fatores avaliados para seleção de genes/mutações potencialmente associados ao desenvolvimento de CPT na Família B.

Genes (variantes)	<i>SERPINA1 (p.G172W)</i>
Critérios avaliados	
Há na literatura estudos de alteração da expressão desse gene em tumores?	Sim
A proteína sintetizada por esse gene participa do reparo do DNA, rearranjo gênico, da angiogênese ou do controle da proliferação celular?	Sim
A mutação tem potencial deletério? ¹	Sim
A mutação já foi descrita em algum tipo de câncer?	Não
A mutação tem MAF <1%?	Sim
Há modelos animais que avaliam o efeito da mutação identificada nesse gene?	Não
Classificação da variante segundo critérios de Richards et al. (2015).	Moderadamente potencialmente patogênica (PM2) E com um critério

Legenda: ¹=Em pelo menos duas das seguintes ferramentas: *Provean*, *Polyphen2*, *SIFT* e *CADD*.

Até o presente momento, não confirmou-se a presença da mutação no paciente II.2 da Família B. A frequência alélica dessa variante na população mundial, de acordo com o banco de dados *ExAC* (<http://exac.broadinstitute.org/>) é de 4.280e-04.

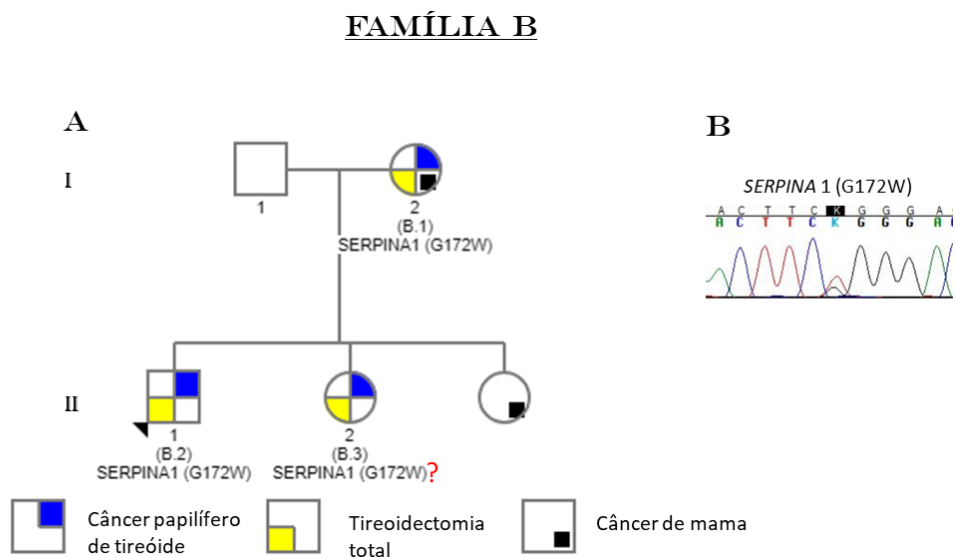


Figura 10: Heredograma da Família B e genótipo associado ao fenótipo de PTC. Círculos e quadrados representam indivíduos femininos e masculinos, respectivamente. O probando é indicado por seta preta. Os membros falecidos são representados por linhas diagonais. (A) Heredograma da Família B, a qual apresenta membros afetados por câncer papilífero de tireoide. (B) Eletroferograma da mutação germinativa de sentido trocado identificadas em heterozigose nos casos II.1, I.2 e (a confirmar) II.2.

4.2.3 Família C

O sequenciamento completo do exoma dos casos I.2 (mãe) e II.1 (filha) da Família C (Figura 11) resultou em 57.436 variantes em 15.060 genes. A média da qualidade do sequenciamento foi de 1.022 e a profundidade média de leitura foi de 138x por base. Usando o método de filtragem de variantes no programa *Ingenuity Variant AnalysisTM*, foram identificadas mutações *frameshift*, sem sentido, de sentido trocado ou *in-frame* em 188 genes compartilhados por ambos os pacientes. Análise semelhante usando o programa Mendel,MD possibilitou a detecção de variantes em 127 genes comuns aos dois pacientes.

A comparação dos resultados de ambas as análises resultou na identificação de 13 mutações sem sentido, de sentido trocado com efeito funcional deletério, ou *frameshift* em 13 genes, sendo eles: *CDC27* (MIM #116946), *DCC* (MIM #120470), *FKBP10* (MIM #607063), *GGT1* (MIM #612346), *KM2TC* (MIM #606833), *MAP2K3* (MIM #602315), *P2RX5* (MIM #602836), *PFKFB2* (MIM #171835), *PLEKHG5* (MIM #611101), *PTPRH* (MIM #602510), *SAPCD1*, *SPHK1* (MIM #603730), *SVIL* (MIM #604126). Os potenciais delerérios das variantes identificadas estão descritos na Tabela 19.

Tabela 19: Análise do efeito funcional das mutações encontradas na Família C usando as ferramentas *Provean*, *Polyphen2*, *SIFT* e *CADD*

Gene	Chr	Base alterada	Aminoácido alterado	Provean	SIFT	Polyphen2	CADD
<i>CDC27</i>	17	Cga/Tga	p.R631*	SI	SI	SI	SI
<i>DCC</i>	18	aCg/aTg	p.T463M	Deletério	Deletério	Deletério	Deletério
<i>FKBP10</i>	17	Ggc/Agc	p.G188S	Deletério	Deletério	Deletério	Deletério
<i>GGT1</i>	22	Ggc/Agc	p.G84S	Deletério	Deletério	Possivelmente deletério	Deletério
<i>KMT2C</i>	7	Caa/Taa	p.Q755*	SI	SI	SI	Deletério
<i>MAP2K3</i>	17	gGc/gAc	p.G202D	Deletério	Deletério	Deletério	Deletério
<i>P2RX5</i>	17	cTg/cAg	p.L32Q	Deletério	Deletério	Deletério	Deletério
<i>PFKFB2</i>	1	Cgg/Tgg	p.R343W	Deletério	Deletério	Deletério	Deletério
<i>PLEKHG5</i>	1	Cgc/Tgc	p.R939C	Deletério	Deletério	Deletério	Deletério
<i>PTPRH</i>	19	Cag/Tag	p.Q887*	SI	SI	SI	Deletério
<i>SAPCD1</i>	6	Cag/Tag	p.Q76*	SI	SI	SI	Deletério
<i>SPHK1</i>	17	cg/c	p.R285fs*17	SI	SI	SI	SI
<i>SVIL</i>	10	cTc/cGc	p.L1374R	Deletério	Deletério	Deletério	Deletério

Legenda: SI=sem informação; ¹=Em pelo menos duas das seguintes ferramentas: *Provean*, *Polyphen2*, *SIFT* e *CADD*.

As variantes nos genes *DCC*, *FKBP10*, *MAP2K3*, *PLEKHG5*, *P2RX5*, *SAPCD1*, *SPHK1* foram validadas, mas apenas as mutações nos genes *FKBP10* (p.G188S/c.666G>A), *PLEKHG5* (p.R937C/c.2880G>T), *P2RX5* (p.L32Q/c.494T>A) e *SAPCD1* (p.Q76*/c.285C>T) foram identificadas (em heterozigoseidade) em todos os três membros afetados da Família C (Figura 11) e na amostra de tumor do caso II.1 da Família C. Nenhum dos 95 controles saudáveis continha essas quatro mutações. A frequência alélica total de cada

uma dessas variantes na população mundial, de acordo com o banco de dados *ExAC* (<http://exac.broadinstitute.org/>), é de: 1.65e-05 para a mutação p.G188S no gene *FKBP10*, 4.007e-05 para p.R937C no gene *PLEKHG5*, 4.12e-03 para p.L32Q no gene *P2RX5* e 9.14e-04 para p.Q76* no gene *SAPCD1*. A amostra de DNA tumoral não apresentou mutação no gene *BRAF*.

FAMÍLIA C

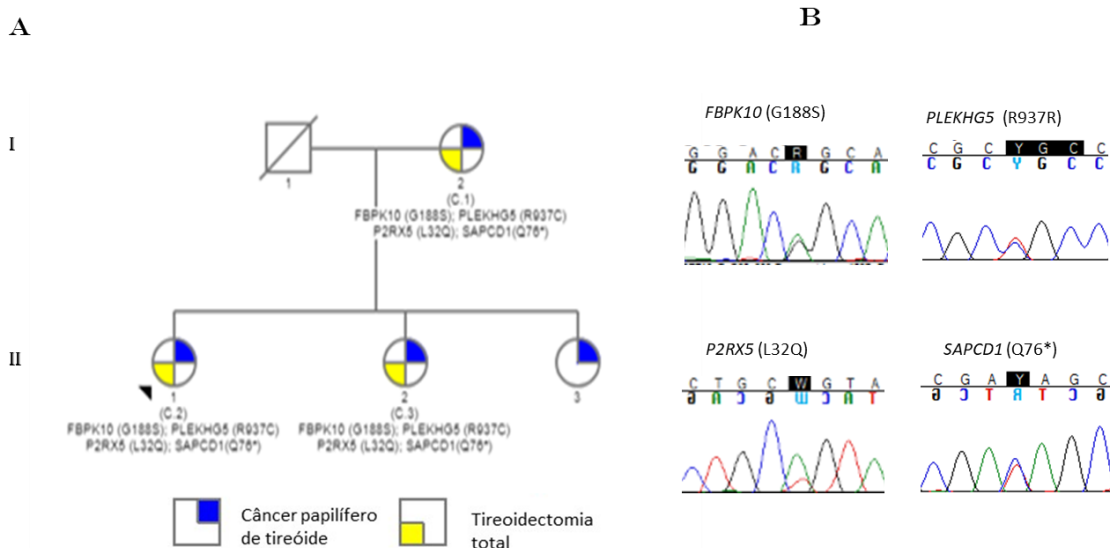


Figura 11: Heredograma da Família C e genótipos associados ao fenótipo de PTC. Círculos e quadrados representam indivíduos femininos e masculinos, respectivamente. O probando é indicado por seta preta. Os membros falecidos são representados por linhas diagonais. (A) Heredograma da Família C, a qual apresenta membros afetados por câncer papilífero de tireoide. (B) Eletroferogramas das mutações germinativas de sentido trocado ou sem sentido identificadas em heterozigoze nos casos I.2, II.1 e II.2 da Família C.

Na Tabela 20 é apresentada a síntese dos resultados sucintos das pesquisas realizadas (com base no Item 3.5.2.1 e no Item 3.8) sobre os genes e as quatro variantes correlacionadas ao desenvolvimento de CPT na Família C.

Tabela 20: Fatores avaliados para seleção de genes/mutações potencialmente associados ao desenvolvimento de CPT na Família C.

Genes (variantes)	<i>SAPCD1</i> (p.Q76*)	<i>FKBP10</i> (p.G188S)	<i>P2RX5</i> (p.L32Q)	<i>PLEKHG5</i> (p.R937C)
Critérios avaliados				
Há na literatura estudos de alteração da expressão desse gene em tumores?	Sim	Sim	Sim	Sim
A proteína sintetizada por esse gene participa do reparo do DNA, rearranjo gênico, da angiogênese ou do controle da proliferação celular?	SI	Sim	Sim	Sim
A mutação tem potencial deletério?¹	Sim	Sim	Sim	Sim
A mutação já foi descrita em algum tipo de câncer?	Sim	Não	Não	Sim
A mutação tem MAF <1%?	Sim	Sim	Sim	Sim
Há modelos animais que avaliam o efeito da mutação identificada nesse gene?	Não	Não	Não	Não
Classificação da variante segundo critérios de Richards <i>et al.</i> (2015).	Patogênica (PVS1 + PM2 + PP1 + PP3)	Moderadamente potencialmente patogênica (PM2) E com três critérios potenciais patogênicos de suporte (PP1+PP2+PP3)		

Legenda: SI=sem informação; ¹=Em pelo menos duas das seguintes ferramentas: *Provean*, *Polyphen2*, *SIFT* e *CADD*.

4.2.4 Equivalência entre as Famílias A, B e C

Apenas uma variante candidata potencialmente deletéria, a mutação p.R631* no gene *CDC27*, foi encontrada em comum nos Casos II.2 da Família A, II.1 da Família B, I.2 e II.1 da Família C. No entanto, conforme descrito nos Itens 4.2.1 a 4.2.3 essa mutação não foi validada nesses pacientes.

4.2.5 Análise nas Famílias A, B e C das mutações previamente descritas na literatura como associadas a patogênese de PTC familiar

As variantes nos genes *SRGAP1*, *TITF-1/NKX2.1*, *FOXE1*, *HABP2*, *SRRM2* e *MAP2K5* previamente descritas na literatura não foram encontrados nos exomas dos casos II.2 da Família A, II.1 da Família B, I.2 II.1 da Família C.

5 DISCUSSÃO E CONCLUSÃO

As variantes p.Q149H e p.R617C (gene *SRGAPI*), p.S346F (gene *SRRM2*), p.G496V e p.T1170I (gene *PARP4*), p.A339V (gene *TITF-1/NKX2.1*), p.A248G (gene *FOXE1*), p.G534E (gene *HABP2*), e p.A321T e p.M367T (gene *MAP2K5*) já foram associadas ao fenótipo de FNMTC (Ngan *et al.*, 2009; He *et al.*, 2013; Gara *et al.*, 2015; Pereira *et al.*, 2015; Tomsic *et al.*, 2015; Tomsic, Chapelle, 2015; Tomsic *et al.*, 2016; Ye *et al.*, 2019). Entretanto, a prevalência de famílias com PTC portadoras dessas mutações é, em geral, baixa. Com isso, a patogênese do câncer papilífero familiar de tireóide permanece pouco esclarecida.

No presente estudo, as variantes descritas na literatura não foram encontradas nas Famílias A, B e C. Através da análise de co-segregação, ausência das mutações nos controles, potencial patogênico e a frequência mundial das mutações, foram identificadas sete mutações germinativas candidatas a participarem do desenvolvimento de câncer papilífero familiar de tireoide nas três famílias estudadas. Dentre as variantes candidatas foram observadas, duas na Família A (p.D283N no gene *ANXA3* e p.Y157S no gene *NTN4*), uma na Família B (p.G172W no gene *SERPINA1*), quatro na Família C (p.G188S no gene *FKBP10*, p.R937C no gene *PLEKHG5*, p.L32Q no gene *P2RX5*, e p.Q76* no gene *SAPCD1*). Porém, destaca-se que não há modelos biológicos ou outros estudos publicados na literatura que tenham validado previamente o impacto das variantes candidatas no desenvolvimento de tumores.

O gene *ANXA3*, localizado na região 4q13-q22 do cromossomo humano, codifica proteínas Anexina A3 (*ANXA3*), as quais são proteínas ligadas a fosfolipídios dependentes de cálcio. Essas proteínas estão envolvidas no transporte de membranas, em outras atividades dependentes de calmodulina, e no controle da expressão de proteínas que regulam as cinases dependentes de ciclina (Zhou *et al.*, 2017). *ANXA3* desempenha, assim, um papel na proliferação celular, apoptose, metástase e resistência a medicamentos (Du *et al.*, 2018).

Descobertas recentes demonstram que a expressão de *ANXA3* está aumentada em câncer de mama (Du *et al.*, 2018), pulmão (Liu *et al.*, 2009), fígado (Pan *et al.*, 2015) e em câncer de ovário resistente à cisplatina (Yan *et al.*, 2010). Esses estudos sugerem que a superexpressão de *ANXA3* pode estar associada ao tamanho do tumor, estágio do tumor, mau prognóstico e resistência à quimioterapia (Liu *et al.*, 2009; Yan *et al.*, 2010; Pan *et al.*, 2015; Kim *et al.*, 2017; Du *et al.*, 2018). Em contrapartida, ensaios *in vitro* e *in vivo* demonstraram aumento da proliferação de células de câncer de mama, tireoide e próstata frente à redução da expressão de *ANXA3* (Kollermann *et al.*, 2008; Jung *et al.*, 2010; Du *et al.*, 2018). Desse modo, *ANXA3* pode ter funções oncogênicas e supressoras de tumor, dependendo dos tipos de células e tecidos tumorais. Identificamos no presente estudo a variante germinativa p.D283L em heterozigoze no gene *ANXA3* em familiares com câncer papilífero de tireoide. Porém, ainda não está claro como essa mutação pode estar envolvida no desenvolvimento do tumor da tireoide.

O gene Netrin-4 (*NTN4*), localizado no cromossomo 12q22, sintetiza as proteínas *NTN4* componentes da membrana celular (Lambert *et al.*, 2012). Evidências recentes sugerem que *NTN4* pode desempenhar um papel importante no câncer de mama (Xu *et al.*, 2017), no câncer de estômago (Lv *et al.*, 2015), no glioblastoma (Hu *et al.*, 2012), no neuroblastoma (Villanueva *et al.*, 2018) e no melanoma (Jayachandran *et al.*, 2016). Estudos indicam que baixas concentrações de *NTN4* contribuem para a proliferação de células tumorais (Hu *et al.*, 2012; Eveno *et al.*, 2013; Xu *et al.*, 2017), e altas concentrações de proteínas *NTN4* inibem o crescimento do tumor e a angiogênese (Nachth *et al.*, 2009; Eveno *et al.*, 2011; Lv *et al.*, 2012). Nesse sentido, é observada a redução da expressão de *NTN4* no câncer de próstata (Latil *et al.*, 2003), de mama (Esseghir *et al.*, 2007; Xu *et al.*, 2017), de colo do útero (Zhang *et al.*, 2013), e no melanoma (Jayachandran *et al.*, 2016). Entretanto, Lv *et al.* (2012) observaram aumento da expressão de *NTN4* em amostras de câncer de estômago.

O gene *SERPINA1*, sintetiza a proteína a SERPINA1, também conhecida como α1-Anti Tripsina. Esta é uma inibidora de protease, como as serina proteases (Kwon *et al.*, 2015). A SERPINA1 é altamente expressa no câncer colorretal (Kwon *et al.*, 2015), no carcinoma de células escamosas da pele (Farshchian *et al.*, 2011), e no carcinoma paplífero de tireoide (Vierlinger *et al.*, 2011). Kwon *et al.* (2015) observaram que a invasão celular e a migração no câncer colorretal têm associação com a regulação positiva de fibronectina por SERPINA1. Por outro lado, Chan *et al.* (2015) observaram que o aumento dos níveis de SERPINA1 é um preditor de sobrevida em pacientes com câncer de mama ER + e ER +/HER2 +.

O gene *SAPCD1* situa-se no cromossomo 6 e é associado ao reparo do DNA (Matta *et al.*, 2013; Jackson *et al.*, 2016). A mutação *nonsense* p.Q76* identificada no gene *SAPCD1* causa a perda de mais de 10% da proteína sintetizada pelo gene, e tem a prevalência inferior a 1% na população mundial. Essa mutação foi identificada também por Liu *et al.* (2018) em pacientes com câncer de pulmão, mas o efeito biológico da variante ainda não foi descrito. Matta *et al.* (2013) observaram que a proteína SAPCD1 encontra-se menos expressa no câncer de mama, porém, a causa da redução da expressão não foi estudada. Desse modo, mais estudos funcionais são necessários para a compreensão da mutação e da proteína.

O gene *PLEKHG5* (também conhecido como *TECH* ou *Syx*) localiza-se na região 1p36 do cromossomo humano, a qual é associada a rearranjos gênicos em vários tipos de câncer (Maystadt *et al.*, 2007; Garnaas *et al.*, 2009). A mutação p.R937C no *PLEKHG5* já foi identificada em amostras de carcinoma do trato urinário e está descrita nas bases de dados *Ensembl* e *Cosmic*. Mutações de perda de função da proteína sintetizada pelo gene *PLEKHG5* (por exemplo, p.Thr663Met e p.Gly820Arg) diminuem a ativação de NFkB e têm sido associadas a doença do neurônio motor inferior e à doença de Charcot-Marie-Tooth (Maystadt *et al.*, 2007; Kim *et al.* al., 2013), fenótipos claramente não apresentados pelos integrantes das famílias estudadas na presente pesquisa.

O gene *P2RX5* codifica o receptor P2RX5, o qual é canal iônico controlado por adenosina-5'-trifosfato-ATP atua em vias de sinalização celulares (Burnstock, Di Virgillio, 2013). Os receptores P2RX5, ativados pelo ATP, promovem a inibição do crescimento das células cancerígenas (Burnstock, Di Virgillio, 2013; Di Virgilio, Adinolfi, 2017). O aumento da expressão de P2RX5 foi detectada em câncer de bexiga (Sterle *et al.*, 2014) e em leucemia aguda pediátrica (Chong *et al.*, 2010).

O gene *FKBP10* (situado no cromossomo 17) sintetiza a proteína FKBP10 (ou FKBP65), que pertence à família FKBP de enzimas com atividade de peptidil-prolil cis-trans isomerase (Romano *et al.*, 2015). Essa proteína localiza-se no retículo endoplasmático e tem atividade de chaperona (Quinn *et al.*, 2013). Ge *et al.* (2016) descobriram que a FKBP10 está presente em níveis mais elevados em células de câncer renal do que em células não tumorais, induzindo a progressão do ciclo celular, proliferação celular, migração e invasão. Nesse sentido, o aumento de FKBP10 também tem sido associado ao câncer colorretal, de pulmão e de próstata (Olesen *et al.*, 2005; Tomlins *et al.*, 2005; Ramadori *et al.*, 2015). Entretanto, Quinn *et al.* (2013) identificaram a redução da expressão de FKBP10 em carcinomas epiteliais de ovário, e estudos adicionais são necessários para decifrar com precisão o papel da FKBP10 no desenvolvimento do câncer. Mutações em FKBP10 estão associadas a osteogênese imperfeita autossômica recessiva, síndrome de Bruck e síndrome de Kuskokwim, fenótipos não presentes nos membros da Família C. Por sua vez, há atualmente 191 mutações pontuais não-sinônimas em vários tumores listados no banco de dados *COSMIC*. No entanto, a mutação p.G188S encontrada no presente estudo não aparece nesse banco de dados.

Em conclusão, os resultados do presente estudo demonstram a utilidade da aplicação do seqüenciamento completo de exoma para identificação de genes relacionados a predisposição de tumores. Nesse sentido, as variantes p.G188S no gene *FKBP10*, p.R937C no gene *PLEKHG5*, p.L32Q no gene *P2RX5*, no gene *SAPCD1* (p.Q76*), p. D283N no gene *ANXA3*,

p. Y157S no gene *NTN4* e p.G172W no gene *SERPINA1* podem estar associadas a suscetibilidade para câncer de tireoide não-medular familiar nas famílias descritas. Mais estudos são necessários para a compreensão do papel exato dessas variantes, bem como avaliação da presença destas mutações em outras famílias com PTC.

6 REFERÊNCIAS BIBLIOGRÁFICAS

- Acquaviva G, Visani M, Repaci A *et al.* Molecular pathology of thyroid tumours of follicular cells: a review of genetic alterations and their clinicopathological relevance. *Histopathology*. 2018;72(1):6-31.
- Alzahrani AS, Murugan AK, Qasem E, Al-Hindi H. HABP2 gene mutations do not cause familial or sporadic non-medullary thyroid cancer in a highly inbred middle eastern population. *Thyroid*. 2016;26(5):667-671.
- Amatu A, Sartore-Bianchi A, Siena S. NTRK gene fusions as novel targets of cancer therapy across multiple tumour types. *ESMO Open*. 2016;1(2):e000023.
- Bae JS, Kim Y, Jeon S, *et al.* Clinical utility of TERT promoter mutations and ALK rearrangement in thyroid cancer patients with a high prevalence of the BRAF V600E mutation. *Diagn Pathol*. 2016; 11(21):1-10.
- Bamshad M. J. *et al.* Exome sequencing as a tool for Mendelian disease gene discovery. *Nature reviews. Genetics*, Nature Publishing Group. 2011;12(11): 745-55.
- Batista, F. A. Análise do perfil de expressão dos genes TTF-1, FOXE1, PAX8 e DREAM em pacientes com nódulos tiroidianos. (Dissertação de Mestrado). Campinas: Universidade Estadual de São Paulo; 2015.
- Brasileiro GF. Bogliolo patologia. 9. ed. Rio de Janeiro: Guanabara Koogan; 2016.
- Burnstock G, Di Virgillio F. Purinergic signalling and cancer. *Purinergic Signalling*. 2013;9(4): 491-540.
- Cardenas CRG. *et al.* MendelMD: a user-friendly open-source web tool for analyzing WES and WGS in the diagnosis of patients with Mendelian disorders. *PLoS Comput. Biol.* 2017; 13: e1005520.
- Carvajal-Carmona LG, Tomlinson I, Sahasrabudhe R. RE: HABP2 G534E Mutation in Familial Nonmedullary Thyroid Cancer. *Journal of the National Cancer Institute*. 2016; 108(6): djv415.

Cavaco BM, Batista PF, Sobrinho LG & Leite V. Mapping a new familial thyroid epithelial neoplasia susceptibility locus to chromosome 8p23.1-p22 by high-density single-nucleotide polymorphism genome-wide linkage analysis. *Journal of Clinical Endocrinology and Metabolism*. 2008; 93:4426-4430.

Chan HJ, Li H, Liu Z, Yuan Y-C, Mortimer J, Chen S. SERPINA1 is a direct estrogen receptor target gene and a predictor of survival in breast cancer patients. *Oncotarget*. 2015; 6(28):25815-25827.

Chmielik E, Rusinek D, Oczko-Wojciechowska M, Jarzab M, Krajewska J, Czarniecka A, Jarzab B. Heterogeneity of Thyroid Cancer. *Pathobiology*. 2018;85(1-2):117-129.

Choi M, Scholl UI, Ji W, *et al*. Genetic diagnosis by whole exome capture and massively parallel DNA sequencing. *Proc Natl Acad Sci U S A*. 2009;106(45):19096-19101.

Choi Y. *et al*. Predicting the functional effect of amino acid substitutions and indels. *PLoS One*. 2012;7: e46688.

Chong JH, Zheng GG, Zhu XF, Guo Y, Wang L, Ma CH, Liu SY, Xu LL, Lin YM, Wu KF. Abnormal expression of P2X family receptors in Chinese pediatric acute leukemias. *Biochem Biophys Res Commun*. 2010;391:498-504.

Chou CK, Yang KD, Chou FF, Huang CC, Lan YW, Lee YF, Kang HY, Liu RT. Prognostic implications of miR-146b expression and its functional role in papillary thyroid carcinoma. *J Clin Endocrinol Metab*. 2013;98(2): E196-205.

Cibas ES, Ali SZ. The 2017 Bethesda System for Reporting Thyroid Cytopathology. *Thyroid*. 2017;27(11):1341-1346.

Cipriani NA, Nagar S, Kaplan SP, White MG, Antic T, Sadow PM, Aschebrook-Kilfoy B, Angelos P, Kaplan EL, Grogan RH. Follicular Thyroid Carcinoma: How Have Histologic Diagnoses Changed in the Last Half-Century and What Are the Prognostic Implications? *Thyroid*. 2015;25(11):1209-16.

DeLellis RA, Lloyd RV, Heitz PU. Pathology and Genetics: Tumors of Endocrine Organs. WHO classification of Tumors. Lyon: IARC Press; 2004.

Di Virgilio F, Adinolfi E. Extracellular purines, purinergic receptors and tumor growth. *Oncogene*. 2017; 36 (3): 293-303.

Dong C. *et al.* Comparison and integration of deleteriousness prediction methods for nonsynonymous SNVs in whole exome sequencing studies. *Hum. Mol. Genet.* . 2015;24:2125–2137.

Du R, Liu B, Zhou L, Wang D, He X, Xu X, Zhang L, Niu C, Liu S. Downregulation of annexin A3 inhibits tumor metastasis and decreases drug resistance in breast cancer. *Cell Death Dis.* 2018;9(2):126-137.

D'Cruz AK, Vaish R, Vaidya A, Nixon IJ, Williams MD, Vander Poorten V, López F, Angelos P, Shaha AR, Khafif A, Skalova A, Rinaldo A, Hunt JL, Ferlito A. *Eur Arch Otorhinolaryngol.* 2018; 275(6):1375-1384.

Esseghir S, Kennedy A, Seedhar P, Nerurkar A, Poulsom R, Reis-Filho JS, Isacke CM. Identification of NTN4, TRA1, and STC2 as prognostic markers in breast cancer in a screen for signal sequence encoding proteins. *Clin Cancer Res.* 2007; 13:3164-3173.

Eveno C, Broquieres-You D, Feron JG, Rampanou A, Tijeras-Raballand A, Ropert S, Leconte L, Levy BI & Pocard M:Netrin-4 delays colorectal cancer carcinomatosis by inhibiting tumor angiogenesis. *Am J Pathol.* 2011;178: 1861-1869.

Eveno C, Contreres JO, Hainaud P, Nemeth J, Dupuy E and Pocard M: Netrin-4 overexpression suppresses primary and metastatic colorectal tumor progression. *Oncol Rep.* 2013;29:73-78.

Fallah M, Pukkala E, Tryggvadottir L, Olsen JH, Tretli S, Sundquist K, Hemminki K. Risk of thyroid cancer in first-degree relatives of patients with non-medullary thyroid cancer by histology type and age at diagnosis: a joint study from five Nordic countries. *J Med Genet.* 2013;50(6):373-82.

Farshchian M, Kivilahti A, Ala-Aho R, Riihila P, Heljasvaara R, Kahari VM. Serpin peptidase inhibitor clade A member 1 (Serpina1) is a novel biomarker for progression of cutaneous squamous cell carcinoma. *The American journal of pathology*. 2011; 179:1110-1119.

Foaud YA, Aanei C. Revisiting the hallmarks of cancer. *Am J Cancer Res*. 2017;7(5):1016-1036.

Gandolfi G, Ragazzi M, Frasoldati A, Piana S, Ciarrocchi A, Sancisi V. TERT promoter mutations are associated with distant metastases in papillary thyroid carcinoma. *Eur J Endocrinol*. 2015;172(4):403-13.

Gara SK, Jia L, Merino MJ, Agarwal SK, Zhang L, Cam M, Patel D & Kebebew E. Germline HABP2 mutation causing familial nonmedullary thyroid cancer. *New England Journal of Medicine*. 2015;373:448-455.

Ge Y, Xu A, Zhang M, Xiong H, Fang L, Zhang X, Liu C, Wu S. FK506 binding protein 10 is overexpressed and promotes renal cell carcinoma. *Urol Int*. 2016;98(2):169-176.

Geraldo MV, Fuziwara CS, Friguglietti CU, Costa RB, Kulcsar MA, Yamashita AS, et al. MicroRNAs miR-146-5p and let-7f as prognostic tools for aggressive papillary thyroid carcinoma: a case report. *Arq Bras Endocrinol*. 2012;56(8):552-557.

He H, Bronisz A, Liyanarachchi S, Nagy R, Li W, Huang Y, Akagi K, Saji M, Kula D, Wojcicka A, et al. SRGAP1 is a candidate gene for papillary thyroid carcinoma susceptibility. *Journal of Clinical Endocrinology and Metabolism*. 2013;98:E973–E980.

He H, Nagy R, Liyanarachchi S, Jiao H, Li W, Suster S, Kere J & de la Chapelle A. A susceptibility locus for papillary thyroid carcinoma on chromosome 8q24. *Cancer Research*. 2009;69:625-631.

Howell GM, Hodak SP, Yip L. RAS mutations in thyroid cancer. *Oncologist*. 2013;18(8):926-32.

Hu Y, Ylivinkka I, Chen P, Li L, Hautaniemi S, Nyman TA, Keski-Oja J, Hytytainen M. Netrin-4 promotes glioblastoma cell proliferation through integrin beta4 signaling. *Neoplasia*. 2012;

14:219–227. Human I. *et al.* Initial sequencing and analysis of the human genome. *Nature*. 2001; 409(6822):860-921.

INCA. Instituto Nacional de Câncer José Alencar Gomes da Silva. Estimativa 2018: incidência de câncer no Brasil / Instituto Nacional de Câncer José Alencar Gomes da Silva. Rio de Janeiro: INCA; 2017.

Insilla AC, Proietti A, Borrelli N, *et al.* TERT promoter mutations and their correlation with BRAF and RAS mutations in a consecutive cohort of 145 thyroid cancer cases. *Oncol Lett*. 2017;15(3):2763-2770.

Ito Y, Hirokawa M, Higashiyama T, Takamura Y, Miya A, Kobayashi K, *et al.* Prognosis and prognostic factors of follicular carcinoma in Japan: importance of postoperative pathological examination. *World J Surg*. 2007;31:1417-1424.

Junqueira LC, Carneiro J, Abrahamsohn P. Histologia básica: texto e atlas. 13. ed. Rio de Janeiro: Guanabara Koogan; 2017.

Jackson IL., Zhang Y, Bentzen SM, Hu J, Zhang A, Vujaskovic Z. Pathophysiological mechanisms underlying phenotypic differences in pulmonary radioresponse. *Sci Rep*. 2016;7:46782.

Jayachandran A, Prithviraj P, Lo P-H, *et al.* Identifying and targeting determinants of melanoma cellular invasion. *Oncotarget*. 2016;7(27):41186-41202.

Jung, E. J. *et al.* Decreased annexin A3 expression correlates with tumor progression in papillary thyroid cancer. *Proteom. Clin. Appl.* 2010;4:528–537.

Katoh M, Katoh M. Transcriptional mechanisms of WNT5A based on NF-kappaB, Hedgehog, TGFbeta, and Notch signaling cascades. *Int J Mol Med*. 2009;23:763-769.

Katoh H, Yamashita K, Enomoto T, Watanabe M. Classification and general considerations of thyroid cancer. *Ann. Clin. Pathol.* 2015;3:1045.

Khanafshar E, Lloyd RV. The spectrum of papillary thyroid carcinoma variants. *Adv Anat Pathol.* 2011;18(1):90-97.

Kim HJ, Hong YB, Park JM, *et al.* Mutations in the PLEKHG5 gene is relevant with autosomal recessive intermediate Charcot-Marie-Tooth disease. *Orphanet J Rare Dis.* 2013;8:104.

Kitahara CM, Sosa JA. The changing incidence of thyroid cancer. *Nat Rev Endocrinol.* 2016;12(11):646-653.

Kollermann J, *et al.* Expression and prognostic relevance of annexin A3 in prostate cancer. *Eur. Urol.* 2008;54:1314-1323.

Kwon CH, Park HJ, Choi JH *et al.* Snail and serpinA1 promote tumor progression and predict prognosis in colorectal cancer. *Oncotarget.* 2015;6(24):20312-20326.

Lahiri DK, Nurnberger JI Jr. A rapid non-enzymatic method for the preparation of HMW DNA from blood for RFLP studies. *Nucleic Acids Res.* 1991;19(19):5444.

Lambert E, Coissieux MM, Laudet V, Mehlen P. Netrin-4 acts as a pro-angiogenic factor during zebrafish development. *The Journal of biological chemistry.* 2012; 287:3987-3999.

Latil A, Chene L, Cochant-Priollet B, Mangin P, Fournier G, Berthon P, Cussenot O. Quantification of expression of netrins, slits and their receptors in human prostate tumors. *Int J Cancer.* 2003;103:306-315.

La Vecchia C, Negri E. The thyroid cancer epidemic: overdiagnosis or a real increase? *Nat Rev Endocrinol.* 2017;13(6):318-319.

Liu YF, *et al.* Quantitative proteomic analysis of metastasis-associated proteins in human primary lung adenocarcinoma. *Prog. Biochem. Biophys.* 2009;36:448-457.

Liu Y, *et al.* Rare Variants in Known Susceptibility Loci and Their Contribution to Risk of Lung Cancer. *Journal of Thoracic Oncology.* Epub ahead of print. 2018.Liu R, Xing M. TERT promoter mutations in thyroid cancer. *Endocr Relat Cancer.* 2016;23(3):R143-55.

Livhits MJ, Yeah MW. Patient Age Is Associated with Papillary Thyroid Cancer Mortality Only in Patients with BRAF V600E Mutation. *Clin Thyroidol* 2018;30:53-55.

Lv B, Song C, Wu L, *et al.* Netrin-4 as a biomarker promotes cell proliferation and invasion in gastric cancer. *Oncotarget*. 2014;6(12):9794-9806.

Matta J, Morales L, Dutil J, Bayona M, Alvarez C, Suarez E. Differential expression of DNA repair genes in Hispanic women with breast cancer. *Mol Cancer Biol*. 2013;1(1):54.

Maystadt I, Rezsohazy R, Barkats M, Duque S, Vannuffel P, Remacle S, Lambert B, Najimi M, Sokal E, Munnich A, *et al.* The nuclear factor kappaB-activator gene PLEKHG5 is mutated in a form of autosomal recessive lower motor neuron disease with childhood onset, Am. J. Hum. Genet. 2007;81:67-76.

McKay J, Williamson J, Lesueur F, Stark M, Duffield A, Canzian F, Romeo G & Hoffman L. At least three genes account for familial papillary thyroid carcinoma: TCO and MNG1 excluded as susceptibility loci from a large Tasmanian family. *European Journal of Endocrinology*. 1999;141:122-125.

Moore KL. Anatomia orientada para a clínica. 7. ed. Rio de Janeiro: Guanabara Koogan, 2014.

Nacht M, St Martin TB, Byrne A, Klinger KW, Teicher BA, Madden SL, Jiang Y. Netrin-4 regulates angiogenic responses and tumor cell growth. *Exp Cell Res*. 2009; 315:784-794.

Namba H, Rubin SA, Fagin JA. Point mutations of ras oncogenes are an early event in thyroid tumorigenesis. *Mol Endocrinol*. 1990;4:1474-1479.

Ng, P. C. *et al.* Genetic variation in an individual human exome. *PLoS genetics*. 2008;4(8): e1000160.

Nagaiah G, Hossain A, Mooney CJ, Parmentier J, Remick SC. Anaplastic thyroid cancer: a review of epidemiology, pathogenesis, and treatment. *J Oncol*. 2011; 2011:542358.

Ngan ESW, Lang BHH, Liu T, Shum CKY, So M-T, Lau DKC, Leon TYY, Cherny SS, Tsai SY, Lo C-Y, *et al.* A germline mutation (A339V) in thyroid transcription factor-1 (TITF-

1/NKX2.1) in patients with multinodular goiter and papillary thyroid carcinoma. Journal of the National Cancer Institute. 2009;101:162-175.

Nikiforov *et al.* Nomenclature revision for encapsulated follicular variant of papillary thyroid carcinoma: a paradigm shift to reduce overtreatment of indolent tumors. JAMA Oncol. 2016; 2(8):1023-1029.

Nikiforova MN, Wald AI, Roy S, Durso MB, Nikiforov YE. Targeted next-generation sequencing panel (ThyroSeq) for detection of mutations in thyroid cancer. J Clin Endocrinol Metab. 2013;98(11):E1852-1860.

Nose V. Familial thyroid cancer: a review. Mod Pathol. 2011;Suppl 2:S19-33.

Olesen, *et al.* Human FK506 binding protein 65 is associated with colorectal cancer. Mol Cell Proteomics. 2005; 4 (4): 534-44.

Pallante P, Visone R, Ferracin M, *et al.* MicroRNA deregulation in human thyroid papillary carcinomas. Endocr Relat Cancer. 2006;13(2):497-508.

Pan QZ, et al. Annexin A3 promotes tumorigenesis and resistance to chemotherapy in hepatocellular carcinoma. Mol. Carcinog. 2015;54: 598–607.

Maia AL, Siqueira DR, Kulcsar MAV, Tincani, AJ, Mazeto GMFS, Maciel LM Z. Diagnóstico, tratamento e seguimento do carcinoma medular de tireoide: recomendações do Departamento de Tireoide da Sociedade Brasileira de Endocrinologia e Metabologia. Arquivos Brasileiros de Endocrinologia & Metabologia.2014;58(7):667-700.

Pereira J, da Silva J, Tomaz R, Pinto A, Bugalho M, Leite V & Cavaco B. Identification of a novel germline FOXE1 variant in patients with familial non-medullary thyroid carcinoma (FNMT). Endocrine.2015;49:204-214.

Peres KC. Estudo do papel de TGF- β no carcinoma diferenciado da tireoide. (Dissertação De Mestrado). Campinas: Universidade Estadual de Campinas; 2018.

Pinheiro M, Drigo SA, Tonhosolo R, *et al.* HABP2 p.G534E variant in patients with family history of thyroid and breast cancer. *Oncotarget*. 2017;8(25):40896-40905.

Porto CC. *Semiologia Médica*. 7. ed. Rio de Janeiro: Guanabara Koogan; 2014.

Quinn, *et al.* FKBP10/FKBP65 expression in high-grade ovarian serous carcinoma and its association with patient outcome. *International Journal of oncology*. 2013;43(3): 912-920.

Ramadori G, Konstantinidou G, Venkateswaran N, Biscotti T, Morlock L, Galié M, Williams N, Luchetti M, Santinelli A, Scaglioni PP, Coppari R. Diet-induced unresolved ER stress hinders KRAS-driven lung tumorigenesis. *Cell Metab*. 2015;6(1):117-25.

Raman P, Koenig RJ. Pax-8–PPAR- γ fusion protein in thyroid carcinoma. *Nat. Rev. Endocrinol.* 2014;10(10):616-623.

Ren H, Shen Y, Hu D, *et al.* Co-existence of BRAF V600E and TERT promoter mutations in papillary thyroid carcinoma is associated with tumor aggressiveness, but not with lymph node metastasis. *Cancer Manag Res*. 2018;10:1005-1013. Rahbari R, Zhang L, Kebebew E. Thyroid cancer gender disparity. *Future Oncol*. 2010;6(11):1771-1779.

Richards S, Aziz N, Bale S, *et al.* Standards and guidelines for the interpretation of sequence variants: a joint consensus recommendation of the American College of Medical Genetics and Genomics and the Association for Molecular Pathology. *Genet Med*. 2015;17(5):405-424.

Romano, *et al.* Pleiotropic roles in cancer biology for multifaceted proteins FKBP. *Biochim Biophys Acta*. 2015;1850(10):2061-2068.

Ruiz-Ferrer M, Fernández RM, Navarro E, Antiñolo G, Borrego S. G534E Variant in HABP2 and nonmedullary thyroid cancer. *Thyroid*. 2016; 26:987-988.

Sanger F, Coulson AR. A rapid method for determining sequences in DNA by primed synthesis with DNA polymerase. *J Mol Biol*. 1975;94(3):441-448.

Schwarze K, Buchanan J, Taylor JC, Wordsworth S. Are whole-exome and whole-genome sequencing approaches cost-effective? A systematic review of the literature. Genet Med. 2018; 20(10):1122-1130.

Sciavolino PJ. NTRK Fusions in Papillary Thyroid Cancer: Expanding Targetable Treatment Options. Target. Oncol. 2016.

Seok AY, Hyun JA, Younghye YC, Yeon KS. Annals of Diagnostic Pathology Nuclear features of papillary thyroid carcinoma: Comparison of Core needle biopsy and thyroidectomy specimens. 2018; 32:35-40

Sterle I, Zupančič D, Romih R. Correlation between urothelial differentiation and sensory proteins P2X3, P2X5, TRPV1, and TRPV4 in normal urothelium and papillary carcinoma of human bladder. Biomed. Res. Int. 2014;1-9.

Suh I, Filetti S, Vriens MR, Guerrero MA, Tumino S, Wong M, Shen WT, Kebebew E, Duh Q-Y & Clark OH. Distinct loci on chromosome 1q21 and 6q22 predispose to familial nonmedullary thyroid cancer: a SNP array-based linkage analysis of 38 families. Surgery. 2009; 146:1073-1080.

Takano T. Fetal cell carcinogenesis of the thyroid: a modified theory based on recent evidence. Endocr J. 2014; 61:311-320.

Tomsic JHH, Akagi K, *et al.* A germline mutation in SRRM2, a splicing factor gene, is implicated in papillary thyroid carcinoma predisposition. Scientific Reports. 2015;5:10566.

Tomsic JHH, Chapelle A. HABP2 Mutation and nonmedullary thyroid cancer. New England Journal of Medicine. 2015;373:2086.

Tomsic J, Fultz R, Liyanarachchi S, He H, Senter L, de la Chapelle A. HABP2 G534E variant in papillary thyroid carcinoma. PLoS ONE. 2016;11:e0146315.

Tuttle RM, Haugen B, Perrier ND. Updated American Joint Committee on Cancer/Tumor-Node-Metastasis Staging System for Differentiated and Anaplastic Thyroid Cancer (Eighth Edition): What Changed and Why? Thyroid. 2017;27(6):751-756.

Tomlins *et al.*, Recurrent fusion of TMPRSS2 and ETS transcription factor genes in prostate cancer. *Science*. 2005;310(5748):644-648.

Valerio L, Pieruzzi L, Giani C, Agate L, Bottici V, Lorusso L, Cappagli V, Puleo L, Matrone A, Viola D, Romei C, Ciampi R, Molinaro E, Elisei R. Targeted Therapy in Thyroid Cancer: State of the Art. *Clin Oncol (R Coll Radiol)*. 2017;29(5):316-324.

Vierlinger K, Mansfeld MH, Koperek O, Nohammer C, Kaserer K, Leisch F. Identification of SERPINA1 as single marker for papillary thyroid carcinoma through microarray meta analysis and quantification of its discriminatory power in independent validation. *BMC medical genomics*. 2011;4:30.

Villanueva, Andrea A.; Sofía Puvogel, Pablo Lois, Ernesto Muñoz-Palma, Manuel Ramírez Orellana, Fabiana Lubieniecki, Fernando Casco Claro, Iván Gallegos, Javier García-Castro, Pilar Sanchez-Gomez, Vicente A. Torres & Verónica Palma (2018) The Netrin-4/Laminin γ 1/Neogenin-1 complex mediates migration in SK-N-SH neuroblastoma cells. *Cell Adh Migr*. 2018;30:1-8.

Wajchenberg BL, Lerario AC, Betti RTB. Tratado de endocrinologia clínica. 2. ed. São Paulo: AC Farnacêutica; 2014.

Wang X, Cheng W, Li J, Su A, Wei T, Liu F, Zhu J. Endocrine tumours: familial nonmedullary thyroid carcinoma is a more aggressive disease: a systematic review and meta-analysis. *Eur J Endocrinol*. 2015;172(6):R253-262.

Weeks AL, Wilson SG, Ward L, Goldblatt J, Hui J, Walsh JP. HABP2 germline variants are uncommon in familial nonmedullary thyroid cancer. *BMC Med Genet*. 2016;17(1):60.

Xing M. Molecular pathogenesis and mechanisms of thyroid cancer. *Nat Rev Cancer*. 2013;13(3):184-99.

Xing M, Liu R, Liu X, Murugan AK, Zhu G, Zeiger MA, Pai S, Bishop J. BRAF V600E and TERT promoter mutations cooperatively identify the most aggressive papillary thyroid cancer with highest recurrence. *J Clin Oncol*. 2014; 32:2718–2726.

Xu X, Yan Q, Wang Y, *et al.* NTN4 is associated with breast cancer metastasis via regulation of EMT-related biomarkers. *Oncol Rep.* 2017;37:449-457

Yadav SS, Narayan G. Role of ROBO4 signalling in developmental and pathological angiogenesis. *Biomed Res Int.* 2014;1-9

Yan, X. et al. Increased expression of annexin A3 is a mechanism of platinum resistance in ovarian cancer. *Cancer Res.* 2010;70:1616-1624.

Yang S, Ngeow J. Familial non-medullary thyroid cancer: unraveling the genetic maze. *Endocrine-Related Cancer.* 2016;23(12):R577-R595.

Ye F, Gao H, Xiao L, Zuo Z, Liu Y, Zhao Q, Chen H, Feng W, Fu B, Sun L, Jiang X, He D, Jiang H, Yang M, Li L, Chen F, Liu X, Li S, Li Z, Jiang Y, Cheng L, Bu H. Whole exome and target sequencing identifies MAP2K5 as novel susceptibility gene for familial non-medullary thyroid carcinoma. *Int J Cancer.* 2019;144(6):1321-1330.

Zannini M, Avantaggiato V, Biffali E, *et al.* TTF-2, a new forkhead protein, shows a temporal expression in the developing thyroid which is consistent with a role in controlling the onset of differentiation. *EMBO J.* 1997;16(11):3185-3197.

Zhang T, Xing M. HABP2 G534E Mutation in Familial Nonmedullary Thyroid Cancer. *J Natl Cancer Inst.* 2016;108(6):djv415.

Zhang J, Zheng F, Yu G, Yin Y, Lu Q. miR-196a targets netrin 4 and regulates cell proliferation and migration of cervical cancer cells. *Biochem Biophys Res Commun.* 2013;440:582-588.

Zhao X, Li X, Zhang X. HABP2 Mutation and Nonmedullary Thyroid Cancer. *N Engl J Med.* 2015;373(21):2084.

Zhou T, Li Y, Yang L, *et al.* Silencing of ANXA3 expression by RNA interference inhibits the proliferation and invasion of breast cancer cells. *Oncol Rep.* 2017;37:388-98.

Zou M, Baitei EY, Alzahrani AS, BinHumaid FS, Alkhafaji D, Al-Rijjal RA, Meyer BF, Shi Y. Concomitant RAS, RET/PTC, or BRAF mutations in advanced stage of papillary thyroid carcinoma. *Thyroid*. 2014; 24(8):1256-1266.

7 APÊNDICE

Tabela suplementar 1: Mutações de mudança da matriz de leitura (*frameshift*), sem sentido (*nonsense*), de sentido trocado (*missense*), e inserções ou deleções que não provocam alteração na matriz de leitura (*in-frame*) identificadas no indivíduo X.X da Família A pelo programa *Ingenuity Variant AnalysisTM*

Cr.	Posição	Gene	N Ensembl	Alteração na sequência proteica	Alteração na sequência codificadora	Tipo de mutação
1	16532498	<i>ARHGEF19</i>	ENSG00000142632	p.P460L	gGt/gAt	<i>missense</i>
1	57422484	<i>C8B</i>	ENSG0000021852	p.G55R; p.G65R; p.R65R; p.G117R	Gga/Aga	<i>missense</i>
1	40533347	<i>CAPI</i>	ENSG00000131236	p.S256A; p.S255A	Tca/Aca	<i>missense</i>
1	223813586	<i>CAPN8</i>	ENSG00000203697	p.S245Y	tCc/tAc	<i>missense</i>
1	15812432	<i>CELA2B</i>	ENSG00000215704	p.Q177R	cAg/cGg	<i>missense</i>
1	109912606	<i>CELSR2</i>	ENSG00000143126	p.T238T	Acc/Gcc	<i>missense</i>
1	150940625	<i>CERS2</i>	ENSG00000143418	p.E106A; p.E115A	gAg/gCg	<i>missense</i>
1	86900372	<i>CLCA2</i>	ENSG00000137975	p.Q306E	Cag/Gag	<i>missense</i>
1	207851554	<i>CRIL</i>	ENSG00000197721	p.R97C	Cgt/Tgt	<i>missense</i>
1	110466709	<i>CSFI</i>	ENSG00000184371	p.F191S; p.F489S; p.F373S	tTe/tCc	<i>missense</i>
1	100672060	<i>DBT</i>	ENSG00000137992	p.S384G	Agt/Ggt	<i>missense</i>
1	1271576	<i>DVL1</i>	ENSG00000107404	p.Q653H; p.Q678H; p.Q427H	caG/caC	<i>missense</i>
1	169484767	<i>F5</i>	ENSG00000198734	p.M2148T; p.M2153T	aTg/aCg	<i>missense</i>
1	169519049	<i>F5</i>	ENSG00000198734	p.Q534R	cGa/cAa	<i>missense</i>
1	161599693	<i>FCGR3B</i>	ENSG00000162747	p.N48S; p.N100S; p.N101S; p.N65S	aaAt/aGt	<i>missense</i>
1	240255569	<i>FMN2</i>	ENSG00000155816	p.G59del	ggccc/ggc	<i>in-frame</i>
1	156565049	<i>GPATCH4</i>	ENSG00000160818	p.F362fs?; p.F357fs?	acT/acCGT	<i>frameshift</i>
1	236717926	<i>HEATR1</i>	ENSG00000119285	p.E1936G; p.E2017G	gAa/gGa	<i>missense</i>
1	91859795	<i>HFM1</i>	ENSG00000162669	p.I117V	Att/Gtt	<i>missense</i>
1	22191454	<i>HSPG2</i>	ENSG00000142798	p.A1503V; p.A1504V	gCg/gTg	<i>missense</i>
1	22200473	<i>HSPG2</i>	ENSG00000142798	p.G1230S; p.G1231S	Ggc/Agc	<i>missense</i>
1	156526387	<i>IQGAP3</i>	ENSG00000183856	p.V410L	Gtg/Ctg	<i>missense</i>
1	156526444	<i>IQGAP3</i>	ENSG00000183856	p.R391G	Aga/Gga	<i>missense</i>
1	27278521	<i>KDF1</i>	ENSG00000175707	p.T78I	acA/aTt	<i>missense</i>
1	152681680	<i>LCE4A</i>	ENSG00000187170	p.C48_G49insCSSGGC	TGT/TGCTGTAGCTGGGGCTGT	<i>in-frame</i>
1	153233488	<i>LOR</i>	ENSG00000203782	p.G27_G28dupGG	C/CGCCGGT	<i>in-frame</i>
1	46493460	<i>MAST2</i>	ENSG00000086015	p.I659M; p.I505M; p.I666M; p.I297M	atT/atG	<i>missense</i>
1	93580581	<i>MTF2</i>	ENSG00000143033	p.C140S; p.C38S	tCc/tGc	<i>missense</i>
1	1684347	<i>NADK</i>	ENSG0000008130	p.E358dup; p.E445dup; p.E590dup; p.E413dup	C/CCCT	<i>in-frame</i>
1	183532580	<i>NCF2</i>	ENSG00000116701	p.H389Q; p.H308Q; p.H344Q	caG/caT	<i>missense</i>
1	888659	<i>NOC2L</i>	ENSG00000188976	p.I300V	Atc/Gtc	<i>missense</i>
1	145281408	<i>NOTCH2NL; AC239799.1</i>	ENSG00000270629	p.P113L	cTt/cCt	<i>missense</i>
1	145281543	<i>NOTCH2NL; AC239799.1</i>	ENSG00000270629	p.T158I	aCc/aTc	<i>missense</i>
1	145281633	<i>NOTCH2NL; AC239799.1</i>	ENSG00000270629	p.P188H	cCc/cAc	<i>missense</i>
1	248059779	<i>OR2W3</i>	ENSG00000238243	p.A300fs?	G/GA	<i>frameshift</i>
1	43223489	<i>P3H1</i>	ENSG00000117385	p.G349R	Gga/Aga	<i>missense</i>
1	62330080	<i>PATJ</i>	ENSG00000132849	p.I870M	atT/atG	<i>missense</i>
1	154918547	<i>PBXIPI</i>	ENSG00000163346	p.R535*; p.R506*; p.R380*	Cga/Tga	<i>nonsense: stop gain</i>
1	144866643	<i>PDE4DIP</i>	ENSG00000178104	p.R1760C; p.R1761C; p.R1952C; p.R2003C; p.R1867C; p.R2004C; p.R1933C; p.R2029C	Cgc/Tgc	<i>missense</i>
1	120285546	<i>PHGDH</i>	ENSG00000092621	p.A399T	Gcc/Acc	<i>missense</i>
1	182554557	<i>RNASEL</i>	ENSG00000135828	p.R462Q	cGa/cAa	<i>missense</i>

Tabela suplementar 1: continuação (...)

Cr.	Posição	Gene	N Ensembl	Alteração na sequência proteica	Alteração na sequência codificadora	Tipo de mutação
1	31905889	SERINC2	ENSG00000168528	p.Q372dup; p.Q368dup; p.Q377dup; p.Q313dup	A/ACAG	in-frame
1	245927360	SMYD3	ENSG00000185420	p.M331V; p.M390V	Atg/Gtg	missense
1	85009894	SPATA1	ENSG00000122432	p.K265E	Aaa/Gaa	missense
1	16260803	SPEN	ENSG00000065526	p.V2690M	Gtg/Atg	missense
1	158615292	SPTA1	ENSG00000163554	p.R1330I	aGa/aTa	missense
1	33161212	SYNC	ENSG00000162520	p.V163M; p.M163V	Atg/Gtg	missense
1	1269554	TASIR3	ENSG00000169962	p.C757R	Tgc/Cgc	missense
1	223283910	TLR5	ENSG00000187554	p.F822L	Ctc/Ttc	missense
1	12175729	TNFRSF8	ENSG00000120949	p.R186C; p.R297C	Tgt/Cgt	missense
1	186316488	TPR	ENSG00000047410	p.S960N	aGc/aAc	missense
1	216348764	USH2A	ENSG00000042781	p.R1486K	aGg/aAg	missense
1	55541174	USP24	ENSG00000162402	p.V2468A	gTa/gCa	missense
1	55638075	USP24	ENSG00000162402	p.T226I	aCt/aTt	missense
1	116226658	VANGL1	ENSG00000173218	p.E345A; p.E347A	gAg/gCg	missense
2	69741854	AAK1	ENSG00000115977	p.K509Q	Caa/Aaa	missense
2	100343557	AFF3	ENSG00000144218	p.S358N; p.S383N	aAt/aGt	missense
2	73675227	ALMS1	ENSG00000116127	p.S482_L483insP; p.S524_L525insP	T/TCTC	in-frame
2	73675669	ALMS1	ENSG00000116127	p.V629G; p.V671G; p.V673G	gTa/gGa	missense
2	73716810	ALMS1	ENSG00000116127	p.S2576N; p.S2532N; p.S2574N	aGt/aAt	missense
2	73717103	ALMS1	ENSG00000116127	p.D2674H; p.D2630H; p.D2672H	Gat/Cat	missense
2	73828538	ALMS1	ENSG00000116127	p.R4031K; p.R4029K; p.R3987K	aGg/aAg	missense
2	21231524	APOB	ENSG00000084674	p.P2739L	cCa/cTa	missense
2	21232803	APOB	ENSG00000084674	p.I2313V	Att/Gtt	missense
2	21235475	APOB	ENSG00000084674	p.Y1422C	tAt/tGt	missense
2	21250914	APOB	ENSG00000084674	p.A618V	gCt/gTt	missense
2	71163086	ATP6VIB1	ENSG00000116039	p.M1T	aTg/aCg	start loss
2	32667182	BIRC6	ENSG00000115760	p.V1332L	Gtt/Ctt	missense
2	220405321	CHPF	ENSG00000123989	p.Q371R; p.Q209R	cAa/cGa	missense
2	189863424	COL3A1	ENSG00000168542	p.P668T	Cct/Act	missense
2	189875421	COL3A1	ENSG00000168542	p.H1050Q; p.H1353Q	caT/caG	missense
2	116525960	DPP10	ENSG00000175497	p.V401I; p.V405I	Gta/Ata	missense
2	55056572	EML6	ENSG00000214595	p.I269V	Atc/Gtc	missense
2	187626996	FAM171B	ENSG00000144369	p.M643V	Atg/Gtg	missense
2	216235089	FN1	ENSG00000115414	p.V2080I; p.V2170I; p.V2024I; p.V2051I; p.V2261I; p.V2230I	Gtc/Atc	missense
2	216272900	FN1	ENSG00000115414	p.T817P	Acg/Ccg	missense
2	241569447	GPR35	ENSG00000178623	p.Y26*; p.Y57*	taC/taG	nonsense: stop gain
2	242203916	HDLBP	ENSG00000115677	p.S97A; p.S61A	Tct/Gct	missense
2	129075877	HS6ST1	ENSG00000136720	p.D87E	gaC/gaA	missense
2	187466845	ITGA9	ENSG00000138448	p.R95C; p.R49C	Cgc/Tgc	missense
2	170003432	LRP2	ENSG00000081479	p.I4210L	Atc/Ctc	missense

Tabela suplementar 1: continuação (...)

Cr.	Posição	Gene	N Ensembl	Alteração na sequência proteica	Alteração na sequência codificadora	Tipo de mutação
2	33585796	<i>LTP1</i>	ENSG0000049323	p.V1052A; p.V1010A; p.V1378A; p.V997A	gTg/gCg	<i>missense</i>
2	202557702	<i>MPP4</i>	ENSG0000082126	p.G44S	Ggc/Agc	<i>missense</i>
2	47739551	<i>MSH2</i>	ENSG0000095002	p.Q915R	cAa/cGa	<i>missense</i>
2	152531077	<i>NEB</i>	ENSG00000183091	p.Y1301H	Tat/Cat	<i>missense</i>
2	152536498	<i>NEB</i>	ENSG00000183091	p.K1027N	aaA/aaT	<i>missense</i>
2	206581033	<i>NRP2</i>	ENSG00000118257	p.R123K	aGg/aAg	<i>missense</i>
2	220417266	<i>OBSL1</i>	ENSG00000124006	p.R1767Q; p.R1675Q	cGg/cAa	<i>missense</i>
2	220421417	<i>OBSL1</i>	ENSG00000124006	p.E1273D; p.E1365D	gaG/gaC	<i>missense</i>
2	198950240	<i>PLCL1</i>	ENSG00000115896	p.V667I		<i>missense</i>
2	179309165	<i>PRKRA</i>	ENSG00000180228	p.P14L; p.P102L; p.P116L; p.P127L	cTt/cCt	<i>missense</i>
2	20403794	<i>SDCI</i>	ENSG00000115884	p.L136Q	Gta/Ata	<i>missense</i>
2	231865090	<i>SPATA3</i>	ENSG00000173699	p.I93T; p.I104T	aTvaCt	<i>missense</i>
2	228855866	<i>SPHKAP</i>	ENSG00000153820	p.S1603R; p.S1574R	agC/agG	<i>missense</i>
2	10045024	<i>TAF1B</i>	ENSG00000115750	p.V282I	GTA/ATA	<i>missense</i>
2	179650408	<i>TTN</i>	ENSG00000155657	p.T811I; p.T765I	aCa/aTa	<i>missense</i>
2	219319657	<i>USP37</i>	ENSG00000135913	p.L979S; p.L885S	tTg/tCg	<i>missense</i>
2	185802211	<i>ZNF804A</i>	ENSG00000170396	p.T697dup	C/CACA	<i>in-frame</i>
3	186338564	<i>AHSG</i>	ENSG00000145192	p.R318C; p.R317C; p.R316C; p.R289C	Cgc/Tgc	<i>missense</i>
3	122003832	<i>CASR</i>	ENSG0000036828	p.E934Q; p.E1011Q; p.E1021Q	Gag/Cag	<i>missense</i>
3	121825197	<i>CD86</i>	ENSG00000114013	p.V179I; p.V103I; p.V185I; p.V73I	Gtt/Att	<i>missense</i>
3	9908935	<i>CIDEc</i>	ENSG00000187288	p.R85C	Cgt/Tgt	<i>missense</i>
3	122044169	<i>CSTA</i>	ENSG00000121552	p.K10N	aaA/aaC	<i>missense</i>
3	58183636	<i>DNASEIL3</i>	ENSG00000163687	p.R176C; p.R206C	Cgc/Tgc	<i>missense</i>
3	58109162	<i>FLNB</i>	ENSG00000136068	p.D1157N; p.D988N	Gac/Aac	<i>missense</i>
3	69230061	<i>FRMD4B</i>	ENSG00000114541	p.S947L; p.S599L	tCg/tFg	<i>missense</i>
3	69245454	<i>FRMD4B</i>	ENSG00000114541	p.T48A; p.T396A	Acg/Gcg	<i>missense</i>
3	46007846	<i>FYCO1</i>	ENSG00000163820	p.E994K	Gag/Aag	<i>missense</i>
3	46008983	<i>FYCO1</i>	ENSG00000163820	p.R615W	Cgg/Tgg	<i>missense</i>
3	81643167	<i>GBE1</i>	ENSG00000114480	p.I334V; p.I293V	Att/Gtt	<i>missense</i>
3	33055721	<i>GLBI</i>	ENSG00000170266	p.C521R; p.C491R; p.C390R	Tgc/Cgc	<i>missense</i>
3	14547182	<i>GRIP2</i>	ENSG00000144596	p.P935L; p.P838L; p.P843L	cTt/cCt	<i>missense</i>
3	14551444	<i>GRIP2</i>	ENSG00000144596	p.V751A; p.V659A; p.V654A	gTt/gCt	<i>missense</i>
3	14555216	<i>GRIP2</i>	ENSG00000144596	p.H532R; p.H537R; p.H629R	gTg/gCg	<i>missense</i>
3	14555811	<i>GRIP2</i>	ENSG00000144596	p.V499A; p.V591A; p.V494A	cAc/cGc	<i>missense</i>
3	10264480	<i>IRAK2</i>	ENSG00000134070	p.L392V	Ctg/Gtg	<i>missense</i>
3	119434527	<i>MAATS1</i>	ENSG00000183833	p.P81A; p.P187A; p.P207A; p.A207P; p.P145A	Cca/Gca	<i>missense</i>
3	182925404	<i>MCF2L2</i>	ENSG0000053524	p.T902A	Acc/Gcc	<i>missense</i>
3	183017858	<i>MCF2L2</i>	ENSG0000053524	p.N414D	Aat/Gat	<i>missense</i>
3	179096508	<i>MFN1</i>	ENSG00000171109	p.P523R	cCt/cGt	<i>missense</i>
3	124646705	<i>MUC13</i>	ENSG00000173702	p.P61_F62insS	A/AAAG	<i>in-frame</i>
3	195489009	<i>MUC4</i>	ENSG00000145113	p.A482S; p.A4769S; p.A585S; p.A534S	Agt/Cgt	<i>missense</i>

Tabela suplementar 1: continuação (...)

Cr.	Posição	Gene	N Ensembl	Alteração na sequência proteica	Alteração na sequência codificadora	Tipo de mutação
3	175345143	<i>NAALADL2</i>	ENSG00000177694	p.P622R	cCc/cGc	<i>missense</i>
3	67579602	<i>SUCLG2</i>	ENSG00000172340	p.E79K	Gaa/Aaa	<i>missense</i>
3	12192751	<i>SYN2</i>	ENSG00000157152	p.R233C	Cgt/Tgt	<i>missense</i>
3	12229015	<i>SYN2</i>	ENSG00000157152	p.H505R	cAt/cGt	<i>missense</i>
3	12232074	<i>SYN2</i>	ENSG00000157152	p.R566G	Aga/Gga	<i>missense</i>
3	133485133	<i>TF</i>	ENSG00000091513	p.I448V	Ata/Gta	<i>missense</i>
3	167068256	<i>ZBBX</i>	ENSG00000169064	p.K160N; p.K131N	aaa/aaT	<i>missense</i>
4	7802227	<i>AFAP1</i>	ENSG00000196526	p.S403C	tCt/tGt	<i>missense</i>
4	79525488	<i>ANXA3</i>	ENSG00000138772	p.D244N; p.D283N	Gat/Aat	<i>missense</i>
4	102839287	<i>BANK1</i>	ENSG00000153064	p.A353T; p.A383T; p.A368T; p.A250T	Gca/Aca	<i>missense</i>
4	102965043	<i>BANK1</i>	ENSG00000153064	p.C620R; p.C650R; p.C635R; p.C517R	Tgt/Cgt	<i>missense</i>
4	81967188	<i>BMP3</i>	ENSG00000152785	p.L205F	Ctc/Ttc	<i>missense</i>
4	122742217	<i>CCNA2</i>	ENSG00000145386	p.I163V	Ata/Gta	<i>missense</i>
4	187542755	<i>FAT1</i>	ENSG00000083857	p.N1664S; p.N1662S	aAc/aGc	<i>missense</i>
4	89385130	<i>HERC5</i>	ENSG00000138646	p.C302S	tGt/tCt	<i>missense</i>
4	3109095	<i>HTT</i>	ENSG00000197386	p.A231V; p.A233V	gCt/gTt	<i>missense</i>
4	3215835	<i>HTT</i>	ENSG00000197386	p.Y2309H; p.Y2311H	Tac/Cac	<i>missense</i>
4	3234980	<i>HTT</i>	ENSG00000197386	p.V2788I; p.V2786I	Gtc/Atc	<i>missense</i>
4	187179210	<i>KLKB1</i>	ENSG00000164344	p.W503R	Tgg/Cgg	<i>missense</i>
4	178281754	<i>NEIL3</i>	ENSG00000109674	p.G520R	Ggg/Agg	<i>missense</i>
4	135121066	<i>PABPC4L</i>	ENSG00000254535	p.H370P; p.H428P	cAc/cCc	<i>missense</i>
4	135121601	<i>PABPC4L</i>	ENSG00000254535	p.V250I; p.V192I	Gtt/Att	<i>missense</i>
4	95539267	<i>PDLIM5</i>	ENSG00000163110	p.A242T; p.A374T; p.A20T; p.A236T; p.A345T	Gct/Act	
4	187004074	<i>TLR3</i>	ENSG00000164342	p.L135F; p.L412F	Ctc/Ttc	<i>missense</i>
4	115589302	<i>UGT8</i>	ENSG00000174607	p.I368M	atA/atG	<i>missense</i>
4	76720885	<i>USO1</i>	ENSG00000138768	p.L522P; p.L533P; p.S471P; p.S482P	ttT/ttC	<i>missense</i>
5	156918850	<i>ADAM19</i>	ENSG00000135074	p.G660D	gGc/gAc	<i>missense</i>
5	148206473	<i>ADRB2</i>	ENSG00000169252	p.Q27E; p.E27Q	Gaa/Caa	<i>missense</i>
5	77523335	<i>AP3B1</i>	ENSG00000132842	p.A84S; p.A133S	Agt/Cgt	<i>missense</i>
5	40955561	<i>C7</i>	ENSG00000112936	p.S389T	aGt/aCt	<i>missense</i>
5	110820136	<i>CAMK4</i>	ENSG00000152495	p.Q268R; p.Q465R	cAa/cGa	<i>missense</i>
5	86695274	<i>CCNH</i>	ENSG00000134480	p.V196A; p.V270A; p.V217A	gTt/gCt	<i>missense</i>
5	156747669	<i>CYFIP2</i>	ENSG00000055163	p.Y374C; p.Y510C	tAt/tGt	<i>missense</i>
5	176885178	<i>DBNI</i>	ENSG00000113758	p.S553P; p.S599P; p.S555P; p.S285P	Tcc/Ccc	<i>missense</i>
5	140905989	<i>DIAPH1</i>	ENSG00000131504	p.R1061W; p.R1105W; p.R1096W	Agg/Tgg	<i>missense</i>
5	149406271	<i>HMGXB3</i>	ENSG00000113716	p.A488V; p.A456V; p.A734V	gCt/gTt	<i>missense</i>
5	75923307	<i>IQGAP2</i>	ENSG00000145703	p.K85E; pp.K532E; p.K482E	Aag/Gag	<i>missense</i>
5	135258030	<i>LECT2</i>	ENSG00000145826	p.M128K	aTg/aAg	<i>missense</i>
5	135258105	<i>LECT2</i>	ENSG00000145826	p.P103L	cTv/cCt	<i>missense</i>
5	112439941	<i>MCC</i>	ENSG00000171444	p.K127R; p.K380R; p.K190R	aAg/aGg	<i>missense</i>
5	125939409	<i>PHAX</i>	ENSG00000164902	p.R82C	Cgc/Tgc	<i>missense</i>

Tabela suplementar 1: continuação (...)

Cr.	Posição	Gene	N Ensembl	Alteração na sequência proteica	Alteração na sequência codificadora	Tipo de mutação
5	177422876	<i>PROPI</i>	ENSG00000175325	p.S20S; p.N20S	aAc/aGc	<i>missense</i>
5	145439647	<i>SH3RF2</i>	ENSG00000156463	p.R592R; p.W592R	Tgg/Cgg	<i>missense</i>
5	138713959	<i>SLC23A1</i>	ENSG00000170482	p.A425A; p.S421A; p.A421A; p.S425A	Tct/Gct	<i>missense</i>
5	33954511	<i>SLC45A2</i>	ENSG00000164175	p.T329T; p.S221G	Agc/Ggc	<i>missense</i>
6	151674116	<i>AKAP12</i>	ENSG00000131016	p.E1531dup; p.E1433dup; p.E1426dup	GAT/GAGGAT	<i>in-frame</i>
6	136582537	<i>BCLAF1</i>	ENSG00000029363	p.R873C; p.R875C; p.R702C; p.R824C; p.R826C	Cgc/Tgc	<i>missense</i>
6	136599393	<i>BCLAF1</i>	ENSG00000029363	p.S209C; p.S207C	tCc/tGc	<i>missense</i>
6	136599822	<i>BCLAF1</i>	ENSG00000029363	p.G66A; p.G64A	gGa/gCa	<i>missense</i>
6	33144068	<i>COL11A2</i>	ENSG00000204248	p.I621F; p.I728F; p.I642F	Att/Ttt	<i>missense</i>
6	75797302	<i>COL12A1</i>	ENSG00000111799	p.G3054S; p.G2982S; p.G3058S; p.G1894S; p.G1869S	Ggc/Agc	<i>missense</i>
6	106991361	<i>CRYBG1</i>	ENSG00000112297	p.L1643P; p.L1235P	cTa/cCa	<i>missense</i>
6	30862423	<i>DDRI</i>	ENSG00000204580	p.S514S; p.S496S; p.P469L	cCg/cTg	<i>missense</i>
6	38773293	<i>DNAH8</i>	ENSG00000124721	p.G807E; p.G1024E	gGa/gAa	<i>missense</i>
6	38980081	<i>DNAH8</i>	ENSG00000124721	p.I4488V; p.I4271V	Ata/Gta	<i>missense</i>
6	32549396	<i>HLA-DRB1</i>	ENSG00000196126	p.G197A	gGa/gCa	<i>missense</i>
6	32549424	<i>HLA-DRB1</i>	ENSG00000196126	p.V188M	Gtg/Atg	<i>missense</i>
6	32549531	<i>HLA-DRB1</i>	ENSG00000196126	p.Y152C	tAt/tGt	<i>missense</i>
6	32549582	<i>HLA-DRB1</i>	ENSG00000196126	p.T135N	aCt/aAt	<i>missense</i>
6	32549583	<i>HLA-DRB1</i>	ENSG00000196126	p.T135A	Acc/Gcc	<i>missense</i>
6	32551935	<i>HLA-DRB1</i>	ENSG00000196126	p.Y107*	taC/taG	<i>stop gain</i>
6	32552048	<i>HLA-DRB1</i>	ENSG00000196126	p.D70N	Gac/Aac	<i>missense</i>
6	32487158	<i>HLA-DRB5</i>	ENSG00000198502	p.T214fs*17	G/GCA	<i>frameshift</i>
6	32487189	<i>HLA-DRB5</i>	ENSG00000198502	p.V204L	Gtt/Ctt	<i>missense</i>
6	32487209	<i>HLA-DRB5</i>	ENSG00000198502	p.G197A	gGt/gCt	<i>missense</i>
6	32489731	<i>HLA-DRB5</i>	ENSG00000198502	p.Y107*	taC/taG	<i>nonsense: stop gain</i>
6	32489733	<i>HLA-DRB5</i>	ENSG00000198502	p.Y107D	Tac/Gac	<i>missense</i>
6	32497905	<i>HLA-DRB5</i>	ENSG00000198502	p.R33*	Cga/Tga	<i>nonsense: stop gain</i>
6	160469510	<i>IGF2R</i>	ENSG00000197081	p.L817V	Ctg/Gtg	<i>missense</i>
6	160494409	<i>IGF2R</i>	ENSG00000197081	p.R1619G; p.G1619G	Agg/Ggg	<i>missense</i>
6	137325847	<i>IL20RA</i>	ENSG00000016402	p.V148I; p.V259I; p.V210I	Gta/Ata	<i>missense</i>
6	129807629	<i>LAMA2</i>	ENSG00000196569	p.A2583V; p.V2587A; p.A2586V; p.V2583A; p.A2587V	gTa/gCa	<i>missense</i>
6	112508770	<i>LAMA4</i>	ENSG00000112769	p.A276E; p.A283E	gCa/gAa	<i>missense</i>
6	160969629	<i>LPA</i>	ENSG00000198670	p.M1679T	aTg/aCg	<i>missense</i>
6	31477681	<i>MICB</i>	ENSG00000204516	p.T351A; p.T340A; p.T383A	Act/Gct	<i>missense</i>
6	97677118	<i>MMS22L</i>	ENSG00000146263	p.T281M; p.T564M; p.T524M	aCg/aTg	<i>missense</i>
6	41303831	<i>NCR2</i>	ENSG00000096264	p.Q20R	cAa/cGa	<i>missense</i>
6	17633033	<i>NUP153</i>	ENSG00000124789	p.S836C; p.S794C; p.S867C	TCT/TGT	<i>missense</i>
6	31601735	<i>PRRC2A</i>	ENSG00000204469	p.R1563Q	cCa/cAa	<i>missense</i>
6	31602967	<i>PRRC2A</i>	ENSG00000204469	p.R1740H	cGt/cAt	<i>missense</i>
6	31604591	<i>PRRC2A</i>	ENSG00000204469	p.P2006S	Cct/Tct	<i>missense</i>

Tabela suplementar 1: continuação (...)

Cr.	Posição	Gene	N Ensembl	Alteração na sequência proteica	Alteração na sequência codificadora	Tipo de mutação
6	160543148	<i>SLC22A1</i>	ENSG00000175003	p.R61C	Cgc/Tgc	<i>missense</i>
6	160560881	<i>SLC22A1</i>	ENSG00000175003	p.M420del		<i>in-frame</i>
6	110760008	<i>SLC22A16</i>	ENSG0000004809	p.M409T; p.M375T	Cgc/Tgc	<i>missense</i>
6	31760653	<i>VARS</i>	ENSG00000204394	p.R181H	cGt/cAt	<i>missense</i>
6	33254665	<i>WDR46</i>	ENSG00000227057	p.V287A; p.V341A	gTt/gCt	<i>missense</i>
7	940181	<i>ADAPI</i>	ENSG00000105963	p.G169S; p.G146S; p.G252S; p.G241S	Ggc/Agc	<i>missense</i>
7	36447349	<i>ANLN</i>	ENSG00000011426	p.S295dup		<i>in-frame</i>
7	90233553	<i>CDK14</i>	ENSG00000058091	p.T38S	aCc/aGc	<i>missense</i>
7	151945007	<i>KMT2C</i>	ENSG00000055609	p.G838S	Gga/Aga	<i>missense</i>
7	151970856	<i>KMT2C</i>	ENSG00000055609	p.T316S	Acc/Tcc	<i>missense</i>
7	151970877	<i>KMT2C</i>	ENSG00000055609	p.P309S	Cct/Tct	<i>missense</i>
7	151970931	<i>KMT2C</i>	ENSG00000055609	p.L291F	Ctt/Ttt	<i>missense</i>
7	107616188	<i>LAMB1</i>	ENSG00000091136	p.P379S; p.P403S	Ccg/Tcg	<i>missense</i>
7	25267963	<i>NPVF</i>	ENSG00000105954	p.I32M	atG/atC	<i>missense</i>
7	135304273	<i>NUP205</i>	ENSG00000155561	p.E1356Q	Gaa/Caa	<i>missense</i>
7	32209425	<i>PDE1C</i>	ENSG00000154678	p.S94P	Cca/Tca	<i>missense</i>
7	45217015	<i>RAMP3</i>	ENSG00000122679	p.W56R	Tgg/Cgg	<i>missense</i>
7	103194245	<i>RELN</i>	ENSG00000189056	p.F1944C	tTc/tGc	<i>missense</i>
7	101944171	<i>SH2B2</i>	ENSG00000160999	p.G113C; p.G156C	Ggc/Tgc	<i>missense</i>
8	144332012	<i>AC13869.1; ZFP41</i>	ENSG00000264668	p.M1T	aTg/aCg	<i>start loss</i>
8	39080632	<i>ADAM32</i>	ENSG00000197140	p.T361S; p.T368S; p.T467S		<i>missense</i>
8	17918934	<i>ASAHI</i>	ENSG00000104763	p.V221A; p.V181A; p.V262A; p.V240A; p.V225A; p.V246A; p.V139A; p.V244A; p.V217A; p.V227A	gTc/gCc	
8	86126827	<i>C8orf59</i>	ENSG00000176731	p.V88_D89insNV; p.V49_D50insNV		<i>in-frame</i>
8	10530218	<i>C8orf74</i>	ENSG00000171060	p.L15F	Ctt/Ttt	<i>missense</i>
8	145150832	<i>CYCI</i>	ENSG00000179091	p.M76V	Atg/Gtg	<i>missense</i>
8	7698603	<i>DEFB104A</i>	ENSG00000176782	p.R36C		<i>missense</i>
8	1626460	<i>DLGAP2</i>	ENSG00000198010	p.T792dup; p.T791dup; p.T698dup		<i>in-frame</i>
8	27373865	<i>EPHX2</i>	ENSG00000120915	p.R255Q; p.R234Q; p.R104Q; p.R287Q; p.R221Q	cGg/cAg	<i>missense</i>
8	144946818	<i>EPPK1</i>	ENSG00000261150	p.D177N; p.D202N	Gac/Aac	<i>missense</i>
8	144811338	<i>FAM83H</i>	ENSG00000180921	p.Q201H		<i>missense</i>
8	124824826	<i>FAM91AI</i>	ENSG00000176853	p.C800Y	tGt/tAt	<i>missense</i>
8	143922620	<i>GML</i>	ENSG00000104499	p.R54C	Cgc/Tgc	<i>missense</i>
8	143746088	<i>JRK</i>	ENSG00000234616	p.W463fs*		<i>frameshift</i>
8	6338306	<i>MCPH1</i>	ENSG00000147316	p.T682N	aCc/aAc	<i>missense</i>
8	145223288	<i>MROH1</i>	ENSG00000179832	p.A38V; p.V38V	gCg/gTg	<i>missense</i>
8	101721812	<i>PABPC1</i>	ENSG00000070756	p.R329C; p.R342C; p.R349C; p.R374C		<i>missense</i>
8	101721817	<i>PABPC1</i>	ENSG00000070756	p.E340G; p.E327G; p.E347G; p.E372G		<i>missense</i>
8	101721839	<i>PABPC1</i>	ENSG00000070756	p.V340L; p.V333L; p.V365L; p.V320L		<i>missense</i>
8	101721899	<i>PABPC1</i>	ENSG00000070756	p.E345*; p.E313*; p.E300*; p.E320*		<i>stop gain</i>
8	101724606	<i>PABPC1</i>	ENSG00000070756	p.T274I; p.T294I; p.T319I; p.T287I		<i>missense</i>
8	77895865	<i>PEX2</i>	ENSG00000164751	p.C184R	Tgt/Cgt	<i>missense</i>

Tabela suplementar 1: continuação (...)

Cr.	Posição	Gene	N Ensembl	Alteração na sequência proteica	Alteração na sequência codificadora	Tipo de mutação
8	145001031	<i>PLEC</i>	ENSG00000178209	p.H1349R; p.H1459R; p.H1326R; p.H1345R; p.H1300R; p.H1322R; p.H1308R; p.H1290R	cAc/cGc	<i>missense</i>
8	145009085	<i>PLEC</i>	ENSG00000178209	p.R307C; p.R417C; p.R258C; p.R248C; p.R303C; p.R266C; p.R284C; p.R280C	Cgc/Tgc	<i>missense</i>
8	99170404	<i>POPI</i>	ENSG00000104356	p.L994V	Ctg/Gtg	<i>missense</i>
8	48805816	<i>PRKDC</i>	ENSG00000253729	p.F1244fs*2886; p.F1244fs*2855		<i>frameshift</i>
8	52321243	<i>PXDNL</i>	ENSG00000147485	p.M981V	Atg/Gtg	<i>missense</i>
8	52321660	<i>PXDNL</i>	ENSG00000147485	p.C842R	Cgt/Tgt	<i>missense</i>
8	10480549	<i>RPLI1</i>	ENSG00000183638	p.Q55*	Cag/Tag	<i>nonsense: stop gain</i>
8	144890873	<i>SCRIB</i>	ENSG00000180900	p.V593E; p.V674E	gTg/gAg	<i>missense</i>
8	101206459	<i>SPAG1</i>	ENSG00000104450	p.K353_S354insD		<i>in-frame</i>
8	22974450	<i>TNFRSF10C</i>	ENSG00000173535	p.I229T	aTc/aCc	<i>missense</i>
8	30620840	<i>UBXN8</i>	ENSG00000104691	p.*209fs*63; p.*172fs*63; p.*168fs*63; p.*249fs*63		<i>frameshift</i>
8	100286553	<i>VPS13B</i>	ENSG00000132549	p.K881N		<i>missense</i>
9	139913239	<i>ABCA2</i>	ENSG00000107331	p.H584P; p.H614P; p.H583P	cAc/cCc	<i>missense</i>
9	136131289	<i>ABO</i>	ENSG00000175164	p.V275M; p.V277M	Gtg/Atg	<i>missense</i>
9	136131472	<i>ABO</i>	ENSG00000175164	p.F216I; p.F214I		<i>missense</i>
9	136135238	<i>ABO</i>	ENSG00000175164	p.R63H		<i>missense</i>
9	136136770	<i>ABO</i>	ENSG00000175164	p.F36V; p.V36F		<i>missense</i>
9	38396065	<i>ALDH1B1</i>	ENSG00000137124	p.R107L	cGc/cTc	<i>missense</i>
9	20866974	<i>FOCAD</i>	ENSG00000188352	p.T718S; p.T154S	aGt/aCt	<i>missense</i>
9	21141323	<i>IFNW1</i>	ENSG00000170047	p.M83V	Atg/Gtg	<i>missense</i>
9	107515214	<i>NIPSNAP3A</i>	ENSG00000136783	p.R100Q	cGg/cAg	<i>missense</i>
9	112900341	<i>PALM2-AKAP2; AKAP2</i>	ENSG00000243444	p.E842_A843dupEA; p.E611_A612dupEA; p.E700_A701dupEA		<i>in-frame</i>
9	78936492	<i>PCSK5</i>	ENSG00000099139	p.K1320E	Aag/Gag	<i>missense</i>
9	36087738	<i>RECK</i>	ENSG00000122707	p.C101G; p.C229G	Cgt/Tgt	<i>missense</i>
9	86615956	<i>RMII</i>	ENSG00000178966	p.H19Y	Cat/Tat	<i>missense</i>
9	116060124	<i>RNF183</i>	ENSG00000165188	p.Q114R	cAa/cGa	<i>missense</i>
9	116060221	<i>RNF183</i>	ENSG00000165188	p.A82T	Gcc/Acc	<i>missense</i>
9	2191309	<i>SMARCA2</i>	ENSG00000080503	p.D1528E; p.D1546E; p.D192E; p.D232E; p.D210E; p.D1470E; p.D234E; p.D216E; p.D204E	gaC/gaG	
9	27183463	<i>TEK</i>	ENSG00000120156	p.Q346P; p.Q303P; p.Q199P	cAg/cCg	<i>missense</i>
9	132580901	<i>TOR1A</i>	ENSG00000136827	p.D216H	Gat/Cat	<i>missense</i>
9	117166338	<i>WHRN</i>	ENSG00000095397	p.H401Q; p.H369Q; p.H752Q	caG/caC	<i>missense</i>
9	88937852	<i>ZCCHC6</i>	ENSG00000083223	p.K814del; p.K937del; p.K226del		<i>in-frame</i>
10	101544447	<i>ABCC2</i>	ENSG00000023839	p.Y39F	tAc/tC	<i>missense</i>
10	115805056	<i>ADRB1</i>	ENSG00000043591	p.G389R	Gga/Cga	<i>missense</i>
10	81926702	<i>ANXA11</i>	ENSG00000122359	p.R230C; p.R197C	Cgc/Tgc	<i>missense</i>
10	61552692	<i>CCDC6</i>	ENSG00000108091	p.P470T	Ccc/Acc	<i>missense</i>
10	32974969	<i>CCDC7</i>	ENSG00000216937	p.I732V	Ata/Gta	<i>missense</i>
10	33123824	<i>CCDC7</i>	ENSG00000216937	p.G1117A	gGa/gCa	<i>missense</i>
10	33137551	<i>CCDC7</i>	ENSG00000216937	p.M1267T	aTg/aCg	<i>missense</i>

Tabela suplementar 1: continuação (...)

Cr.	Posição	Gene	N Ensembl	Alteração na sequência proteica	Alteração na sequência codificadora	Tipo de mutação
10	33143396	<i>CCDC7</i>	ENSG00000216937	p.V1364I	Gt/Att	<i>missense</i>
10	86273249	<i>CCSER2</i>	ENSG00000107771	p.S246P; p.S819P; p.I848T; p.I832T	Tca/Cca	<i>missense</i>
10	73501556	<i>CDH23</i>	ENSG00000107736	p.A1580T; p.A1575T	Gcc/Acc	<i>missense</i>
10	95262981	<i>CEP55</i>	ENSG00000138180	p.T99A	Aca/Gca	<i>missense</i>
10	105824333	<i>COL17A1</i>	ENSG0000065618	p.T210M	aG/aTg	<i>missense</i>
10	12111090	<i>DHTKD1</i>	ENSG00000181192	p.F20L	Ttc/Ctc	<i>missense</i>
10	129245684	<i>DOCK1</i>	ENSG00000150760	p.A1793T; p.A1814T	Gcg/Acg	<i>missense</i>
10	129249662	<i>DOCK1</i>	ENSG00000150760	p.A1857T; p.A1878T	Gcg/Acg	<i>missense</i>
10	5790420	<i>FAM208B</i>	ENSG00000108021	p.V1679A; p.A1679A	gTc/gCc	<i>missense</i>
10	48438495	<i>GDF10</i>	ENSG00000266524	p.Q72H	caC/caG	<i>missense</i>
10	100179851	<i>HPS1</i>	ENSG00000107521	p.Q570R; p.Q483R; p.Q279R; p.Q447R; p.Q603R; p.Q516R; p.Q480R	cAa/cGa	<i>missense</i>
10	7605078	<i>ITIH5</i>	ENSG00000123243	p.?18fs?; p.?932fs?		<i>frameshift</i>
10	98742225	<i>LCOR</i>	ENSG00000196233	p.L670F; p.L360F	Ctt/Ttt	<i>missense</i>
10	98742750	<i>LCOR</i>	ENSG00000196233	p.I845L; p.I535L	Atc/Ctc	<i>missense</i>
10	90429652	<i>LIPF</i>	ENSG00000182333	p.T171A; p.T161A; p.T138A; p.T128A	Act/Gct	<i>missense</i>
10	129905896	<i>MKI67</i>	ENSG00000148773	p.E1043V; p.E1403V	gAg/gTg	<i>missense</i>
10	13166076	<i>OPTN</i>	ENSG00000123240	p.K316E; p.K322E	Aaa/Gaa	<i>missense</i>
10	72300885	<i>PALD1</i>	ENSG00000107719	p.R646W	Cgg/Tgg	<i>missense</i>
10	48389841	<i>RBP3</i>	ENSG00000265203	p.R346H	cGt/cAt	<i>missense</i>
10	102684380	<i>SLF2</i>	ENSG00000119906	p.S541Y	tCc/tAc	<i>missense</i>
10	88719789	<i>SNCG</i>	ENSG00000173267	p.R83G	Cgt/Ggt	<i>missense</i>
10	97192324	<i>SORBS1</i>	ENSG00000095637	p.L61P; p.L29P	cTt/cCt	<i>missense</i>
11	108141988	<i>ATM</i>	ENSG00000149311	p.S978P	Tct/Cct	<i>missense</i>
11	60893235	<i>CD5</i>	ENSG00000110448	p.A471V; p.A414V	gCt/gTt	<i>missense</i>
11	88045583	<i>CTSC</i>	ENSG00000109861	p.I153T	aT'a/aCa	<i>missense</i>
11	94699507	<i>CWC15</i>	ENSG00000150316	p.I171fs*60	AAT/AAAT	<i>frameshift</i>
11	111853106	<i>DIXDC1</i>	ENSG00000150764	p.L272fs*413; p.L61fs*413	AGC/AGCC	<i>frameshift</i>
11	6567895	<i>DNHD1</i>	ENSG00000179532	p.L1912_R1913insHALL	CGC/CATGCCCTACTGC	<i>in-frame</i>
11	108380335	<i>EXPH5</i>	ENSG00000110723	p.N1967D; p.N1960D	Aat/Gat	<i>missense</i>
11	108464209	<i>EXPH5</i>	ENSG00000110723	p.R19G; p.R12G	Agg/Ggg	<i>missense</i>
11	46760622	<i>F2</i>	ENSG00000180210	p.R521Q; p.R544Q; p.R560Q	cGa/cAa	<i>missense</i>
11	102738793	<i>MMP12</i>	ENSG00000262406	p.L211fs*14	AAC/AAAC	<i>frameshift</i>
11	1993975	<i>MRPL23</i>	ENSG00000214026	p.R162S	Cgt/Agt	<i>missense</i>
11	1212813	<i>MUC5AC</i>	ENSG00000215182	p.S4482T	aGt/aCt	<i>missense</i>
11	1212825	<i>MUC5AC</i>	ENSG00000215182	p.T4486I	aCt/aTt	<i>missense</i>
11	1213259	<i>MUC5AC</i>	ENSG00000215182	p.C4631G	Tgt/Ggt	<i>missense</i>
11	1213275	<i>MUC5AC</i>	ENSG00000215182	p.W4636*	tGg/tAg	<i>nonsense: stop gain</i>
11	1213281	<i>MUC5AC</i>	ENSG00000215182	p.D4638A	gAt/gCt	<i>missense</i>
11	1213284	<i>MUC5AC</i>	ENSG00000215182	p.V4639A	gTc/gCc	<i>missense</i>
11	1213293	<i>MUC5AC</i>	ENSG00000215182	p.P4642L	cCc/cTc	<i>missense</i>
11	1213302	<i>MUC5AC</i>	ENSG00000215182	p.G4645V	gGt/gTt	<i>missense</i>

Tabela suplementar 1: continuação (...)

Cr.	Posição	Gene	N Ensembl	Alteração na sequência proteica	Alteração na sequência codificadora	Tipo de mutação
11	1213460	<i>MUC5AC</i>	ENSG00000215182	p.E4698K	Gaa/Aaa	<i>missense</i>
11	1213539	<i>MUC5AC</i>	ENSG00000215182	p.C4724S	tGt/tCt	<i>missense</i>
11	1213556	<i>MUC5AC</i>	ENSG00000215182	p.G4730S	Ggt/Agt	<i>missense</i>
11	1213566	<i>MUC5AC</i>	ENSG00000215182	p.V4733G	gTc/gGc	<i>missense</i>
11	1216316	<i>MUC5AC</i>	ENSG00000215182	p.L5091fs*66	G/GC	<i>frameshift</i>
11	1216440	<i>MUC5AC</i>	ENSG00000215182	p.V5132A	gTa/gCa	<i>missense</i>
11	1216491	<i>MUC5AC</i>	ENSG00000215182	p.L5149P	cTa/cGa	<i>missense</i>
11	113103996	<i>NCAM1</i>	ENSG00000149294	p.L576W; p.V550V; p.L540W; p.L550W	tTg/Tgg	<i>missense</i>
11	17333663	<i>NUCB2</i>	ENSG0000070081	p.S303N	aAt/aGt	<i>missense</i>
11	72945341	<i>P2RY2</i>	ENSG00000175591	p.P46L	cCt/cTt	<i>missense</i>
11	20529886	<i>PRMT3</i>	ENSG00000185238	p.S508Np.S446N	aGt/aAt	<i>missense</i>
11	36595600	<i>RAG1</i>	ENSG00000166349	p.R249H; p.H249R	cAc/cGc	<i>missense</i>
11	66837965	<i>RHOD</i>	ENSG00000173156	p.C134R; p.C68R	Tgc/Cgc	<i>missense</i>
11	18290874	<i>SAA1</i>	ENSG00000173432	p.V75A	gTg/gCg	<i>missense</i>
11	116728630	<i>SIK3</i>	ENSG00000160584	p.P1136R; p.P1076R; p.P917R	cCt/cGt	<i>missense</i>
11	62848487	<i>SLC22A24</i>	ENSG00000197658	p.Y501*	taT/taG	<i>stop gain</i>
11	62886800	<i>SLC22A24</i>	ENSG00000197658	p.R172G	Cgg/Ggg	<i>missense</i>
11	133714522	<i>SPATA19</i>	ENSG00000166118	p.A50V	gCt/gTt	<i>missense</i>
11	88911696	<i>TYR</i>	ENSG00000077498	p.S192Y	tCc/tAc	<i>missense</i>
11	67765163	<i>UNC93B1</i>	ENSG00000110057	p.S297fs*302	A/AG	<i>frameshift</i>
11	67770499	<i>UNC93B1</i>	ENSG00000110057	p.L129I	Cta/Ata	<i>missense</i>
11	118949331	<i>VPS11</i>	ENSG00000160695	p.A650V; p.A660V	gCt/gTt	<i>missense</i>
11	10876353	<i>ZBED5</i>	ENSG00000236287	p.Q47R	cAa/cGa	<i>missense</i>
12	9248233	<i>A2M</i>	ENSG00000175899	p.D539D; p.D489D; p.N639D; p.D639D	Aat/Gat	<i>missense</i>
12	9004892	<i>A2ML1</i>	ENSG00000166535	p.D850E; p.D359E	gaC/gaA	<i>missense</i>
12	109696884	<i>ACACB</i>	ENSG00000076555	p.N2156S; p.N822S	aAc/aGc	<i>missense</i>
12	88523494	<i>CEP290</i>	ENSG00000198707	p.E277Q	Gaa/Caa	<i>missense</i>
12	122817580	<i>CLIP1</i>	ENSG00000130779	p.S819P; p.S895P; p.S516P; p.S930P; p.S941P	Tct/Cct	<i>missense</i>
12	48367976	<i>COL2A1</i>	ENSG00000139219	p.G1336S; p.G1405S	Ggc/Agc	<i>missense</i>
12	113618755	<i>DDX54</i>	ENSG00000123064	p.K94dup	A/ACTT	<i>in-frame</i>
12	93196422	<i>EEAI</i>	ENSG00000102189	p.K810Q	Aaa/Caa	<i>missense</i>
12	50754563	<i>FAM186A</i>	ENSG00000185958	p.K187Q	Aaa/Caa	<i>missense</i>
12	117383320	<i>FBXW8</i>	ENSG00000174989	p.R192Q; p.R126Q	cGa/cAa	<i>missense</i>
12	120575549	<i>GCNI</i>	ENSG00000089154	p.Y2155D	Tat/Gat	<i>missense</i>
12	121437114	<i>HNF1A</i>	ENSG00000135100	p.R221Q	cGg/cAg	<i>missense</i>
12	49420081	<i>KMT2D</i>	ENSG00000167548	p.N5223S	aAc/aGc	<i>missense</i>
12	53186088	<i>KRT3</i>	ENSG00000186442	p.R375G	Cgt/Ggt	<i>missense</i>
12	52827740	<i>KRT75</i>	ENSG00000170454	p.P117A	Ccc/Gcc	<i>missense</i>
12	40657700	<i>LRRK2</i>	ENSG00000188906	p.N551K	aaC/aaA	<i>missense</i>
12	40702911	<i>LRRK2</i>	ENSG00000188906	p.R1398H	cGt/cAt	<i>missense</i>
12	112471090	<i>NAA25</i>	ENSG00000111300	p.L915I	Cta/Ata	<i>missense</i>
12	124824721	<i>NCOR2</i>	ENSG00000196498	p.S1827_G1829dupSSG; p.S1837_G1839dupSSG	C/CGCCGCTGCT	<i>in-frame</i>

Tabela suplementar 1: continuação (...)

Cr.	Posição	Gene	N Ensembl	Alteração na sequência proteica	Alteração na sequência codificadora	Tipo de mutação
12	96180832	<i>NTN4</i>	ENSG00000074527	p.Y120S; p.Y157S	tAt/tCt	<i>missense</i>
12	56722060	<i>PAN2</i>	ENSG00000135473	p.II79L; p.L179L	Ata/Cta	<i>missense</i>
12	48144925	<i>RAPGEF3</i>	ENSG00000079337	p.R193G; p.R151G	Aga/Gga	<i>missense</i>
12	131283152	<i>STX2</i>	ENSG00000111450	p.N235S; p.N161S; p.N106S	aAt/aGt	<i>missense</i>
12	71533534	<i>TSPAN8</i>	ENSG00000127324	p.G73A	gGa/gCa	<i>missense</i>
12	132403161	<i>ULK1</i>	ENSG00000177169	p.T816A	Act/Gct	<i>missense</i>
13	32906729	<i>BRCA2</i>	ENSG0000013961	p.N372H	Aat/Cat	<i>missense</i>
13	32929387	<i>BRCA2</i>	ENSG0000013961	p.V2466A	gTa/gCa	<i>missense</i>
13	110839550	<i>COL4A1</i>	ENSG00000187498	p.T555P	Aca/Cca	<i>missense</i>
13	103527849	<i>ERCC5; BIVM-ERCC5</i>	ENSG00000134899	p.G1278R; p.G1507R; p.G286R; p.G1053R	Gga/Aga	<i>missense</i>
13	103527930	<i>ERCC5; BIVM-ERCC5</i>	ENSG00000134899	p.G1534R; p.G1080R; p.G1305R; p.G313R	Gga/Cga	<i>missense</i>
13	103528002	<i>ERCC5; BIVM-ERCC5</i>	ENSG00000134899	p.D337H; p.D1104H; p.D1558H; p.D1329H	Gat/Cat	<i>missense</i>
13	33628138	<i>KL</i>	ENSG00000133116	p.F352V	Ttt/Gtt	<i>missense</i>
13	29898768	<i>MTUS2</i>	ENSG00000132938	p.Q952P	cAg/cCg	<i>missense</i>
13	77635306	<i>MYCBP2</i>	ENSG0000005810	p.T4307R; p.T4345R	aCg/aGg	<i>missense</i>
13	42301395	<i>VWA8</i>	ENSG00000102763	p.R898K	aGg/aAg	<i>missense</i>
14	23548783	<i>ACINI</i>	ENSG00000100813	p.R606_S607dupRS; p.R646_S647dupRS; p.R588_S589dupRS	A/AGAACGT	<i>in-frame</i>
14	23549379	<i>ACINI</i>	ENSG00000100813	p.A447P; p.A389P; p.A407P	Gct/Cct	<i>missense</i>
14	23777374	<i>BCL2L2-PABPN1; BCL2L2</i>	ENSG00000129473	p.Q133R	cAa/cGa	<i>missense</i>
14	101198417	<i>DLK1</i>	ENSG00000185559	p.R101G	Agg/Ggg	<i>missense</i>
14	50101682	<i>DNAAF2</i>	ENSG00000165506	p.E62D	gaG/gaC	<i>missense</i>
14	93276654	<i>GOLGA5</i>	ENSG00000066455	p.F350L	Ttt/Ctt	<i>missense</i>
14	63784407	<i>GPHB5</i>	ENSG00000179600	p.F53fs*79	A/AG	<i>frameshift</i>
14	103934488	<i>MARK3</i>	ENSG00000075413	p.F331S; p.F410S; p.F394S; p.F433S	tTt/tCt	<i>missense</i>
14	50298962	<i>NEMF</i>	ENSG00000165525	p.S257C	Agc/Tgc	<i>missense</i>
14	23240713	<i>OXAIL</i>	ENSG00000155463	p.S422dup; p.S395dup; p.S482dup; p.S406dup	T/TAGC	<i>in-frame</i>
14	39650234	<i>PNN</i>	ENSG00000100941	p.T441S	Acc/Tcc	<i>missense</i>
14	24646406	<i>REC8</i>	ENSG00000100918	p.E229dup	G/GGAA	<i>in-frame</i>
14	21790040	<i>RPGRIP1</i>	ENSG00000092200	p.A547S; p.A520S; p.A189S	Gct/Tct	<i>missense</i>
14	61124940	<i>SIX1</i>	ENSG00000126778	p.M1T	aTg/aCg	<i>start loss</i>
14	68220861	<i>ZFYVE26</i>	ENSG00000072121	p.T2352I; p.T198I	aTc/aCc	<i>missense</i>
15	89398605	<i>ACAN</i>	ENSG00000157766	p.S930I	aGc/aTc	<i>missense</i>
15	89398631	<i>ACAN</i>	ENSG00000157766	p.S939T	Tct/Act	<i>missense</i>
15	40477831	<i>BUB1B</i>	ENSG00000156970	p.R349Q; p.R363Q; p.Q349R	cAa/cGa	<i>missense</i>
15	75499861	<i>C15orf39</i>	ENSG00000167173	p.G491D; p.D491G	gGc/gAc	<i>missense</i>
15	49048567	<i>CEPI52</i>	ENSG00000103995	p.W960R; p.W867R	Tgg/Cgg	<i>missense</i>
15	75982271	<i>CSPG4</i>	ENSG00000173546	p.G379S	Ggc/Cgc	<i>missense</i>
15	75982492	<i>CSPG4</i>	ENSG00000173546	p.T305M	aCg/aTg	<i>missense</i>
15	75982513	<i>CSPG4</i>	ENSG00000173546	p.I298T	aTc/aCc	<i>missense</i>
15	75982581	<i>CSPG4</i>	ENSG00000173546	p.N275K	aaC/aaG	<i>missense</i>

Tabela suplementar 1: continuação (...)

Cr.	Posição	Gene	N Ensembl	Alteração na sequência proteica	Alteração na sequência codificadora	Tipo de mutação
15	22969232	<i>CYFIP1</i>	ENSG00000273749	p.G389S; p.G790S; p.G260S; p.G786S; p.G820S; p.G698S; p.G854S	Ggc/Agc	<i>missense</i>
15	40308859	<i>EIF2AK4</i>	ENSG00000128829	p.G1306C	Ggc/Tgc	<i>missense</i>
15	48807637	<i>FBNI</i>	ENSG00000166147	p.C472Y	tGc/tAc	<i>missense</i>
15	78780104	<i>IREB2</i>	ENSG00000136381	p.I580T	aTt/aCt	<i>missense</i>
15	40914177	<i>KNL1</i>	ENSG00000137812	p.M598T; p.M572T	aTg/aCg	<i>missense</i>
15	43817404	<i>MAP1A</i>	ENSG00000166963	p.D1483N; p.D1245N	Gat/Aat	<i>missense</i>
15	42028820	<i>MGA</i>	ENSG00000174197	p.Y1453C	tAt/tGt	<i>missense</i>
15	52689631	<i>MYO5A</i>	ENSG00000197535	p.E362D	gaA/gaC	<i>missense</i>
15	101910550	<i>PCSK6</i>	ENSG00000140479	p.S570F	tCt/tTt	<i>missense</i>
15	71952899	<i>THSD4</i>	ENSG00000187720	p.D35N; p.D395N	Gac/Aac	<i>missense</i>
15	90170237	<i>TICRR</i>	ENSG00000140534	p.R1884C; p.R1885C	Cgc/Tgc	<i>missense</i>
16	16173232	<i>ABCC1</i>	ENSG00000103222	p.G671V; p.G345V	gGt/gTt	<i>missense</i>
16	20441053	<i>ACSM5</i>	ENSG00000183549	p.P352R	cCt/cGt	<i>missense</i>
16	19548116	<i>CCP110</i>	ENSG00000103540	p.M375I	aCt/aTt	<i>missense</i>
16	70548297	<i>COG4</i>	ENSG00000103051	p.T162I	aCt/aTt	<i>missense</i>
16	4412008	<i>CORO7-PAM16; CORO7</i>	ENSG00000103426	p.G299A; p.G519A; p.G434A; p.G501A	gGg/gCg	<i>missense</i>
16	1718110	<i>CRAMP1</i>	ENSG00000007545	p.P1084S	Cct/Tct	<i>missense</i>
16	2282256	<i>E4F1</i>	ENSG00000167967	p.R167H	cGc/cAc	<i>missense</i>
16	22269867	<i>EEF2K</i>	ENSG00000103319	p.Q361R	cAa/cGa	<i>missense</i>
16	67235672	<i>ELMO3</i>	ENSG00000102890	p.R369C; p.R203C; p.R352C	Cgc/Tgc	<i>missense</i>
16	28513403	<i>IL27</i>	ENSG00000197272	p.L119P	cTg/cGg	<i>missense</i>
16	27373964	<i>IL4R</i>	ENSG00000077238	p.C271R; p.C431R; p.C416R	Tgc/Cgc	<i>missense</i>
16	3293888	<i>MEFV</i>	ENSG00000103313	p.R436G; p.G436R	Gga/Aga	<i>missense</i>
16	334543	<i>PDIA2</i>	ENSG00000185615	p.T119R	aCg/aGg	<i>missense</i>
16	70172890	<i>PDP1</i>	ENSG00000090857	p.R25C; p.R427C; p.R327C	Cgt/Tgt	<i>missense</i>
16	88782217	<i>PIEZ01</i>	ENSG00000103335	p.R310C; p.F2454F	Cgt/Tgt	<i>missense</i>
16	88789666	<i>PIEZ01</i>	ENSG00000103335	p.E1467_Q1468dupEQ	G/GCTTGCT	<i>in-frame</i>
16	71981414	<i>PKDIL3</i>	ENSG00000277481	p.R1232fs*502	C/CTTG	<i>frameshift</i>
16	71988106	<i>PKDIL3</i>	ENSG00000277481	p.V903I	Gtc/Atc	<i>missense</i>
16	72007399	<i>PKDIL3</i>	ENSG00000277481	p.V593M	Gtg/Atg	<i>missense</i>
16	72011181	<i>PKDIL3</i>	ENSG00000277481	p.H571Q	caC/caG	<i>missense</i>
16	4933939	<i>PPL</i>	ENSG00000118898	p.Q1573E; p.Q1571E	Caa/Gaa	<i>missense</i>
16	4938160	<i>PPL</i>	ENSG00000118898	p.R819S; p.R817S	agA/agC	<i>missense</i>
16	4945687	<i>PPL</i>	ENSG00000118898	p.L335M; p.L333M	Ctg/Atg	<i>missense</i>
16	30779716	<i>RNF40</i>	ENSG00000103549	p.Q515R; p.Q615R; p.Q575R	cAa/cGa	<i>missense</i>
16	56904587	<i>SLC12A3</i>	ENSG00000070915	p.A264G; p.A263G	gCc/gGc	<i>missense</i>
16	3656625	<i>SLX4</i>	ENSG00000188827	p.R204C	Cgc/Tgc	<i>missense</i>
16	12145791	<i>SNX29</i>	ENSG00000048471	p.G279A	gGg/gCg	<i>missense</i>
16	3726075	<i>TRAP1</i>	ENSG00000126602	p.S206F; p.S50F; p.S259F	tCc/tTc	<i>missense</i>
16	23160474	<i>USP31</i>	ENSG00000103404	p.G40C	Ggc/Tgc	<i>missense</i>
16	2049640	<i>ZNF598</i>	ENSG00000167962	p.M637T; p.M582T	aTg/aCg	<i>missense</i>
16	30566693	<i>ZNF764</i>	ENSG00000169951	p.R349H; p.R350H	cGc/cAc	<i>missense</i>

Tabela suplementar 1: continuação (...)

Cr.	Posição	Gene	N Ensembl	Alteração na sequência proteica	Alteração na sequência codificadora	Tipo de mutação
17	35478362	ACACA	ENSG00000278540	p.H2061R	cAc/cGc	missense
17	35984410	DDX52	ENSG00000278053	p.M403V	Atg/Gtg	missense
17	40257055	DHX58	ENSG00000108771	p.N461S	aA/aGt	missense
17	48452978	EME1	ENSG00000154920	p.K137_P138insQ	A/AAGC	in-frame
17	80543997	FOXK2	ENSG00000141568	p.Q499H	caA/caT	missense
17	648186	GEMIN4	ENSG0000017940	p.R103C; p.R1022C	Cgc/Tgc	missense
17	649547	GEMIN4	ENSG0000017940	p.A579G; p.A568G	gCc/gGc	missense
17	39890715	HAPI	ENSG00000173805	p.S58T	Tcc/Acc	missense
17	65104743	HELZ	ENSG00000198265	p.A1531V; p.A1530V	gCt/gTt	missense
17	65212042	HELZ	ENSG00000198265	p.V74M	Gtg/Atg	missense
17	41165493	IFI35	ENSG00000068079	p.M126V; p.M128V	Atg/Gtg	missense
17	21319069	KCNJ12	ENSG00000184185	p.E139K	Gag/Aag	missense
17	21319087	KCNJ12	ENSG00000184185	p.G145S	Ggc/Agc	missense
17	21319121	KCNJ12	ENSG00000184185	p.P156L	cCg/cTg	missense
17	21319436	KCNJ12	ENSG00000184185	p.R261H	cGc/cAc	missense
17	21319439	KCNJ12	ENSG00000184185	p.I262S	aTc/aGc	missense
17	7752523	KDM6B	ENSG00000132510	p.K973Q	Aag/Cag	missense
17	39659194	KRT13	ENSG00000171401	p.T298A	Acc/Gcc	missense
17	39659913	KRT13	ENSG00000171401	p.A187V	gCg/gTg	missense
17	39670912	KRT15	ENSG00000171346	p.G421G; p.A421G; p.A256G	gCc/gGc	missense
17	39139370	KRT40	ENSG00000204889	p.T153M	aCg/aTg	missense
17	18397608	LGALS9C	ENSG00000171916	p.A234T; p.R333H; p.R300H; p.A246T	Cgt/Atg	missense
17	18137141	LLGL1	ENSG00000131899	p.S148G	Agc/Ggc	missense
17	21204210	MAP2K3	ENSG0000034152	p.Q73*; p.Q102*	Cag/Tag	nonsense: stop gain
17	21215557	MAP2K3	ENSG0000034152	p.R293H; p.R264H	cGt/cAt	missense
17	21217513	MAP2K3	ENSG0000034152	p.V339M; p.V310M	Gtg/Atg	missense
17	60766224	MRC2	ENSG0000011028	p.Q25R	cAg/cGg	missense
17	60766269	MRC2	ENSG0000011028	p.T40M	aCg/aTg	missense
17	4574751	PELP1	ENSG00000141456	p.T1126S; p.T1176S; p.T902S	Aca/Tca	missense
17	26676135	POLDIP2	ENSG0000004142	p.R303H; p.R321H	cGc/cAc	missense
17	17696755	RAII	ENSG00000108557	p.P165T	Ccc/Acc	missense
17	78298938	RNF213	ENSG00000173821	p.N1045D; p.N1094D	Aat/Gat	missense
17	78302157	RNF213	ENSG00000173821	p.Q113K; p.Q118K	Caa/Aaa	missense
17	78319136	RNF213	ENSG00000173821	p.S2583N; p.S2334N	aGu/aAt	missense
17	75494705	SEPT9	ENSG00000184640	p.M557V; p.M325V; p.M558V; p.M569V; p.M352V; p.M464V; p.M412V; p.M576V	Atg/Gtg	missense
17	15532430	TRIM16; AC005324.3	ENSG00000221926	p.P95L	cCa/cTa	missense
17	73518203	TSEN54	ENSG00000182173	p.K347N	Tat/Cat	missense
18	43833701	C18orf25	ENSG00000152242	p.S313_G314insA; p.S252_G253insA	T/TCTG	in-frame
18	66504459	CCDC102B	ENSG00000150636	p.K153N	aaA/aaT	missense
18	71740743	FBXO15	ENSG00000141665	p.Y496H; p.Y420H	Tat/Cat	missense
18	22020543	IMPACT	ENSG00000154059	p.L151V	Ctt/Gtt	missense

Tabela suplementar 1: continuação (...)

Cr.	Posição	Gene	N Ensembl	Alteração na sequência proteica	Alteração na sequência codificadora	Tipo de mutação
18	21511089	<i>LAMA3</i>	ENSG0000053747	p.S1225G; p.S1169G; p.S2778G; p.G2834G; p.S2834G;	Agc/Ggc	<i>missense</i>
18	58039368	<i>MC4R</i>	ENSG00000166603	p.N72S	aAc/aGc	<i>missense</i>
18	33779855	<i>MOCOS</i>	ENSG0000075643	p.I170I; p.T170I	aCc/aTc	<i>missense</i>
18	33779896	<i>MOCOS</i>	ENSG0000075643	p.S184G	Agt/Ggt	<i>missense</i>
18	33780020	<i>MOCOS</i>	ENSG0000075643	p.H225R	cAc/cCc	<i>missense</i>
18	33785093	<i>MOCOS</i>	ENSG0000075643	p.V358M	Gtg/Atg	<i>missense</i>
18	77227476	<i>NFATC1</i>	ENSG0000131196	p.H634R	cAt/cGt	<i>missense</i>
19	8669931	<i>ADAMTS10</i>	ENSG0000142303	p.T134S	aCc/aGc	<i>missense</i>
19	2251817	<i>AMH</i>	ENSG0000104899	p.V515A	gTc/gCc	<i>missense</i>
19	10692264	<i>APIM2</i>	ENSG0000129354	p.V149M	Gtg/Atg	<i>missense</i>
19	47823038	<i>CSARI</i>	ENSG0000197405	p.D2N	Gac/Aac	<i>missense</i>
19	47823871	<i>CSARI</i>	ENSG0000197405	p.K279N	aaG/aaT	<i>missense</i>
19	46520026	<i>CCDC61</i>	ENSG0000104983	p.Q389R; p.Q209R	cAa/cGa	<i>missense</i>
19	43860255	<i>CD177</i>	ENSG0000204936	p.M205R	atg/cc	<i>missense</i>
19	42085873	<i>CEACAM21</i>	ENSG000007129	p.M198V; p.M70V	Atg/Gtg	<i>missense</i>
19	4442999	<i>CHAF1A</i>	ENSG0000167670	p.S950A	Tcg/Gcg	<i>missense</i>
19	11358799	<i>DOCK6</i>	ENSG0000130158	p.P250L	cCa/cTa	<i>missense</i>
19	8168545	<i>FBN3</i>	ENSG0000142449	p.G1614S	Ggc/Gce	<i>missense</i>
19	40424269	<i>FCGBP</i>	ENSG0000275395	p.G645E	gGa/gAa	<i>missense</i>
19	4310561	<i>FSD1</i>	ENSG0000105255	p.R153L	cGt/cTt	<i>missense</i>
19	55790886	<i>HSPBP1</i>	ENSG0000133265	p.G28_G30dupGGG; p.G74_G76dupGGG	A/AGCCGCCGCC	<i>in-frame</i>
19	5135392	<i>KDM4B</i>	ENSG0000127663	p.K744E; p.K710E	Aag/Gag	<i>missense</i>
19	55358655	<i>KIR2DS4</i>	ENSG0000221957	p.Y220C; p.Y237C	tAc/tGc	<i>missense</i>
19	55358658	<i>KIR2DS4</i>	ENSG0000221957	p.M238T; p.M221T	aTg/aCg	<i>missense</i>
19	54966579	<i>LENG8</i>	ENSG0000167615	p.P249R; p.P286R	cCt/cGt	<i>missense</i>
19	9049322	<i>MUC16</i>	ENSG0000181143	p.T10770I	aCc/aTc	<i>missense</i>
19	9061560	<i>MUC16</i>	ENSG0000181143	p.T8629M	aCg/aTg	<i>missense</i>
19	9069792	<i>MUC16</i>	ENSG0000181143	p.S5885F	tCc/tTc	<i>missense</i>
19	9075346	<i>MUC16</i>	ENSG0000181143	p.I4034F	Att/Ttt	<i>missense</i>
19	9084197	<i>MUC16</i>	ENSG0000181143	p.T2540P	Act/Cct	<i>missense</i>
19	9084481	<i>MUC16</i>	ENSG0000181143	p.G2445D	gGc/gAc	<i>missense</i>
19	9084953	<i>MUC16</i>	ENSG0000181143	p.V2288L	Gtg/Ttg	<i>missense</i>
19	9085643	<i>MUC16</i>	ENSG0000181143	p.S2058P	Tct/Cct	<i>missense</i>
19	9086269	<i>MUC16</i>	ENSG0000181143	p.H1849R	cAt/cGt	<i>missense</i>
19	9088772	<i>MUC16</i>	ENSG0000181143	p.R1015G	Agg/Ggg	<i>missense</i>
19	9089838	<i>MUC16</i>	ENSG0000181143	p.A660dup	A/AGCC	<i>in-frame</i>
19	5892954	<i>NDUFA11</i>	ENSG0000174886	p.T221A	Act/Gct	<i>missense</i>
19	54313707	<i>NLRP12</i>	ENSG0000142405	p.F402L	ttC/ttG	<i>missense</i>
19	36342212	<i>NPHS1</i>	ENSG0000161270	p.E117K	Gag/Aag	<i>missense</i>
19	50881820	<i>NRH2</i>	ENSG0000131408	p.Q175dup; p.Q78dup	A/AAAC	<i>in-frame</i>
19	50881822	<i>NRH2</i>	ENSG0000131408	p.Q175dup; p.Q78dup	A/ACAG	<i>in-frame</i>
19	54599231	<i>OSCAR</i>	ENSG0000170909	p.P130S	Ccg/Tcg	<i>missense</i>

Tabela suplementar 1: continuação (...)

Cr.	Posição	Gene	N Ensembl	Alteração na sequência proteica	Alteração na sequência codificadora	Tipo de mutação
19	44001379	<i>PHLDB3</i>	ENSG00000176531	p.Q239R	cAa/cGa	<i>missense</i>
19	4524016	<i>PLIN5</i>	ENSG00000214456	p.R306W	Cgg/Tgg	<i>missense</i>
19	1024526	<i>PPAN-P2RY11; P2RY11</i>	ENSG00000243207	p.P520L	cCc/cTc	<i>missense</i>
19	49376582	<i>PPPIR15A</i>	ENSG00000087074	p.R31H	cGc/cAc	<i>missense</i>
19	55699454	<i>PTPRH</i>	ENSG00000080031	p.K645E; p.K823E	Aag/Gag	<i>missense</i>
19	49232226	<i>RASIP1</i>	ENSG00000105538	p.R601C	Cgc/Tgc	<i>missense</i>
19	10132318	<i>RDH8</i>	ENSG00000080511	p.Y297H	Tat/Cat	<i>missense</i>
19	33486992	<i>RHPN2</i>	ENSG00000131941	p.Y454D	Tac/Gac	<i>missense</i>
19	33490585	<i>RHPN2</i>	ENSG00000131941	p.Q378*	Cag/Tag	<i>nonsense: stop gain</i>
19	36486445	<i>SDHAF1</i>	ENSG00000205138	p.C90S	tGc/tCc	<i>missense</i>
19	3595794	<i>TBXA2R</i>	ENSG00000006638	p.Y179H	Tat/Cat	<i>missense</i>
19	7573098	<i>TEX45</i>	ENSG00000198723	p.Y434N	Tac/Aac	<i>missense</i>
19	57642782	<i>USP29</i>	ENSG00000131864	p.Y913*	taC/taG	<i>nonsense: stop gain</i>
19	51835892	<i>VSIG10L</i>	ENSG00000186806	p.Q860fs?	T/TG	<i>frameshift</i>
19	44047826	<i>XRCC1</i>	ENSG00000073050	p.N576Y; p.N545Y	Aat/Tat	<i>missense</i>
19	44377357	<i>ZNF404</i>	ENSG00000176222	p.G337S	Ggt/Agt	<i>missense</i>
19	44377669	<i>ZNF404</i>	ENSG00000176222	p.H233Y	Cat/Tat	<i>missense</i>
20	31022959	<i>ASXL1</i>	ENSG00000171456	p.L815P; p.L810P	cCg/cTg	<i>missense</i>
20	6759115	<i>BMP2</i>	ENSG00000125845	p.R190S	agA/agT	<i>missense</i>
20	47253150	<i>PREX1</i>	ENSG00000124126	p.K1340E	Aag/Gag	<i>missense</i>
20	3682126	<i>SIGLEC1</i>	ENSG00000088827	p.R464H	cGc/cAc	<i>missense</i>
21	37650373	<i>DOPY2</i>	ENSG00000142197	p.R1938H	cGc/cAc	<i>missense</i>
21	47558473	<i>FTCD</i>	ENSG00000160282	p.P450A;	Cct/Gct	<i>missense</i>
21	46314907	<i>ITGB2</i>	ENSG00000160255	p.Q297H; p.Q354H	caT/caA	<i>missense</i>
21	31812772	<i>KRTAP15-1</i>	ENSG00000186970	p.L43M	Ctg/Atg	<i>missense</i>
21	26978950	<i>MRPL39</i>	ENSG00000154719	p.S31P	Tca/Cca	<i>missense</i>
21	38528987	<i>TTC3</i>	ENSG00000182670	p.R614H; p.R924H; p.R946H; p.R202H	cGt/cAt	<i>missense</i>
22	17687992	<i>ADA2</i>	ENSG00000093072	p.R129W; p.R171W; p.R51W	Cgg/Tgg	<i>missense</i>
22	29727886	<i>APIB1</i>	ENSG00000100280	p.T777A; p.T770A; p.T750A	Acc/Gcc	<i>missense</i>
22	36123083	<i>APOL5</i>	ENSG00000128313	p.T323M	aCg/aTg	<i>missense</i>
22	37581422	<i>C1QTNF6</i>	ENSG00000133466	p.P42R	cCt/cGt	<i>missense</i>
22	19189003	<i>CLTCL1</i>	ENSG00000070371	p.V1201fs*19	A/AC	<i>frameshift</i>
22	19197949	<i>CLTCL1</i>	ENSG00000070371	p.R1046C	Cgc/Tgc	<i>missense</i>
22	45923827	<i>FBLN1</i>	ENSG00000077942	p.Q141R; p.Q179R	cAg/cGg	<i>missense</i>
22	46704676	<i>GTSE1</i>	ENSG00000075218	p.T200A	Acc/Gcc	<i>missense</i>
22	46709881	<i>GTSE1</i>	ENSG00000075218	p.S341N	aGt/aAt	<i>missense</i>
22	46719100	<i>GTSE1</i>	ENSG00000075218	p.D482E	gaC/gaG	<i>missense</i>
22	46722400	<i>GTSE1</i>	ENSG00000075218	p.W525R	Tgg/Cgg	<i>missense</i>
22	35463162	<i>ISX</i>	ENSG00000175329	p.S28G	Agc/Ggc	<i>missense</i>
22	51043278	<i>MAPK8IP2</i>	ENSG00000008735	p.S517N	aGc/aAc	<i>missense</i>
22	50546622	<i>MOV10L1</i>	ENSG00000073146	p.T147M; p.T167M	aGc/aTg	<i>missense</i>
22	50546666	<i>MOV10L1</i>	ENSG00000073146	p.R162C; p.R182C	Cgc/Tgc	<i>missense</i>

Tabela suplementar 1: continuação (...)

Cr.	Posição	Gene	N Ensembl	Alteração na sequência proteica	Alteração na sequência codificadora	Tipo de mutação
22	37387257	<i>TEX33</i>	ENSG00000185264	p.Y269C; p.Y184C	tAt/tGt	<i>missense</i>
22	38121652	<i>TRIOBP</i>	ENSG00000100106	p.P1030R	cCa/cGa	<i>missense</i>
22	22868497	<i>ZNF280A</i>	ENSG00000169548	p.L486F	ttG/ttC	<i>missense</i>
22	22869123	<i>ZNF280A</i>	ENSG00000169548	p.N271D; p.D278N	Gac/Aac	<i>missense</i>
X	47426172	<i>ARAF</i>	ENSG00000078061	p.L234R; p.L231R	cTc/cGc	<i>missense</i>
X	135861653	<i>ARHGEF6</i>	ENSG00000129675	p.C57R	Tgt/Cgt	<i>missense</i>
X	40460040	<i>ATP6AP2</i>	ENSG00000182220	p.W24R	TGG/CGG	<i>missense</i>
X	129147079	<i>BCORL1</i>	ENSG00000085185	p.F111L	Ttc/Ctc	<i>missense</i>
X	79943569	<i>BRWD3</i>	ENSG00000165288	p.K1288R	aAg/aGg	<i>missense</i>
X	35969297	<i>CFAP47</i>	ENSG00000165164	p.V236M	Gtg/Atg	<i>missense</i>
X	36371719	<i>CFAP47</i>	ENSG00000165164	p.F2925Y	tTt/tAt	<i>missense</i>
X	31496350	<i>DMD</i>	ENSG00000198947	p.R208Q	cGg/cAg	<i>missense</i>
X	32380996	<i>DMD</i>	ENSG00000198947	p.R404H; p.R1737H; p.R401H; p.R1622H; p.R1745H; p.R1741H	cGc/cAc	<i>missense</i>
X	32503194	<i>DMD</i>	ENSG00000198947	p.D878G	gAt/gGt	<i>missense</i>
X	26157220	<i>MAGEB18</i>	ENSG00000176774	p.P40S	Cct/Tct	<i>missense</i>
X	49021537	<i>MAGIX</i>	ENSG00000269313	p.V114L; p.V106L	Ctc/Gtc	<i>missense</i>
X	55289774	<i>PAGE3</i>	ENSG00000204279	p.N35D	Aat/Gat	<i>missense</i>
X	105278361	<i>SERPINA7</i>	ENSG00000123561	p.L303F	ttG/ttT	<i>missense</i>
X	101395780	<i>TCEAL6</i>	ENSG00000204071	p.Q175fs?	T/TG	<i>frameshift</i>
X	154456747	<i>VBP1</i>	ENSG00000155959	p.M118V; p.M123V	Atg/Gtg	<i>missense</i>
X	119387833	<i>ZBTB33</i>	ENSG00000177485	p.D194dup	C/CTGA	<i>in-frame</i>
X	47306954	<i>ZNF41</i>	ENSG00000147124	p.I703L; p.I749L; p.I705L; p.I739L; p.I781L; p.I773L; p.I741L; p.I653L	Cta/Ata	<i>missense</i>

Tabela suplementar 2: Mutações de mudança da matriz de leitura (*frameshift*), sem sentido (*nonsense*), de sentido trocado (*missense*), e inserções ou deleções que não provocam alteração na matriz de leitura (*in-frame*) identificadas no indivíduo X.X da Família A pelo programa *Mendel*

Cr.	Posição	Gene	N Ensembl	Alteração na sequência proteica	Alteração na sequência codificadora	Tipo de mutação
1	200842341	<i>GPR25</i>	ENSG00000170128	p.F59S	tT/tCt	<i>missense</i>
1	201178819	<i>IGFNI</i>	ENSG00000163395	p.A1600T	Gca/Aca	<i>missense</i>
1	117142700	<i>IGSF3</i>	ENSG00000143061	p.S651I	aGc/aTc	<i>missense</i>
1	228564499	<i>OBSCN</i>	ENSG00000154358	p.E8612K	Gag/Aag	<i>missense</i>
1	228504586	<i>OBSCN</i>	ENSG00000154358	p.H5445D	Cac/Gac	<i>missense</i>
1	248224633	<i>OR2L3</i>	ENSG00000198128	p.Y217C	tAt/tGt	<i>missense</i>
1	248637046	<i>OR2T3</i>	ENSG00000196539	p.C132Y	tGc/tAc	<i>missense</i>
1	248737167	<i>OR2T34</i>	ENSG00000183310	p.R298C	Cgc/Tgc	<i>missense</i>
1	248651959	<i>OR2T5</i>	ENSG00000203661	p.R24*	Cga/Tga	<i>nonsense: stop gain</i>
1	154918547	<i>PBXIP1</i>	ENSG00000163346	p.R535*	Cga/Tga	<i>nonsense: stop gain</i>
1	156786487	<i>SH2D2A</i>	ENSG0000027869	p.L5Q	cTg/cAg	<i>missense</i>
1	232649821	<i>SIPA1L2</i>	ENSG00000116991	p.R422K	aGg/aAg	<i>missense</i>
1	206516261	<i>SRGAP2</i>	ENSG00000163486	p.R21W	Cgg/Tgg	<i>missense</i>
1	206566922	<i>SRGAP2</i>	ENSG00000163486	p.E154D	gaG/gaT	<i>missense</i>
1	16071015	<i>TMEM82</i>	ENSG00000162460	p.A233T	Gcc/Acc	<i>missense</i>
2	96610410	<i>ANKRD36C</i>	ENSG00000174501	p.N486Y	Aat/Tat	<i>missense</i>
2	131672630	<i>ARRHGEF4</i>	ENSG00000136002	p.R41*	Cga/Tga	<i>nonsense: stop gain</i>
2	179733939	<i>CCDC141</i>	ENSG00000163492	p.D767N	Gac/Aac	<i>missense</i>
2	3751481	<i>DCDC2C</i>	ENSG00000214866	p.L10R	cTg/cGg	<i>missense</i>
2	187626996	<i>FAM171B</i>	ENSG00000144369	p.M643V	Atg/Gtg	<i>missense</i>
2	241569447	<i>GPR35</i>	ENSG00000178623	p.Y57*	taC/taG	<i>nonsense: stop gain</i>
2	129075877	<i>HS6ST1</i>	ENSG00000136720	p.D87E	gaC/gaA	<i>missense</i>
2	231973666	<i>HTR2B</i>	ENSG00000135914	p.W337*	tgG/tgA	<i>nonsense: stop gain</i>
2	187466845	<i>ITGAV</i>	ENSG00000138448	p.R95C	Cgc/Tgc	<i>missense</i>
2	88327431	<i>KRCC1</i>	ENSG00000172086	p.K218Q	Aag/Cag	<i>missense</i>
2	44586706	<i>PREPL</i>	ENSG00000138078	p.K50M	aA/g/aTg	<i>missense</i>
2	179309165	<i>PRKRA</i> <i>COSM6466523</i> , <i>COSM4592387</i>	ENSG00000180228	p.P127L	cCc/cIt	<i>missense</i>
2	85663647	<i>SH2D6</i>	ENSG00000152292	p.V157E	gTg/gAg	<i>missense</i>
2	3469449	<i>TRAPPCL2</i>	ENSG00000171853	p.G587S	Ggc/Agc	<i>missense</i>
3	37458926	<i>C3orf35</i>	ENSG00000198590	p.G57S	Ggc/Agc	<i>missense</i>
3	122044169	<i>CSTA</i>	ENSG00000121552	p.K10N	aaA/aaC	<i>missense</i>
3	137816662	<i>DZIP1L</i>	ENSG00000158163	p.N177D	Aat/Gat	<i>missense</i>
3	129120623	<i>EFCAB12</i>	ENSG00000172271	p.L511P	cTg/cG	<i>missense</i>
3	48415154	<i>FBXW12</i>	ENSG00000164049	p.A82G	gCa/gGa	<i>missense</i>
3	121489286	<i>IQCBI</i>	ENSG00000173226	p.L568P	cTvcCt	<i>missense</i>
3	77614215	<i>ROBO2</i>	ENSG00000185008	p.I598T	aTc/aCc	<i>missense</i>
3	75786256	<i>ZNF717</i>	ENSG00000227124	p.K840*	Aaa/Taa	<i>nonsense: stop gain</i>
3	75786252	<i>ZNF717</i>	ENSG00000227124	p.P841H	cCc/cAc	<i>missense</i>
3	75786243	<i>ZNF717</i>	ENSG00000227124	p.C844Y	tGt/tAt	<i>missense</i>
3	75786225	<i>ZNF717</i>	ENSG00000227124	p.T850I	aCt/aTt	<i>missense</i>
3	75786211	<i>ZNF717</i>	ENSG00000227124	p.S855P	Tca/Cca	<i>missense</i>

Tabela suplementar 2: continuação (...)

Cr.	Posição	Gene	N Ensembl	Alteração na sequência proteica	Alteração na sequência codificadora	Tipo de mutação
3	75786175	ZNF717	ENSG00000227124	p.E867*	Gaa/Taa	nonsense: stop gain
3	75786516	ZNF717	ENSG00000227124	p.T753N	aCc/aAc	missense
3	75786518	ZNF717	ENSG00000227124	p.H752Q	caT/caG	missense
3	75786817	ZNF717	ENSG00000227124	p.G653*	Gga/Tga	nonsense: stop gain
3	75786827	ZNF717	ENSG00000227124	p.C649*	tgT/tgA	nonsense: stop gain
3	75786916	ZNF717	ENSG00000227124	p.E620*	Gaa/Taa	nonsense: stop gain
3	75786919	ZNF717	ENSG00000227124	p.Y619N	Tat/Aat	missense
3	75786991	ZNF717	ENSG00000227124	p.E595K	Gaa/Aaa	missense
3	75786993	ZNF717	ENSG00000227124	p.N594I	aAt/aTt	missense
3	75787015	ZNF717	ENSG00000227124	p.G587S	Ggc/Age	missense
3	75787490	ZNF717	ENSG00000227124	p.C428*	tgT/tgA	nonsense: stop gain
3	75787511	ZNF717	ENSG00000227124	p.K421N	aaG/aaT	missense
3	75787516	ZNF717	ENSG00000227124	p.E420Q	Gaa/Caa	missense
3	75787519	ZNF717	ENSG00000227124	p.G419W	Ggg/Tgg	missense
3	75787576	ZNF717	ENSG00000227124	p.C400R	Tgt/Cgt	missense
3	75787584	ZNF717	ENSG00000227124	p.C397F	tGt/tTt	missense
3	75787620	ZNF717	ENSG00000227124	p.H385R	cAt/cGt	missense
3	75787770	ZNF717	ENSG00000227124	p.G335E	gGg/gAg	missense
3	75788028	ZNF717	ENSG00000227124	p.S249*	tCa/tGa	nonsense: stop gain
3	75788130	ZNF717	ENSG00000227124	p.G215V	gGg/gTg	missense
3	75788260	ZNF717	ENSG00000227124	p.G172W	Ggg/Tgg	missense
3	75786337	ZNF717	ENSG00000227124	p.P813S	Cca/Tca	missense
3	75790466	ZNF717	ENSG00000227124	p.P80T	Cca/Aca	missense
3	75790838	ZNF717	ENSG00000227124	p.W36*	tGg/tAg	nonsense: stop gain
3	75788432	ZNF717	ENSG00000227124	p.Q114H	caA/caT	missense
3	75786298	ZNF717	ENSG00000227124	p.K826E	Aag/Gag	missense
3	75786288	ZNF717	ENSG00000227124	p.L829P	cTc/cCc	missense
3	75786278	ZNF717	ENSG00000227124	p.H832Q	caT/caG	missense
3	75786261	ZNF717	ENSG00000227124	p.G838E	gGg/gAg	missense
4	79525488	ANXA3	ENSG00000138772	p.D283N	Gac/Aac	missense
4	155254454	DCHS2	ENSG00000197410	p.V470G	gTc/gGc	missense
4	190878563	FRGI	ENSG00000109536	p.A148D	gCt/gAt	missense
4	4190595	OTOP1	ENSG00000163982	p.P592A	Cct/Gct	missense
4	4190577	OTOP1	ENSG00000163982	p.R598G	Cga/Gga	missense
4	4190576	OTOP1	ENSG00000163982	p.R598P	cGa/cCa	missense
5	56777916	ACTBL2	ENSG00000169067	p.R207W	Cgg/Tgg	missense
5	77523335	AP3B1	ENSG00000132842	p.A133S	Gca/Tca	missense
5	68588160	CCDC125	ENSG00000183323	p.E318D	gaA/gaC	missense
5	140905989	DIAPH1	ENSG00000131504	p.R1106W	Cgg/Tgg	missense
5	150945843	FAT2	ENSG00000086570	p.E884K	Gaa/Aaa	missense
5	90041434	GPR98	ENSG00000164199	p.G3599A	gGt/gCt	missense
6	135639715	AH11	ENSG00000135541	p.S1123F	tCc/tTc	missense
6	145948629	EPM2A	ENSG00000112425	p.E307K	Gaa/Aaa	missense

Tabela suplementar 2: continuação (...)

Cr.	Posição	Gene	N Ensembl	Alteração na sequência proteica	Alteração na sequência codificadora	Tipo de mutação
6	167440092	<i>FGFR1OP</i>	ENSG00000213066	p.S326*	tCa/tAa	<i>nonsense: stop gain</i>
6	32549582	<i>HLA-DRB1</i>	ENSG00000196126	p.T135N	aCc/aAc	<i>missense</i>
6	32549424	<i>HLA-DRB1</i>	ENSG00000196126	p.V188M	Gtg/Atg	<i>missense</i>
6	32549531	<i>HLA-DRB1</i>	ENSG00000196126	p.Y152C	tAt/tGt	<i>missense</i>
6	32487209	<i>HLA-DRB5</i>	ENSG00000198502	p.G197A	gGa/gCa	<i>missense</i>
6	32487189	<i>HLA-DRB5</i>	ENSG00000198502	p.V204L	Gtg/Ctg	<i>missense</i>
6	32497905	<i>HLA-DRB5</i>	ENSG00000198502	p.R33*	Cga/Tga	<i>nonsense: stop gain</i>
6	88240542	<i>RARS2</i>	ENSG00000146282	p.F244Y	tTt/tAt	<i>missense</i>
6	167786686	<i>TCP10</i>	ENSG00000203690	p.A318T	Gct/Act	<i>missense</i>
6	31760653	<i>VARS</i>	ENSG00000204394	p.R181H	cGc/cAc	<i>missense</i>
6	170034574	<i>WDR27</i>	ENSG00000184465	p.T684M	aCg/aTg	<i>missense</i>
7	7420436	<i>COL28A1</i>	ENSG00000215018	p.E755*	Gag/Tag	<i>nonsense: stop gain</i>
7	102417753	<i>FAM185A</i>	ENSG00000222011	p.Y297D	Tat/Gat	<i>missense</i>
7	151970877	<i>KMT2C</i>	ENSG00000055609	p.P309S	Cct/Tct	<i>missense</i>
7	100552738	<i>MUC3A</i>	ENSG00000169894	p.Q497*	Cag/Tag	<i>nonsense: stop gain</i>
7	142458511	<i>PRSSI</i>	ENSG00000204983	p.G49V	gGt/gTt	<i>missense</i>
7	142458531	<i>PRSSI</i>	ENSG00000204983	p.Q56*	Cag/Tag	<i>nonsense: stop gain</i>
7	142458523	<i>PRSSI</i>	ENSG00000204983	p.I53N	aTc/aAc	<i>missense</i>
7	142247271	<i>TRBV7-3</i>	ENSG00000211714	p.P62L	cCa/cTa	<i>missense</i>
7	142247380	<i>TRBV7-3</i>	ENSG00000211714	p.T26S	Acc/Tcc	<i>missense</i>
8	7698603	<i>DEFB104A</i>	ENSG00000176782	p.R36C	Cgt/Tgt	<i>missense</i>
8	144940706	<i>EPPK1</i>	ENSG00000227184	p.R2239H	cGc/cAc	<i>missense</i>
8	145747902	<i>LRRK24</i>	ENSG00000254402	p.G500E	gGa/gAa	<i>missense</i>
8	142504935	<i>MROH5</i>	ENSG00000226807	p.A171T	Gct/Act	<i>missense</i>
8	101721899	<i>PABPC1</i>	ENSG00000070756	p.E345*	Gaa/Taa	<i>nonsense: stop gain</i>
8	101724606	<i>PABPC1</i>	ENSG00000070756	p.T319I	aCa/aTa	<i>missense</i>
8	101721839	<i>PABPC1</i>	ENSG00000070756	p.V365L	Gta/Tta	<i>missense</i>
8	101721817	<i>PABPC1</i>	ENSG00000070756	p.E372G	gAa/gGa	<i>missense</i>
8	101721812	<i>PABPC1</i>	ENSG00000070756	p.R374C	Cgc/Tgc	<i>missense</i>
8	110453028	<i>PKHD1L1</i>	ENSG00000205038	p.T1349N	aCc/aAc	<i>missense</i>
8	52321660	<i>PXDNL</i>	ENSG00000147485	p.C842R	Tgt/Cgt	<i>missense</i>
8	10480549	<i>RPLI1</i>	ENSG00000183638	p.Q55*	Cag/Tag	<i>nonsense: stop gain</i>
8	8235297	<i>SGK223</i>	ENSG00000182319	p.R208C	Cgc/Tgc	<i>missense</i>
8	8234904	<i>SGK223</i>	ENSG00000182319	p.D339N	Gac/Aac	<i>missense</i>
8	87230034	<i>SLC7A13</i>	ENSG00000164893	p.R282*	Cga/Tga	<i>nonsense: stop gain</i>
8	7320265	<i>SPAG11B</i>	ENSG00000164871	p.R60W	Cgg/Tgg	<i>missense</i>
8	38682833	<i>TACCI</i>	ENSG00000147526	p.C479S	Tgt/Agt	<i>missense</i>
8	100286553	<i>VPS13B</i>	ENSG00000132549	p.K881N	aaA/aaT	<i>missense</i>
9	33385750	<i>AQP7</i>	ENSG00000165269	p.G214R	Ggg/Agg	<i>missense</i>
9	115249377	<i>C9orf147</i>	ENSG00000230185	p.V36D	gTc/gAc	<i>missense</i>
9	37746714	<i>FRMPD1</i>	ENSG00000070601	p.T1562M	aCg/aTg	<i>missense</i>
9	86530427	<i>KIF27</i>	ENSG00000165115	p.C27F	tGt/tTt	<i>missense</i>
9	125512861	<i>ORIL6</i>	ENSG00000171459	p.H281Q	caC/caA	<i>missense</i>

Tabela suplementar 2: continuação (...)

Cr.	Posição	Gene	N Ensembl	Alteração na sequência proteica	Alteração na sequência codificadora	Tipo de mutação
9	125552039	<i>OR5C1</i>	ENSG00000148215	p.K276N	aaG/aaT	<i>missense</i>
9	33797951	<i>PRSS3</i>	ENSG0000010438	p.M166L	Atg/Ctg	<i>missense</i>
9	36087738	<i>RECK</i>	ENSG00000122707	p.C229G	Tgc/Ggc	<i>missense</i>
9	131418941	<i>WDR34</i>	ENSG00000119333	p.A22V	gCg/gTg	<i>missense</i>
10	99093692	<i>FRAT2</i>	ENSG00000181274	p.G213E	gGg/gAg	<i>missense</i>
10	48438495	<i>GDF10</i>	ENSG00000107623	p.Q72H	caG/caC	<i>missense</i>
10	98799785	<i>SLT1</i>	ENSG00000187122	p.R753W	Cgg/Tgg	<i>missense</i>
11	108141988	<i>ATM</i>	ENSG00000149311	p.S978P	Tct/Cct	<i>missense</i>
11	46760622	<i>F2</i>	ENSG00000180210	p.R560Q	cGa/cAa	<i>missense</i>
11	12315863	<i>MICALCL</i>	ENSG00000133808	p.W295*	tgG/tgA	<i>nonsense: stop gain</i>
11	12316119	<i>MICALCL</i>	ENSG00000133808	p.E381K	Gag/Aag	<i>missense</i>
11	1016890	<i>MUC6</i>	ENSG00000184956	p.P1971S	Cca/Tca	<i>missense</i>
11	1017069	<i>MUC6</i>	ENSG00000184956	p.T1911M	aCg/aTg	<i>missense</i>
11	1017041	<i>MUC6</i>	ENSG00000184956	p.Y1920*	taC/taA	<i>nonsense: stop gain</i>
11	1016802	<i>MUC6</i>	ENSG00000184956	p.H2000L	cAc/cTc	<i>missense</i>
11	1016910	<i>MUC6</i>	ENSG00000184956	p.T1964I	aCa/aTa	<i>missense</i>
11	7063792	<i>NLRP14</i>	ENSG00000158077	p.V179M	Gtg/Atg	<i>missense</i>
11	48347014	<i>OR4C3</i>	ENSG00000176547	p.W174*	tgG/tgA	<i>nonsense: stop gain</i>
11	48347067	<i>OR4C3</i>	ENSG00000176547	p.P192L	cCc/cTc	<i>missense</i>
11	48387630	<i>OR4C5</i>	ENSG00000176540	p.G130R	Gga/Aga	<i>missense</i>
11	48387978	<i>OR4C5</i>	ENSG00000176540	p.K14*	Aaa/Taa	<i>nonsense: stop gain</i>
11	48387900	<i>OR4C5</i>	ENSG00000176540	p.Q40*	Cag/Tag	<i>nonsense: stop gain</i>
11	48387098	<i>OR4C5</i>	ENSG00000176540	p.V307G	gTg/gGg	<i>missense</i>
11	48387107	<i>OR4C5</i>	ENSG00000176540	p.N304S	aAc/aGc	<i>missense</i>
11	48387164	<i>OR4C5</i>	ENSG00000176540	p.S285F	tCt/tTt	<i>missense</i>
11	48387201	<i>OR4C5</i>	ENSG00000176540	p.R273*	Cga/Tga	<i>nonsense: stop gain</i>
11	48387206	<i>OR4C5</i>	ENSG00000176540	p.Y271C	tAc/tGc	<i>missense</i>
11	48387335	<i>OR4C5</i>	ENSG00000176540	p.C228F	tGt/tTt	<i>missense</i>
11	48387850	<i>OR4C5</i>	ENSG00000176540	p.Y56*	taC/taA	<i>nonsense: stop gain</i>
11	5906289	<i>OR52E4</i>	ENSG00000180974	p.A256E	gCa/gAa	<i>missense</i>
11	56000530	<i>OR5T2</i>	ENSG00000181718	p.N44K	aaT/aaA	<i>missense</i>
11	124266758	<i>OR8B3</i>	ENSG00000196661	p.L164F	Ctt/Ttt	<i>missense</i>
11	56468699	<i>OR9G1</i>	ENSG00000174914	p.V279E	gTg/gAg	<i>missense</i>
11	67198936	<i>RPS6KB2</i>	ENSG00000175634	p.Y136C	tAt/tGt	<i>missense</i>
11	64856388	<i>TMEM262</i>	ENSG00000187066	p.N39T	aAc/aCc	<i>missense</i>
11	67766704	<i>UNC93B1</i>	ENSG00000110057	p.P209L	cCg/cTg	<i>missense</i>
12	124333367	<i>DNAH10</i>	ENSG00000197653	p.V1896M	Gtg/Atg	<i>missense</i>
12	124363852	<i>DNAH10</i>	ENSG00000197653	p.E2687G	gAg/gGg	<i>missense</i>
12	3763475	<i>EFCAB4B</i>	ENSG00000130038	p.R317W	Cgg/Tgg	<i>missense</i>
12	104698487	<i>EID3</i>	ENSG00000255150	p.I259V	Ata/Gta	<i>missense</i>
12	10588530	<i>NKG2-E</i>	ENSG00000205809	p.R19P	cGg/cCg	<i>missense</i>
12	122670741	<i>LRRC43</i>	ENSG00000158113	p.T139I	aCc/aTc	<i>missense</i>
12	96180832	<i>NTN4</i>	ENSG00000074527	p.Y157S	tAt/tCt	<i>missense</i>

Tabela suplementar 2: continuação (...)

Cr.	Posição	Gene	N Ensembl	Alteração na sequência proteica	Alteração na sequência codificadora	Tipo de mutação
12	131283152	<i>STX2</i>	ENSG00000111450	p.N235S	aAt/aGt	<i>missense</i>
12	56397802	<i>SUOX</i>	ENSG00000139531	p.P210L	cCc/cTc	<i>missense</i>
12	6562652	<i>TAPBPL</i>	ENSG00000139192	p.H112L	cAt/cTt	<i>missense</i>
12	58350653	<i>XRCC6BP1</i>	ENSG00000166896	p.R241W	Cgg/Tgg	<i>missense</i>
13	32971119	<i>BRCA2</i>	ENSG00000139618	p.K3196E	Aaa/Gaa	<i>missense</i>
13	24895631	<i>C1QTNF9</i>	ENSG00000240654	p.C243S	Tgc/Agc	<i>missense</i>
13	37678727	<i>CSNK1A1L</i>	ENSG00000180138	p.G223*	Gga/Tga	<i>nonsense: stop gain</i>
13	25671292	<i>PABPC3</i>	ENSG00000151846	p.T319I	aCa/aTa	<i>missense</i>
14	65032130	<i>PPP1R36</i>	ENSG00000165807	p.K109E	Aaa/Gaa	<i>missense</i>
15	49048567	<i>CEP152</i>	ENSG00000103995	p.W960R	Tgg/Cgg	<i>missense</i>
15	75982513	<i>CSPG4</i>	ENSG00000173546	p.I298T	aTc/aCc	<i>missense</i>
15	75982492	<i>CSPG4</i>	ENSG00000173546	p.T305M	aCg/aTg	<i>missense</i>
15	101593236	<i>LRRK1</i>	ENSG00000154237	p.V1267M	Gtg/Atg	<i>missense</i>
16	4412008	<i>CORO7-PAM16</i>	ENSG00000103426	p.G519A	gGg/gCg	<i>missense</i>
16	12798607	<i>CPPED1</i>	ENSG00000103381	p.C197R	Tgc/Cgc	<i>missense</i>
16	57601982	<i>GPR114</i>	ENSG00000159618	p.V346L	Gtc/Ctc	<i>missense</i>
16	70172890	<i>PDPR</i>	ENSG00000090857	p.R427C	Cgc/Tgc	<i>missense</i>
16	24920259	<i>SLC5A11</i>	ENSG00000158865	p.D498N	Gac/Aac	<i>missense</i>
16	23160474	<i>USP31</i>	ENSG00000103404	p.G40C	Ggc/Tgc	<i>missense</i>
16	30566693	<i>ZNF764</i>	ENSG00000169951	p.R350H	cGc/cAc	<i>missense</i>
16	31447564	<i>ZNF843</i>	ENSG00000176723	p.G203R	Ggg/Agg	<i>missense</i>
17	45214558	<i>CDC27</i>	ENSG0000004897	p.R631*	Cga/Tga	<i>nonsense: stop gain</i>
17	80543997	<i>FOXK2</i>	ENSG00000141568	p.Q499H	caA/caC	<i>missense</i>
17	73143671	<i>HNI</i>	ENSG00000189159	p.G93R	Gga/Aga	<i>missense</i>
17	21319786	<i>KCNJ12</i>	ENSG00000184185	p.E378K	Gag/Aag	<i>missense</i>
17	21319069	<i>KCNJ12</i>	ENSG00000184185	p.E139K	Gag/Aag	<i>missense</i>
17	21319087	<i>KCNJ12</i>	ENSG00000184185	p.G145S	Ggc/Agc	<i>missense</i>
17	21319436	<i>KCNJ12</i>	ENSG00000184185	p.R261H	cGc/cAc	<i>missense</i>
17	21319439	<i>KCNJ12</i>	ENSG00000184185	p.I262S	aTc/aGc	<i>missense</i>
17	7760574	<i>LSMD1</i>	ENSG00000183011	p.W56*	tgG/tgA	<i>nonsense: stop gain</i>
17	45669359	<i>NPEPPS</i>	ENSG00000141279	p.F433C	tTt/tGt	<i>missense</i>
17	79428608	<i>RP11-1055B.7</i>	ENSG00000171282	p.P2307S	Ccc/Tcc	<i>missense</i>
17	36365080	<i>RP11-1407O15.2</i>	ENSG00000174093	p.R172P	cGc/cCc	<i>missense</i>
17	36361764	<i>RP11-1407O15.2</i>	ENSG00000174093	p.P194R	cCt/cGt	<i>missense</i>
17	36352489	<i>RP11-1407O15.2</i>	ENSG00000174093	p.F433C	tTt/tGt	<i>missense</i>
18	30350987	<i>AC012123.1</i>	ENSG00000228835	p.P77S	Ccg/Tcg	<i>missense</i>
18	58039368	<i>MC4R</i>	ENSG00000166603	p.N72S	aAc/aGc	<i>missense</i>
19	15473030	<i>AKAP8</i>	ENSG00000105127	p.R398H	cGt/cAt	<i>missense</i>
19	36049278	<i>ATP4A</i>	ENSG00000105675	p.T496P	Acc/Ccc	<i>missense</i>
19	41630642	<i>CYP2F1</i>	ENSG00000197446	p.I328N	aTc/aAc	<i>missense</i>
19	51378085	<i>KLK2</i>	ENSG00000167751	p.G52D	gGt/gAt	<i>missense</i>
19	54783385	<i>LILRB2</i>	ENSG00000131042	p.E158V	gAa/gTa	<i>missense</i>
19	46417748	<i>NANOS2</i>	ENSG00000188425	p.H68Q	caC/caA	<i>missense</i>

Tabela suplementar 2: continuação (...)

Cr.	Posição	Gene	N Ensembl	Alteração na sequência proteica	Alteração na sequência codificadora	Tipo de mutação
19	54606446	<i>NDUFA3</i>	ENSG00000170906	p.A12G	gCc/gGc	<i>missense</i>
19	36303332	<i>PRODH2</i>	ENSG00000250799	p.R177W	Cgg/Tgg	<i>missense</i>
19	3019741	<i>TLE2</i>	ENSG0000065717	p.R109C	Cgc/Tgc	<i>missense</i>
19	58118371	<i>ZNF530</i>	ENSG00000183647	p.C493Y	tGc/tAc	<i>missense</i>
19	23329266	<i>ZNF730</i>	ENSG00000183850	p.H474Y	Cat/Tat	<i>missense</i>
20	29628237	<i>FRG1B</i>	ENSG00000149531	p.A80D	gCt/gAt	<i>missense</i>
20	29632660	<i>FRG1B</i>	ENSG00000149531	p.E159*	Gag/Tag	<i>nonsense: stop gain</i>
20	29628328	<i>FRG1B</i>	ENSG00000149531	p.II10M	atC/atG	<i>missense</i>
20	29632673	<i>FRG1B</i>	ENSG00000149531	p.L163P	cTt/cCt	<i>missense</i>
20	47770594	<i>STAU1</i>	ENSG00000124214	p.T74A	Act/Gct	<i>missense</i>
21	37650373	<i>DOPEY2</i>	ENSG00000142197	p.R1938H	cGc/cAc	<i>missense</i>
22	45309788	<i>PHF21B</i>	ENSG00000056487	p.R249W	Cgg/Tgg	<i>missense</i>
22	46657900	<i>PKDREJ</i>	ENSG00000130943	p.R440S	agG/agC	<i>missense</i>
22	24579157	<i>SUSD2</i>	ENSG00000099994	p.G70V	gGa/gTa	<i>missense</i>
X	135861653	<i>ARHGEP6</i>	ENSG00000129675	p.C57R	Tgt/Cgt	<i>missense</i>
X	55172630	<i>FAM104B</i>	ENSG00000182518	p.Q80*	Cag/Tag	<i>nonsense: stop gain</i>
X	55185656	<i>FAM104B</i>	ENSG00000182518	p.R9I	aGa/aTa	<i>missense</i>
X	149639713	<i>MAMLD1</i>	ENSG0000013619	p.R59H	cGt/cAt	<i>missense</i>
X	70149594	<i>SLCTA3</i>	ENSG00000165349	p.A85V	gCg/gTg	<i>missense</i>
X	152710845	<i>TREX2</i>	ENSG00000183479	p.L58Q	cTg/cAg	<i>missense</i>

Tabela suplementar 3: Mutações de mudança da matriz de leitura (*frameshift*), sem sentido (*nonsense*), de sentido trocado (*missense*), e inserções ou deleções que não provocam alteração na matriz de leitura (*in-frame*) identificadas no indivíduo X.X da Família B pelo programa *Ingenuity Variant Analysis™*

Cr.	Posição	Gene	N Ensembl	Alteração na sequência proteica	Alteração na sequência codificadora	Tipo de mutação
1	11856378	<i>MTHFR</i>	ENSG00000188157	p.A222V; p.A263V	gCc/gTc	<i>missense</i>
1	19408294	<i>UBR4</i>	ENSG00000127481	p.P3fs*27	ccG/ccGC	<i>frameshift</i>
1	31905889	<i>SERINC2</i>	ENSG00000168528	p.Q372dup; p.Q368dup; p.Q377dup; p.Q313dup		<i>in-frame</i>
1	46476587	<i>MAST2</i>	ENSG00000086015	p.D395E; p.D234E; p.D388E	gaT/gaG	<i>missense</i>
1	46493460	<i>MAST2</i>	ENSG00000086015	p.I659M; p.I505M; p.I666M; p.I297M	atT/atG	<i>missense</i>
1	120539331	<i>NOTCH2</i>	ENSG00000134250	p.G225R	Gga/Cga	<i>missense</i>
1	120612003	<i>NOTCH2</i>	ENSG00000134250	p.P6fs*27	ccG/ccGC	<i>frameshift</i>
1	160654758	<i>CD48; AL121985.1</i>	ENSG00000117091	p.E102Q	Gag/Cag	<i>missense</i>
1	235594073	<i>TBCE</i>	ENSG00000284770	p.V92A; p.V205A	gTa/gCa	<i>missense</i>
2	1499927	<i>TPO</i>	ENSG00000115705	p.T552P; p.T725P; p.T668P	Act/Cct	<i>missense</i>
2	1520676	<i>TPO</i>	ENSG00000115705	p.V847A; p.V803A; p.V790A; p.V674A	gTg/gCg	<i>missense</i>
2	190670539	<i>PMS1</i>	ENSG00000064933	p.L164fs*4	ctT/ctTA	<i>frameshift</i>
2	216235089	<i>FNI</i>	ENSG00000115414	p.V2080I; p.V2170I; p.V2024I; p.V2051I; p.V2261I; p.V2230I; p.V2049I; p.V2114I; p.V2139I;	Gtc/Atc	<i>missense</i>
2	216272900	<i>FNI</i>	ENSG00000115414	p.T817P; p.P817P	Acg/Ccg	<i>missense</i>
2	218568732	<i>DIRC3</i>	ENSG00000231672	p.V114L	GTc/GTg	<i>missense</i>
2	218604247	<i>DIRC3</i>	ENSG00000231672	p.F55C	tT/tGt	<i>missense</i>
3	41831203	<i>ULK4</i>	ENSG00000168038	p.A413T; p.A715T	Gct/Act	<i>missense</i>
3	41841716	<i>ULK4</i>	ENSG00000168038	p.S338A; p.S640A	Tcc/Gcc	<i>missense</i>
3	41925398	<i>ULK4</i>	ENSG00000168038	p.A542T; p.A240T	Gct/Act	<i>missense</i>
3	69230061	<i>FRMD4B</i>	ENSG00000114541	p.S947L; p.S599L	tCg/tTg	<i>missense</i>
3	69245454	<i>FRMD4B</i>	ENSG00000114541	p.T48A; p.T396A	Acg/Gcg	<i>missense</i>
3	111828423	<i>C3orf52</i>	ENSG00000114529	p.G144S	Acg/Gcg	<i>missense</i>
3	113373930	<i>USF3</i>	ENSG00000176542	p.V2200A	gTg/gCg	<i>missense</i>
4	55593464	<i>KIT</i>	ENSG00000157404	p.M537L; p.M541L	Atg/Ctg	<i>missense</i>
4	72618296	<i>GC</i>	ENSG00000145321	p.H445R; p.H464R	cAc/cGc	<i>missense</i>
4	88898941	<i>SPP1</i>	ENSG00000118785	p.A24V	gCc/gTc	<i>missense</i>
4	110901198	<i>EGF</i>	ENSG00000138798	p.M666I; p.M708I	atG/atA	<i>missense</i>
4	122742217	<i>CCNA2</i>	ENSG00000145386	p.II63V	Ata/Gta	<i>missense</i>
5	68531253	<i>CDK7</i>	ENSG00000134058	p.T22I	aCc/aTc	<i>missense</i>
5	80149981	<i>MSH3</i>	ENSG00000113318	p.Q949R	CAG/CGG	<i>missense</i>
6	3010390	<i>NQO2</i>	ENSG00000124588	p.L47F	Ctt/Ttt	<i>missense</i>
6	31322303	<i>HLA-B</i>	ENSG00000234745	p.C349S	Tgt/Cgt	<i>missense</i>
6	31322980	<i>HLA-B; AL671883.3</i>	ENSG00000234745	p.V306I	Gtc/ATCtc	<i>missense</i>
6	31324154	<i>HLA-B; MIR6891; AL671883.3</i>	ENSG00000234745	p.H137Y	Cat/Tat	<i>missense</i>
6	32609126	<i>HLA-DQAI</i>	ENSG00000234745	p.F41S	tT/tCt	<i>missense</i>
6	36645696	<i>CDKN1A; DINOL</i>	ENSG00000124762	p.D28G	gAt/gTt	<i>missense</i>
7	1132483	<i>C7orf50; GPER1</i>	ENSG00000146540	p.S373R	Agt/Ggt	<i>missense</i>
7	1133305	<i>GPER1; C7orf50</i>	ENSG00000164850	p.L167V	Ctg/Gtg	<i>missense</i>
7	6026942	<i>PMS2</i>	ENSG00000122512	p.T298K; p.T485K; p.T350K; p.T294K; p.T382K; p.T379K; p.T174K; p.T433K	aCg/aAg	<i>missense</i>

Tabela suplementar 3: continuação (...)

Cr.	Posição	Gene	N Ensembl	Alteração na sequência proteica	Alteração na sequência codificadora	Tipo de mutação
7	87049345	<i>ABCB4</i>	ENSG00000005471	p.R788Q	cGg/cAg	<i>missense</i>
8	52321243	<i>PXDNL</i>	ENSG00000147485	p.M981V	Atg/Gtg	<i>missense</i>
8	133900252	<i>TG</i>	ENSG00000042832	p.S734A	Tct/Gct	<i>missense</i>
8	133909974	<i>TG</i>	ENSG00000042832	p.M1028V	Atg/Gtg	<i>missense</i>
8	133920518	<i>TG</i>	ENSG00000042832	p.D1312G	gAt/gTt	<i>missense</i>
8	134125682	<i>TG</i>	ENSG00000042832	p.R2530Q; p.R663Q	cGa/cAa	<i>missense</i>
9	20866974	<i>FOCAD</i>	ENSG00000188352	p.T718S; p.T154S	aGt/aCt	<i>missense</i>
9	20988426	<i>FOCAD</i>	ENSG00000188352	p.K1668E; p.K1104E	Aag/Gag	<i>missense</i>
9	27183463	<i>TEK</i>	ENSG00000120156	p.Q346P; p.Q303P; p.Q199P	cAg/cCg	<i>missense</i>
9	98270531	<i>PTCH1</i>	ENSG00000185920	p.G38V	gGt/gTt	<i>missense</i>
9	130616621	<i>ENG</i>	ENSG00000106991	p.T5M	aGt/aTg	<i>missense</i>
10	43610119	<i>RET</i>	ENSG00000165731	p.G691S; p.G437S	Ggt/AGt	<i>missense</i>
11	35229673	<i>CD44</i>	ENSG0000026508	p.I436T; p.I230T; p.I479T	aTa/aCa	<i>missense</i>
11	67258391	<i>AIP</i>	ENSG00000110711	p.Q307R	cGg/cAg	<i>missense</i>
11	108183167	<i>C11orf65; ATM</i>	ENSG00000166323	p.N1983S	aGt/aAt	<i>missense</i>
11	118939939	<i>VPS11; AP003392.6</i>	ENSG00000160695	p.Y65fs*868; p.Y75fs*868		<i>frameshift</i>
11	118940957	<i>VPS11</i>	ENSG00000160695	p.A162G; p.A152G	gCc/gTc	<i>missense</i>
11	118949331	<i>VPS11</i>	ENSG00000160695	p.A650V; p.A660V	gCt/gTt	<i>missense</i>
11	124267148	<i>OR8B3</i>	ENSG00000284609	p.V34I	Gtc/Atc	<i>missense</i>
12	40619082	<i>AC079630.1; LRRK2</i>	ENSG00000188906	p.R50H	cGc/cAc	<i>missense</i>
12	52639302	<i>KRT7; KRT7-AS</i>	ENSG00000135480	p.G364A	gGc/gCc	<i>missense</i>
12	54797042	<i>AC079313.2; AC079313.1; ITGA5</i>	ENSG00000161638	p.Q615K	Caa/Aaa	<i>missense</i>
12	121600253	<i>P2RX7</i>	ENSG00000089041	p.Y155H	Tat/Cat	<i>missense</i>
12	121605355	<i>P2RX7</i>	ENSG00000089041	p.R270H	cGt/cAt	<i>missense</i>
12	121615103	<i>P2RX7</i>	ENSG00000089041	p.A348T	Gct/Act	<i>missense</i>
12	121622520	<i>P2RX7</i>	ENSG00000089041	p.N568I	aAc/aTc	<i>missense</i>
13	25021245	<i>TPTE2P6; PARP4</i>	ENSG00000205822	p.V1065A	gTg/gCg	<i>missense</i>
13	25068808	<i>TPTE2P6; PARP4</i>	ENSG00000205822	p.F215Y	tTt/tAt	<i>missense</i>
13	32929387	<i>BRCA2</i>	ENSG00000139618	p.V2466A	gTa/gCa	<i>missense</i>
13	103527849	<i>ERCC5; BIVM-ERCC5</i>	ENSG00000134899	p.G1278R; p.G1507R; p.G286R; p.G1053R	Gga/Cga	<i>missense</i>
13	103527930	<i>ERCC5; BIVM-ERCC5</i>	ENSG00000134899	p.G1534R; p.G1080R; p.G1305R; p.G313R	Gga/Cga	<i>missense</i>
14	94849061	<i>SERPINA1</i>	ENSG00000197249	p.G172W	Ggg/Tgg	<i>missense</i>
15	31294714	<i>TRPM1</i>	ENSG00000134160	p.E1397*; p.E1375*; p.E1414*	Gaa/Taa	<i>nonsense; stop gain</i>
15	31369123	<i>TRPM1</i>	ENSG00000134160	p.M1T; p.M40T; p.M23T	aTg/aCg	<i>missense; start loss</i>
16	2814950	<i>SRRM2</i>	ENSG00000167978	p.S1474F	tCt/tTt	<i>missense</i>
16	3645607	<i>SLX4</i>	ENSG00000188827	p.L671S	tTg/tCg	<i>missense</i>
16	3647692	<i>SLX4</i>	ENSG00000188827	p.N457K	aaT/aaG	<i>missense</i>
16	3656625	<i>SLX4</i>	ENSG00000188827	p.R204C	Cgc/Tgc	<i>missense</i>
16	10995933	<i>CIITA</i>	ENSG00000179583	p.R174G; p.R175G	Gga/Aga	<i>missense</i>
17	7579472	<i>TP53</i>	ENSG00000141510	p.P72R; p.P33R	cCc/cGc	<i>missense</i>
17	39684321	<i>KRT19</i>	ENSG00000171345	p.A60G	gCc/gGc	<i>missense</i>
17	41222975	<i>BRCA1</i>	ENSG0000012048	p.M548I; p.M1605I; p.M143I; p.M510I; p.M1673I; p.M1652I	atG/atA	<i>missense</i>

Tabela suplementar 3: continuação (...)

Cr.	Posição	Gene	N Ensembl	Alteração na sequência proteica	Alteração na sequência codificadora	Tipo de mutação
17	41244936	<i>BRCA1</i>	ENSG0000012048	p.P871L; p.P824L	cCg/cTg	<i>missense</i>
17	48712705	<i>ABCC3</i>	ENSG00000108846	p.G59R	Ggg/Agg	<i>missense</i>
17	48712711	<i>ABCC3</i>	ENSG00000108846	p.L61V	CTG/GTG	<i>missense</i>
19	37644370	<i>ZNF585A</i>	ENSG00000196967	p.Q144L; p.Q89L	cAg/cTg	<i>missense</i>
19	40421537	<i>FCGBP</i>	ENSG00000196967	p.P795L	cCt/cTt	<i>missense</i>
19	45912490	<i>CD3EAP; ERCC1</i>	ENSG00000117877	p.K430del; p.K428del		<i>in-frame</i>
20	10622501	<i>JAG1</i>	ENSG00000101384	p.P871R	cCa/cGa	<i>missense</i>
20	39797465	<i>PLCG1; MIR6871</i>	ENSG00000124181	p.I813T	aTc/aCc	<i>missense</i>
20	57428947	<i>GNAS</i>	ENSG00000087460	p.R147K; p.R146K	aG/gAGg	<i>missense</i>
22	22842957	<i>ZNF280B</i>	ENSG00000275004	p.E256A	gAa/gCa	<i>missense</i>
22	45075738	<i>PRR5</i>	ENSG00000186654	p.M20T	aTg/aCg	<i>missense</i>

Tabela suplementar 4: Mutações de mudança da matriz de leitura (*frameshift*), sem sentido (*nonsense*), de sentido trocado (*missense*), e inserções ou deleções que não provocam alteração na matriz de leitura (*in-frame*) identificadas no indivíduo X.X da Família B pelo programa *Mendel*

Cr.	Posição	Gene	N Ensembl	Alteração na sequência proteica	Alteração na sequência codificadora	Tipo de mutação
1	94140375	<i>BCAR3</i>	ENSG00000137936	p.R38C	Cgc/Tgc	<i>missense</i>
1	1861581	<i>CIorf222</i>	ENSG00000142609	p.G352V	gGg/gTg	<i>missense</i>
1	220178617	<i>EPRS</i>	ENSG00000136628	p.I679T	aTa/aCa	<i>missense</i>
1	118165603	<i>FAM46C</i>	ENSG00000183508	p.R38Q	cGa/cAa	<i>missense</i>
1	152280736	<i>FLG</i>	ENSG00000143631	p.H2209R	cAt/cGt	<i>missense</i>
1	171168497	<i>FMO2</i>	ENSG00000094963	p.F166S	tTc/tCc	<i>missense</i>
1	117142700	<i>IGSF3</i>	ENSG00000143061	p.S651I	aGc/aTc	<i>missense</i>
1	117146585	<i>IGSF3</i>	ENSG00000143061	p.R449C	Cgc/Tgc	<i>missense</i>
1	117156459	<i>IGSF3</i>	ENSG00000143061	p.D254N	Gat/Aat	<i>missense</i>
1	117156585	<i>IGSF3</i>	ENSG00000143061	p.Q212*	Cag/Tag	<i>nonsense: stop gain</i>
1	159898074	<i>IGSF9</i>	ENSG00000085552	p.R1035Q	cGg/cAg	<i>missense</i>
1	33237674	<i>KIAA1522</i>	ENSG00000162522	p.S965Y	tCc/tAc	<i>missense</i>
1	201286736	<i>PKP1</i>	ENSG00000081277	p.L295V	Ctc/Gtc	<i>missense</i>
1	16255754	<i>SPEN</i>	ENSG00000065526	p.P1007T	Cca/Aca	<i>missense</i>
1	206516261	<i>SRGAP2</i>	ENSG00000163486	p.R21W	Cgg/Tgg	<i>missense</i>
1	234599631	<i>TARBPI</i>	ENSG00000059588	p.Q451*	Cag/Tag	<i>nonsense: stop gain</i>
1	212976085	<i>TATDN3</i>	ENSG00000203705	p.R101W	Cgg/Tgg	<i>missense</i>
1	85592353	<i>WDR63</i>	ENSG00000162643	p.I758L	Att/Ctt	<i>missense</i>
2	96610410	<i>ANKRD36C</i>	ENSG00000174501	p.N486Y	Aat/Tat	<i>missense</i>
2	21234674	<i>APOB</i>	ENSG00000084674	p.R1689H	cGc/cAc	<i>missense</i>
2	153575221	<i>ARL6IP6</i>	ENSG00000177917	p.Y28C	tAt/tGt	<i>missense</i>
2	30987041	<i>CAPN13</i>	ENSG00000162949	p.A219G	gCg/gGg	<i>missense</i>
2	44016824	<i>DYNC2LI</i>	ENSG00000138036	p.D95A	gAc/gCc	<i>missense</i>
2	11761089	<i>GREB1</i>	ENSG00000196208	p.R1368Q	cGg/cAg	<i>missense</i>
2	241727475	<i>KIF1A</i>	ENSG00000130294	p.II19T	aTc/aCc	<i>missense</i>
2	228195473	<i>MFF</i>	ENSG00000168958	p.P57L	cCg/cTg	<i>missense</i>
2	152402457	<i>NEB</i>	ENSG00000183091	p.V6841G	gTg/gGg	<i>missense</i>
2	28772887	<i>PLBI</i>	ENSG00000163803	p.Y340C	tAt/tGt	<i>missense</i>
2	167094638	<i>SCN9A</i>	ENSG00000169432	p.N1257S	aAt/aGt	<i>missense</i>
2	88383996	<i>SMYD1</i>	ENSG00000115593	p.P100H	cCc/cAc	<i>missense</i>
2	120005612	<i>STEAP3</i>	ENSG00000115107	p.R294C	Cgc/Tgc	<i>missense</i>
2	108998301	<i>SULT1C4</i>	ENSG00000198075	p.R85*	Cga/Tga	<i>nonsense: stop gain</i>
2	128474815	<i>WDR33</i>	ENSG00000136709	p.P928L	cCa/cTa	<i>missense</i>
2	31598325	<i>XDH</i>	ENSG00000158125	p.R508Q	cGg/cAg	<i>missense</i>
3	123019001	<i>ADCY5</i>	ENSG00000173175	p.D956N	Gac/Aac	<i>missense</i>
3	48681040	<i>CELSR3</i>	ENSG00000008300	p.N2751H	Aac/Cac	<i>missense</i>
3	196812562	<i>DLGI</i>	ENSG00000075711	p.F609C	tTt/tGt	<i>missense</i>
3	52476768	<i>SEMA3G</i>	ENSG00000010319	p.R91W	Cgg/Tgg	<i>missense</i>
3	75787770	<i>ZNF717</i>	ENSG00000227124	p.G335E	gGg/gAg	<i>missense</i>
3	75788028	<i>ZNF717</i>	ENSG00000227124	p.S249*	tCa/tGa	<i>nonsense: stop gain</i>
3	75786211	<i>ZNF717</i>	ENSG00000227124	p.S855P	Tca/Cca	<i>missense</i>

Tabela suplementar 4: continuação (...)

Cr.	Posição	Gene	N Ensembl	Alteração na sequência proteica	Alteração na sequência codificadora	Tipo de mutação
3	75786225	ZNF717	ENSG00000227124	p.T850I	aCt/aTt	missense
3	75786243	ZNF717	ENSG00000227124	p.C844Y	tGt/tAt	missense
3	75786244	ZNF717	ENSG00000227124	p.C844S	Tgt/Ag	missense
3	75786252	ZNF717	ENSG00000227124	p.P841H	cCc/cAc	missense
3	75786256	ZNF717	ENSG00000227124	p.K840*	Aaa/Taa	nonsense: stop gain
3	75786261	ZNF717	ENSG00000227124	p.G838E	gGg/gAg	missense
3	75786278	ZNF717	ENSG00000227124	p.H832Q	caT/caG	missense
3	75786288	ZNF717	ENSG00000227124	p.L829P	cTc/cCc	missense
3	75786298	ZNF717	ENSG00000227124	p.K826E	Aag/Gag	missense
3	75786337	ZNF717	ENSG00000227124	p.P813S	Cca/Tea	missense
3	75786501	ZNF717	ENSG00000227124	p.Y758F	tAt/tTt	missense
3	75786516	ZNF717	ENSG00000227124	p.T753N	aCc/aAc	missense
3	75786518	ZNF717	ENSG00000227124	p.H752Q	caT/caG	missense
3	75786827	ZNF717	ENSG00000227124	p.C649*	tgT/tgA	nonsense: stop gain
3	75786916	ZNF717	ENSG00000227124	p.E620*	Gaa/Taa	nonsense: stop gain
3	75786919	ZNF717	ENSG00000227124	p.Y619N	Tat/Aat	missense
3	75786991	ZNF717	ENSG00000227124	p.E595K	Gaa/Aaa	missense
3	75786993	ZNF717	ENSG00000227124	p.N594I	aAt/aTt	missense
3	75787015	ZNF717	ENSG00000227124	p.G587S	Ggc/Agc	missense
3	75787490	ZNF717	ENSG00000227124	p.C428*	tgT/tgA	nonsense: stop gain
3	75787620	ZNF717	ENSG00000227124	p.H385R	cAt/cGt	missense
3	75788432	ZNF717	ENSG00000227124	p.Q114H	caA/caT	missense
3	75788130	ZNF717	ENSG00000227124	p.G215V	gGg/gTg	missense
3	75787511	ZNF717	ENSG00000227124	p.K421N	aaG/aaT	missense
3	75787516	ZNF717	ENSG00000227124	p.E420Q	Gaa/Caa	missense
3	75787519	ZNF717	ENSG00000227124	p.G419W	Ggg/Tgg	missense
3	75787576	ZNF717	ENSG00000227124	p.C400R	Tgt/Cgt	missense
3	75787584	ZNF717	ENSG00000227124	p.C397F	tGt/tTt	missense
4	153874672	FHDC1	ENSG00000137460	p.R174W	Cgg/Tgg	missense
4	190862205	FRG1	ENSG00000109536	p.L14H	cTc/cAc	missense
4	190878563	FRG1	ENSG00000109536	p.A148D	gCt/gAt	missense
4	48542386	FRYL	ENSG0000075539	p.D2093E	gaT/gaG	missense
4	145041664	GYPA	ENSG00000170180	p.Y39D	Tac/Gac	missense
4	144801585	GYPE	ENSG00000197465	p.Y39D	Tac/Gac	missense
4	8293193	HTRA3	ENSG00000170801	p.V269M	Gtg/Atg	missense
4	4190595	OTOP1	ENSG00000163982	p.P592A	Cct/Gct	missense
4	4190576	OTOP1	ENSG00000163982	p.R598P	cGa/cCa	missense
4	4190577	OTOP1	ENSG00000163982	p.R598G	Cga/Gga	missense
4	20715142	PACRGL	ENSG00000163138	p.L197V	Ctg/Gtg	missense
4	169433157	PALLD	ENSG00000129116	p.L168V	Ctg/Gtg	missense
4	95578650	PDLIM5	ENSG00000163110	p.R542W	Cgg/Tgg	missense
4	104640337	TACC2	ENSG00000169836	p.II66L	Atc/Ctc	missense
5	178581161	ADAMTS2	ENSG00000087116	p.R424H	cGc/cAc	missense

Tabela suplementar 4: continuação (...)

Cr.	Posição	Gene	N Ensembl	Alteração na sequência proteica	Alteração na sequência codificadora	Tipo de mutação
5	55471984	<i>ANKRD55</i>	ENSG00000164512	p.Y103N	Tac/Aac	<i>missense</i>
5	39341303	<i>C9</i>	ENSG00000113600	p.P141T	Ccc/Acc	<i>missense</i>
5	10992686	<i>CTNNND2</i>	ENSG00000169862	p.R1063H	cGc/cAc	<i>missense</i>
5	176931871	<i>DOK3</i>	ENSG00000146094	p.R229H	cGc/cAc	<i>missense</i>
5	61779923	<i>IPO11</i>	ENSG00000086200	p.V410L	Gtc/Ctc	<i>missense</i>
5	1243727	<i>SLC6A18</i>	ENSG00000164363	p.P397T	Ccg/Acg	<i>missense</i>
5	157053610	<i>SOX30</i>	ENSG00000039600	p.N667S	aAt/aGt	<i>missense</i>
5	123979994	<i>ZNF608</i>	ENSG00000168916	p.D1356N	Gac/Aac	<i>missense</i>
6	32729613	<i>HLA-DQB2</i>	ENSG00000232629	p.E63G	gAg/gGg	<i>missense</i>
6	32497910	<i>HLA-DRB5</i>	ENSG00000198502	p.D31G	gAc/gGc	<i>missense</i>
6	32497913	<i>HLA-DRB5</i>	ENSG00000198502	p.G30V	gGg/gTg	<i>missense</i>
6	111587310	<i>KIAA1919</i>	ENSG00000173214	p.L182*	tTa/tAa	<i>nonsense: stop gain</i>
6	39328259	<i>KIF6</i>	ENSG00000164627	p.E665G	gAg/gGg	<i>missense</i>
6	31681586	<i>LY6G6E</i>	ENSG00000255552	p.G2S	Ggc/Agc	<i>missense</i>
6	138893045	<i>NHSL1</i>	ENSG00000135540	p.K2E	Aaa/Gaa	<i>missense</i>
6	154411211	<i>OPRM1</i>	ENSG00000112038	p.R274C	Cgt/Tgt	<i>missense</i>
6	32803106	<i>TAP2</i>	ENSG00000204267	p.T257I	aCc/aTc	<i>missense</i>
6	41011370	<i>TSPO2</i>	ENSG00000112212	p.Y83C	tAt/tGt	<i>missense</i>
6	31762990	<i>VARS</i>	ENSG00000204394	p.S2C	tCc/tGc	<i>missense</i>
6	133078886	<i>VNN2</i>	ENSG00000112303	p.S46F	tCt/tTt	<i>missense</i>
7	102417753	<i>FAM185A</i>	ENSG00000222011	p.Y297D	Tat/Gat	<i>missense</i>
7	100552738	<i>MUC3A</i>	ENSG00000169894	p.Q497*	Cag/Tag	<i>nonsense: stop gain</i>
7	6803602	<i>RSPH10B2</i>	ENSG00000169402	p.T148M	aCg/aTg	<i>missense</i>
7	100170596	<i>SAP25</i>	ENSG00000205307	p.T35M	aCg/aTg	<i>missense</i>
7	12683937	<i>SCIN</i>	ENSG00000006747	p.P586A	Cca/Gca	<i>missense</i>
7	142247271	<i>TRBV7-3</i>	ENSG00000211714	p.P62L	cCa/cTa	<i>missense</i>
7	142247380	<i>TRBV7-3</i>	ENSG00000211714	p.T26S	Acc/Tcc	<i>missense</i>
7	76144456	<i>UPK3B</i>	ENSG00000243566	p.R284K	aG/aAa	<i>missense</i>
8	22475050	<i>CCAR2</i>	ENSG00000158941	p.L655V	Ctg/Gtg	<i>missense</i>
8	61748826	<i>CHD7</i>	ENSG00000171316	p.Y1325H	Tac/Cac	<i>missense</i>
8	7698610	<i>DEFB104A</i>	ENSG00000176782	p.R38Q	cGg/cAg	<i>missense</i>
8	101724606	<i>PABPC1</i>	ENSG00000070756	p.T319I	aCa/aTa	<i>missense</i>
8	101721817	<i>PABPC1</i>	ENSG00000070756	p.E372G	gAa/gGa	<i>missense</i>
8	101721839	<i>PABPC1</i>	ENSG00000070756	p.V365L	Gta/Tta	<i>missense</i>
8	101721812	<i>PABPC1</i>	ENSG00000070756	p.R374C	Cgc/Tgc	<i>missense</i>
8	101721899	<i>PABPC1</i>	ENSG00000070756	p.E345*	Gaa/Taa	<i>nonsense: stop gain</i>
9	135117355	<i>NTNG2</i>	ENSG00000196358	p.V490M	Gtg/Atg	<i>missense</i>
9	125551226	<i>ORSC1</i>	ENSG00000148215	p.N5K	aaC/aaG	<i>missense</i>
9	33797951	<i>PRSS3</i>	ENSG00000010438	p.M166L	Atg/Ctg	<i>missense</i>
9	2645067	<i>VLDLR</i>	ENSG00000147852	p.V433M	Gtg/Atg	<i>missense</i>
10	61029710	<i>FAM13C</i>	ENSG00000148541	p.N272S	aAc/aGc	<i>missense</i>
10	15106413	<i>OLAHD</i>	ENSG00000152463	p.Y158C	tAc/tGc	<i>missense</i>
10	55780062	<i>PCDH15</i>	ENSG00000150275	p.D881Y	Gat/Tat	<i>missense</i>

Tabela suplementar 4: continuação (...)

Cr.	Posição	Gene	N Ensembl	Alteração na sequência proteica	Alteração na sequência codificadora	Tipo de mutação
10	103899047	<i>PPRC1</i>	ENSG00000148840	p.A261V	gCc/gTc	<i>missense</i>
10	29779847	<i>SVIL</i>	ENSG00000197321	p.L1374R	cTc/cGc	<i>missense</i>
10	123844974	<i>TACC2</i>	ENSG00000138162	p.G987R	Ggg/Cgg	<i>missense</i>
11	46637660	<i>HARBI</i>	ENSG00000180423	p.R43Q	cGg/cAg	<i>missense</i>
11	31484817	<i>IMMP1L</i>	ENSG00000148950	p.R3C	Cgt/Tgt	<i>missense</i>
11	1017316	<i>MUC6</i>	ENSG00000184956	p.P1829T	Cca/Aca	<i>missense</i>
11	1017363	<i>MUC6</i>	ENSG00000184956	p.G1813A	gGt/gCt	<i>missense</i>
11	1017152	<i>MUC6</i>	ENSG00000184956	p.I1883M	atC/atG	<i>missense</i>
11	1016910	<i>MUC6</i>	ENSG00000184956	p.T1964I	aCa/aTa	<i>missense</i>
11	1016890	<i>MUC6</i>	ENSG00000184956	p.P1971S	Cca/Tca	<i>missense</i>
11	1017069	<i>MUC6</i>	ENSG00000184956	p.T1911M	aCg/aTg	<i>missense</i>
11	1017041	<i>MUC6</i>	ENSG00000184956	p.Y1920*	taC/taA	<i>nonsense: stop gain</i>
11	1017036	<i>MUC6</i>	ENSG00000184956	p.T1922I	aCt/aTt	<i>missense</i>
11	1016957	<i>MUC6</i>	ENSG00000184956	p.R1948S	agA/agC	<i>missense</i>
11	19961224	<i>NAV2</i>	ENSG00000166833	p.E707A	gAa/gCa	<i>missense</i>
11	6942921	<i>OR2D3</i>	ENSG00000178358	p.I230T	aTt/aCt	<i>missense</i>
11	48347014	<i>OR4C3</i>	ENSG00000176547	p.W174*	tgG/tgA	<i>nonsense: stop gain</i>
11	48347067	<i>OR4C3</i>	ENSG00000176547	p.P192L	cCc/cTc	<i>missense</i>
11	48387206	<i>OR4C5</i>	ENSG00000176540	p.Y271C	tAc/tGc	<i>missense</i>
11	48387978	<i>OR4C5</i>	ENSG00000176540	p.K14*	Aaa/Taa	<i>nonsense: stop gain</i>
11	48387335	<i>OR4C5</i>	ENSG00000176540	p.C228F	tGt/tTt	<i>missense</i>
11	48387107	<i>OR4C5</i>	ENSG00000176540	p.N304S	aAc/aGc	<i>missense</i>
11	48387201	<i>OR4C5</i>	ENSG00000176540	p.R273*	Cga/Tga	<i>nonsense: stop gain</i>
11	48387164	<i>OR4C5</i>	ENSG00000176540	p.S285F	tCt/tTt	<i>missense</i>
11	48387098	<i>OR4C5</i>	ENSG00000176540	p.V307G	gT/g/Gg	<i>missense</i>
11	5410769	<i>OR51M1</i>	ENSG00000184698	p.Y47*	taC/taG	<i>nonsense: stop gain</i>
11	56468699	<i>OR9G1</i>	ENSG00000174914	p.V279E	gTg/gAg	<i>missense</i>
11	7716825	<i>OVCH2</i>	ENSG00000183378	p.A424T	Gct/Act	<i>missense</i>
11	118498729	<i>PHLDB1</i>	ENSG0000019144	p.T397R	aCa/aGa	<i>missense</i>
11	62038540	<i>SCGB2A2</i>	ENSG00000110484	p.M81I	atG/atA	<i>missense</i>
11	62984850	<i>SLC22A25</i>	ENSG00000196600	p.R256*	Cga/Tga	<i>stop_gained</i>
11	1857480	<i>SYT8</i>	ENSG00000149043	p.L175R	cTc/cGc	<i>missense</i>
12	88483048	<i>CEP290</i>	ENSG00000198707	p.R1266C	Cgc/Tgc	<i>missense</i>
12	640611882	<i>DPY19L2</i>	ENSG00000177990	p.E98*	Gaa/Taa	<i>nonsense: stop gain</i>
12	10588530	<i>KLRC2</i>	ENSG00000205809	p.R19P	cGg/cCg	<i>missense</i>
12	53097083	<i>KRT77</i>	ENSG00000189182	p.G46C	Ggt/Tgt	<i>missense</i>
12	57922164	<i>MBD6</i>	ENSG00000166987	p.G881R	Ggc/Cgc	<i>missense</i>
12	56626573	<i>SLC39A5</i>	ENSG00000139540	p.R130C	Cgt/Tgt	<i>missense</i>
12	109523509	<i>USP30</i>	ENSG00000135093	p.V443I	Gtc/Atc	<i>missense</i>
14	96730361	<i>BDKRB1</i>	ENSG00000100739	p.N114K	aaC/aaG	<i>missense</i>
14	56108429	<i>KTN1</i>	ENSG00000126777	p.K708I	aAa/aTa	<i>missense</i>
14	68191206	<i>RDH12</i>	ENSG00000139988	p.G29R	Gga/Aga	<i>missense</i>
14	94849061	<i>SERPINA1</i>	ENSG00000197249	p.G172W	Ggg/Tgg	<i>missense</i>

Tabela suplementar 4: continuação (...)

Cr.	Posição	Gene	N Ensembl	Alteração na sequência proteica	Alteração na sequência codificadora	Tipo de mutação
14	102918926	<i>TECPR2</i>	ENSG00000196663	p.T1201M	aCg/aTg	<i>missense</i>
14	68229060	<i>ZFYVE26</i>	ENSG00000072121	p.G2077R	Ggg/Agg	<i>missense</i>
15	43643979	<i>ADAL</i>	ENSG00000168803	p.L302I	Ct/Att	<i>missense</i>
15	86687049	<i>AGBL1</i>	ENSG00000166748	p.R33W	Cgg/Tgg	<i>missense</i>
15	52404510	<i>BCL2L10</i>	ENSG00000137875	p.C138W	tgC/tG	<i>missense</i>
15	49284874	<i>SECISBP2L</i>	ENSG00000138593	p.S958N	aGt/aAt	<i>missense</i>
15	74178447	<i>TBC1D21</i>	ENSG00000167139	p.V203A	g ^t g/gCg	<i>missense</i>
16	20471508	<i>ACSM2A</i>	ENSG00000183747	p.Y24*	taC/taG	<i>nonsense: stop gain</i>
16	71884820	<i>ATXN1L</i>	ENSG00000224470	p.R393C	Cgt/Tgt	<i>missense</i>
16	30904197	<i>BCL7C</i>	ENSG00000099385	p.R81*	Cga/Tga	<i>nonsense: stop gain</i>
16	70993639	<i>HYDIN</i>	ENSG00000157423	p.R2018H	cGc/cAc	<i>missense</i>
16	3614480	<i>NLRK3</i>	ENSG00000167984	p.T200I	aCc/aTc	<i>missense</i>
16	31087659	<i>ZNF646</i>	ENSG00000167395	p.P5H	cCc/cAc	<i>missense</i>
17	45258942	<i>CDC27</i>	ENSG0000004897	p.R30H	cGc/cAc	<i>missense</i>
17	45258960	<i>CDC27</i>	ENSG0000004897	p.A24G	gCg/gGg	<i>missense</i>
17	45214558	<i>CDC27</i>	ENSG0000004897	p.R631*	Cga/Tga	<i>nonsense: stop gain</i>
17	55957058	<i>CUEDC1</i>	ENSG00000180891	p.E126D	gaG/gaC	<i>missense</i>
17	21319786	<i>KCNJ12</i>	ENSG00000184185	p.E378K	Gag/Aag	<i>missense</i>
17	21319436	<i>KCNJ12</i>	ENSG00000184185	p.R261H	cGc/cAc	<i>missense</i>
17	21319087	<i>KCNJ12</i>	ENSG00000184185	p.G145S	Ggc/Agc	<i>missense</i>
17	21319439	<i>KCNJ12</i>	ENSG00000184185	p.I262S	aTc/aGc	<i>missense</i>
17	21319069	<i>KCNJ12</i>	ENSG00000184185	p.E139K	Gag/Aag	<i>missense</i>
17	43012248	<i>KIF18B</i>	ENSG00000186185	p.R176H	cGc/cAc	<i>missense</i>
17	8701222	<i>MFSD6L</i>	ENSG00000185156	p.S406L	tCg/tG	<i>missense</i>
17	10212961	<i>MYH13</i>	ENSG00000006788	p.A1615S	Gcc/Tcc	<i>missense</i>
17	10350503	<i>MYH4</i>	ENSG00000264424	p.R1666G	Aga/Gga	<i>missense</i>
17	3975970	<i>ZZEF1</i>	ENSG00000074755	p.H1256Y	Cat/Tat	<i>missense</i>
18	56247025	<i>ALPK2</i>	ENSG00000198796	p.E328G	gAg/gGg	<i>missense</i>
19	49967718	<i>ALDH16A1</i>	ENSG00000161618	p.D459V	gAc/gTc	<i>missense</i>
19	1796869	<i>ATP8B3</i>	ENSG00000130270	p.Y532D	Tac/Gac	<i>missense</i>
19	47823549	<i>C5AR1</i>	ENSG00000197405	p.F172Y	tTc/tAc	<i>missense</i>
19	40376675	<i>FCGBP</i>	ENSG00000090920	p.A3916V	gCg/gTg	<i>missense</i>
19	9002597	<i>MUC16</i>	ENSG00000181143	p.D13407N	Gac/Aac	<i>missense</i>
19	16884009	<i>NWD1</i>	ENSG00000188039	p.G828A	gGag/gCa	<i>missense</i>
19	39908657	<i>PLEKHG2</i>	ENSG00000090924	p.G332V	gGg/gTg	<i>missense</i>
19	33281952	<i>TDRD12</i>	ENSG00000173809	p.P422L	cCg/cTg	<i>missense</i>
19	57838058	<i>ZNF543</i>	ENSG00000178229	p.W68*	tGg/tAg	<i>nonsense: stop gain</i>
19	53270257	<i>ZNF600</i>	ENSG00000189190	p.C251Y	tGt/tAt	<i>missense</i>
20	29632660	<i>FRG1B</i>	ENSG00000149531	p.E159*	Gag/Tag	<i>nonsense: stop gain</i>
20	16553877	<i>KIF16B</i>	ENSG00000089177	p.R15H	cGc/cAc	<i>missense</i>
20	60895806	<i>LAMA5</i>	ENSG00000130702	p.A2213T	Gct/Act	<i>missense</i>
21	46011315	<i>KRTAPI0-6</i>	ENSG00000188155	p.R351C	Cgc/Tgc	<i>missense</i>
21	43955644	<i>SLC37A1</i>	ENSG00000160190	p.V112M	Gtg/Atg	<i>missense</i>

Tabela suplementar 4: continuação (...)

Cr.	Posição	Gene	N Ensembl	Alteração na sequência proteica	Alteração na sequência codificadora	Tipo de mutação
22	42523558	<i>CYP2D6</i>	ENSG00000100197	p.Y355C	tAc/tGc	<i>missense</i>
22	32302299	<i>DEPDC5</i>	ENSG00000100150	p.R1534Q	cGg/cAg	<i>missense</i>
22	42457056	<i>NAGA</i>	ENSG00000198951	p.E325K	Gaa/Aaa	<i>missense</i>
22	24579157	<i>SUSD2</i>	ENSG00000099994	p.G70V	gGa/gTa	<i>missense</i>
X	2835863	<i>ARSD</i>	ENSG0000006756	p.A282D	gCt/gAt	<i>missense</i>
X	2833638	<i>ARSD</i>	ENSG0000006756	p.G320D	gGc/gAc	<i>missense</i>
X	2836184	<i>ARSD</i>	ENSG0000006756	p.G175D	gGc/gAc	<i>missense</i>
X	2836211	<i>ARSD</i>	ENSG0000006756	p.L166Q	cTg/cAg	<i>missense</i>
X	2833605	<i>ARSD</i>	ENSG0000006756	p.W331*	tGg/tAg	<i>nonsense: stop gain</i>
X	55185656	<i>FAM104B</i>	ENSG0000182518	p.R9I	aGa/aTa	<i>missense</i>
X	55172630	<i>FAM104B</i>	ENSG0000182518	p.Q80*	Cag/Tag	<i>nonsense: stop gain</i>

Tabela suplementar 5: Mutações de mudança da matriz de leitura (*frameshift*), sem sentido (*nonsense*), de sentido trocado (*missense*), e inserções ou deleções que não provocam alteração na matriz de leitura (*in-frame*) identificadas no indivíduo X.X da Família C pelo programa *Ingenuity Variant Analysis™*

Cr.	Posição	Gene	N Ensembl	Alteração na sequência proteica	Alteração na sequência codificadora	Tipo de mutação
1	7995096	<i>TNFRSF9</i>	ENSG00000049249	p.P174L	cCg/cTg	<i>missense</i>
1	22163463	<i>HSPG2</i>	ENSG00000142798	p.A3397V; p.A3396V	gCa/gTa	<i>missense</i>
1	36752697	<i>THRAP3</i>	ENSG00000054118	p.S289N	Gac/Aac	<i>missense</i>
1	89322983	<i>GTF2B</i>	ENSG00000137947	p.E241D	ga/gaT	<i>missense</i>
1	101198111	<i>VCAM1</i>	ENSG00000162692	p.L493V; p.L463V; p.L555V	Cta/Gta	<i>missense</i>
1	109811735	<i>CELSR2</i>	ENSG00000143126	p.T2212M	aCg/aTg	<i>missense</i>
1	111783982	<i>CHI3L2</i>	ENSG0000064886	p.R308W; p.R239W; p.R318W	Cgg/Tgg	<i>missense</i>
1	1425753	<i>ATAD3B</i>	ENSG00000160072	p.V485A; p.V439A	gTg/gCg	<i>missense</i>
1	144952255	<i>PDE4DIP</i>	ENSG00000178104	p.P221R; p.P155R; p.P123R; p.P158R; p.P292R	cCa/cGa	<i>missense</i>
1	161518214	<i>FCGR3A/FCGR3B</i>	ENSG00000203747	p.I211V; p.I210V; p.II06V; p.II05V	Atc/Gtc	<i>missense</i>
1	161518336	<i>FCGR3A/FCGR3B</i>	ENSG00000203747	p.S170N; p.S169N; p.S64N; p.S65N	aGc/aAc	<i>missense</i>
1	169768080	<i>C1orf112</i>	ENSG00000000460	p.D44E	gaC/gaA	<i>missense</i>
1	214813392	<i>CENPF</i>	ENSG00000117724	p.Q571E	Cag/Gag	<i>missense</i>
1	1647893	<i>CDK11A</i>	ENSG0000008128	p.K115_E116dup; p.K125_E126dup	C/CTTCCTT	<i>in-frame</i>
1	1650797	<i>CDK11A</i>	ENSG0000008128	p.W109R; p.C109R	Tgg/Cgg	<i>missense</i>
1	184702008	<i>EDEM3</i>	ENSG00000116406	p.P192L	cCg/cTg	<i>missense</i>
1	184863330	<i>FAM129A</i>	ENSG00000135842	p.A66V	gCg/gTg	<i>missense</i>
1	11721281	<i>FBXO44</i>	ENSG00000132879	p.G240D	Ggt/gAt	<i>missense</i>
1	22202483	<i>HSPG2</i>	ENSG00000142798	p.P1019L; p.P1020L	cCg/cTg	<i>missense</i>
1	152681680	<i>LCE4A</i>	ENSG00000187170	p.C48_G49insCSSGGC	C/CAGCTCTGGGGCTGCTGT	<i>in-frame</i>
1	145281408	<i>LOC100996763/NOTCH2 NL</i>	ENSG00000264343	p.P113L	cCc/cTc	<i>missense</i>
1	145281543	<i>LOC100996763/NOTCH2 NL</i>	ENSG00000264343	p.T158I	aCc/aTc	<i>missense</i>
1	145281633	<i>LOC100996763/NOTCH2 NL</i>	ENSG00000264343	p.P188H	cCc/cAc	<i>missense</i>
1	228444565	<i>OBSCN</i>	ENSG00000154358	p.V1600D; p.V1508D	gTc/gAc	<i>missense</i>
1	144865850	<i>PDE4DIP</i>	ENSG00000178104	p.D1910E; p.D1976E; p.D1804E; p.D1803E; p.D2072E; p.D2047E	gaC/gaA	<i>missense</i>
1	144866643	<i>PDE4DIP</i>	ENSG00000178104	p.R1867C; p.R2004C; p.R1933C; p.R1760C; p.R2029C; p.R1761C	Cgc/Tgc	<i>missense</i>
1	144918957	<i>PDE4DIP</i>	ENSG00000178104	p.E573V; p.E476V; p.E410V; p.E547V	gAa/gTa	<i>missense</i>
1	144931461	<i>PDE4DIP</i>	ENSG00000178104	p.L83Q	gAa/gTa	<i>missense</i>
1	144994658	<i>PDE4DIP</i>	ENSG00000178104	p.R162L; p.R25L; p.R91L; p.R28L	cGc/cTc	<i>missense</i>
1	145075683	<i>PDE4DIP</i>	ENSG00000178104	p.W60*		<i>nonsense: stop gain</i>
1	207242808	<i>PFKFB2</i>	ENSG00000123836	p.R343W	Cgg/Tgg	<i>missense</i>
1	6528318	<i>PLEKHG5</i>	ENSG00000171680	p.R929C; p.R860C; p.R937C; p.R916C; p.R939C	Cgc/Tgc	<i>missense</i>
1	203008174	<i>PPFIA4</i>	ENSG00000143847	p.R13P	cGc/cCc	<i>missense</i>
1	14106394	<i>PRDM2</i>	ENSG00000116731	p.P502dup; p.P703dup	A/ACTC	<i>in-frame</i>
2	26414216	<i>HADHA</i>	ENSG00000084754	p.R732Q	cGg/cAg	<i>missense</i>
2	26678082	<i>DRC1</i>	ENSG00000157856	p.Q716P	cAg/cCg	<i>missense</i>
2	37471114	<i>NDUFAF7</i>	ENSG0000003509	p.Q166K; p.Q264K; p.Q237K; p.Q193K	Caa/Aaa	<i>missense</i>
2	43452755	<i>LINC01126; ZFP36L2</i>	ENSG00000152518	p.A63V	gCa/gTa	<i>missense</i>
2	71740897	<i>DYSF</i>	ENSG00000135636	p.A202E; p.A201E; p.A170E; p.A171E	gCg/gAg	<i>missense</i>

Tabela suplementar 5: continuação (...)

Cr.	Posição	Gene	N Ensembl	Alteração na sequência proteica	Alteração na sequência codificadora	tipo de mutação
2	133402949	<i>LYPD1; GPR39</i>	ENSG00000183840	p.A378T	Gcg/Acg	<i>missense</i>
2	219754822	<i>WNT10A</i>	ENSG00000135925	p.G165R	Ggg/Agg	<i>missense</i>
2	129075877	<i>HS6ST1</i>	ENSG00000136720	p.D87E	gaC/gaA	<i>missense</i>
2	173337618	<i>ITGA6</i>	ENSG00000091409	p.G140S	Ggt/Agt	<i>missense</i>
2	223559987	<i>MOGAT1</i>	ENSG00000124003	p.A280fs*16	aGg/ag	<i>frameshift</i>
2	219611871	<i>TTLL4</i>	ENSG00000135912	p.R707H	cGc/cAc	<i>missense</i>
2	179414162	<i>TTN</i>	ENSG00000155657	p.I29090V; p.I21858V; p.I21666V; p.I30731V; p.I21791V; p.I28163V	Ata/Gta	<i>missense</i>
3	183908978	<i>ABCF3</i>	ENSG00000161204	p.D502H	Gat/Cat	<i>missense</i>
3	56650054	<i>CCDC66</i>	ENSG00000180376	p.S606_K607insP; p.S572_K573insP	T/TCTC	<i>in-frame</i>
3	48463799	<i>PLXNB1</i>	ENSG00000164050	p.S454R	Agc/Cgc	<i>missense</i>
3	93611868	<i>PROS1</i>	ENSG00000184500	p.R355H; p.R387H	cGt/cAt	<i>missense</i>
3	184552487	<i>VPS8</i>	ENSG00000156931	p.H135R	cAc/Cgc	<i>missense</i>
3	58145348	<i>FLNB</i>	ENSG00000136068	p.I2295T; p.I2305T; p.I2308T; p.I2319T	aTt/aCt	<i>missense</i>
3	38050886	<i>PLCD1</i>	ENSG00000187091	p.M516fs*53; p.M495fs*53	Atg/tg	<i>frameshift</i>
3	113187648	<i>SPICE1</i>	ENSG00000163611	p.V298M; p.V284M	Gtg/Atg	<i>missense</i>
3	101395629	<i>ZBTB11-AS1; ZBTB11</i>	ENSG00000066422	p.G44S	Ggc/AGC	<i>missense</i>
3	88189580	<i>ZNF654; CGGBP1</i>	ENSG00000163320	p.S709A; p.S808A; p.S921A; p.S647A	Tct/Gct	<i>missense</i>
4	79507417	<i>ANXA3</i>	ENSG00000138772	p.A106T	Gcg/Acg	<i>missense</i>
4	104061059	<i>CENPE</i>	ENSG00000138778	p.L2031F	Ctt/Ttt	<i>missense</i>
4	129809905	<i>SCLT1</i>	ENSG00000151466	p.Q645E	Caa/Gaa	<i>missense</i>
4	166159933	<i>KLHL2</i>	ENSG00000109466	p.E92G; p.E88G	gAg/gGg	<i>missense</i>
5	77425028	<i>AP3B1</i>	ENSG00000132842	p.V536E; p.V585E	gTa/gAa	<i>missense</i>
5	71492691	<i>MAPIB</i>	ENSG00000131711	p.Y1170C; p.Y1044C	tAc/tGc	<i>missense</i>
5	74652199	<i>HMGCR</i>	ENSG00000113161	p.I638V; p.I585V	Ata/Gta	<i>missense</i>
5	96341912	<i>LNPEP</i>	ENSG00000113441	p.P627S; p.P641S	Cct/Tct	<i>missense</i>
5	133561540	<i>PPP2CA</i>	ENSG00000113575	p.V5L	Gta/Cta	<i>missense</i>
5	133901939	<i>JADE2</i>	ENSG00000043143	p.G384V; p.G368V	gGc/gTc	<i>missense</i>
5	139931629	<i>SRA1</i>	ENSG00000213523	p.V110L	Gtg/Ctg	<i>missense</i>
5	156929816	<i>ADAM19</i>	ENSG00000135074	p.E435K	Gaa/Aaa	<i>missense</i>
5	176759170	<i>LMAN2</i>	ENSG00000169223	p.A330T	Gct/Act	<i>missense</i>
5	156479568	<i>HAVCRI</i>	ENSG00000113249	p.T160dup	C/CGTT	<i>in-frame</i>
5	156514189	<i>HAVCR2</i>	ENSG00000135077	p.P277L	cCc/cTc	<i>missense</i>
5	122365083	<i>PPIC</i>	ENSG00000168938	p.D50fs*6	Gat/at	<i>frameshift</i>
5	149360877	<i>SLC26A2</i>	ENSG00000155850	p.I574T	aTt/aCt	<i>missense</i>
5	139931628	<i>SRA1</i>	ENSG00000213523	p.V110delinsGL		<i>in-frame</i>
5	167858371	<i>WWC1</i>	ENSG00000113645	p.M734I	atG/atT	<i>missense</i>
6	136599822	<i>BCLAF1</i>	ENSG00000029363	p.G66A; p.G64A	gGa/gCaa	<i>missense</i>
6	30675997	<i>MDC1</i>	ENSG00000137337	p.G787R	Gga/Aga	<i>missense</i>
6	136589425	<i>BCLAF1</i>	ENSG00000029363	p.P758T; p.P585T; p.P756T	Cct/Act	<i>missense</i>
6	136590698	<i>BCLAF1</i>	ENSG00000029363	p.R697H; p.R526H; p.R699H	cGc/cAc	<i>missense</i>
6	136599489	<i>BCLAF1</i>	ENSG00000029363	p.S175N; p.S177N	aGt/aAt	<i>missense</i>
6	12122700	<i>HIVEPI</i>	ENSG00000095951	p.G891E	gGg/gAg	<i>missense</i>

Tabela suplementar 5: continuação (...)

Cr.	Posição	Gene	N Ensembl	Alteração na sequência proteica	Alteração na sequência codificadora	tipo de mutação
6	29910717	<i>HLA-A</i>	ENSG00000206503	p.Q86R	cAg/cGg	missense
6	31238957	<i>HLA-C</i>	ENSG00000204525	p.L171W	tTg/tGg	missense
6	31239378	<i>HLA-C</i>	ENSG00000204525	p.D114A	gAc/gCc	missense
6	31239430	<i>HLA-C</i>	ENSG00000204525	p.A97T	Gct/Act	missense
6	31379817	<i>MICA</i>	ENSG00000204520	p.I139T; p.I236T; p.I98T	aTa/aCa	missense
6	154428666	<i>OPRM1</i>	ENSG00000112038	p.Q411*	Cag/Tag	nonsense: stop gain
6	31731303	<i>SAPCD1; MSH5-SAPCD1</i>	ENSG00000228727	p.Q76*	Cag/Tag	nonsense: stop gain
7	42005588	<i>GLI3</i>	ENSG00000106571	p.S1028I	aGc/aTc	missense
7	883107	<i>SUN1</i>	ENSG00000164828	p.A203V; p.A224V; p.A153V	gCg/gTg	missense
7	151945007	<i>KMT2C</i>	ENSG00000055609	p.G838S	Ggt/Agt	missense
7	151945204	<i>KMT2C</i>	ENSG00000055609	p.S772L	tCa/tTa	missense
7	151945256	<i>KMT2C</i>	ENSG00000055609	p.Q755*	Caa/Taa	nonsense: stop gain
7	151970856	<i>KMT2C</i>	ENSG00000055609	p.T316S	Acc/Tcc	missense
7	142983834	<i>LOC105375545; TMEM139; CASP2</i>	ENSG00000106144	p.P188L	Acc/TCcc	missense
7	100205706	<i>PCOLCE</i>	ENSG00000106333	p.A444P	Get/Cct	missense
7	121653375	<i>PTPRZ1</i>	ENSG00000106278	p.D1431del	GGTGAT/GGT	in-frame
8	21767265	<i>DOK2</i>	ENSG00000147443	p.R112W; p.R266W	Cgg/Tgg	missense
8	10467589	<i>RPIL1</i>	ENSG00000183638	p.E1340G	gAa/gGa	missense
8	17541943	<i>MTUS1</i>	ENSG00000129422	p.K857T; p.K911T; p.K158T; p.K77T; p.K56T	GAA/GGA	missense
8	38162945	<i>NSD3</i>	ENSG00000147548	p.S754L	tCg/tTg	missense
8	41530332	<i>ANK1</i>	ENSG00000029534	p.V1587I; p.V1546I	Gtc/Atc	missense
8	17612931	<i>MTUS1</i>	ENSG00000129422	p.G129D	gGc/gAc	missense
8	81399567	<i>ZBTB10</i>	ENSG00000205189	p.M174I	atG/atA	missense
9	140777306	<i>CACNA1B; LOC100133077</i>	ENSG00000148408	p.N167K	aaC/aaA	missense
9	137716639	<i>COL5A1</i>	ENSG00000130635	p.T1631K	aCg/aAg	missense
9	377041	<i>DOCK8</i>	ENSG00000107099	p.I689S; p.I757S	aGc/aTc	missense
9	19096763	<i>HAUS6</i>	ENSG00000147874	p.M45V	Atg/Gtg	missense
9	131671142	<i>LRRK8A</i>	ENSG00000136802	p.V567M	Gtg/Atg	missense
9	134351730	<i>PRRC2B</i>	ENSG00000130723	p.L1405R	cTg/cGg	missense
9	139935163	<i>NPDC1</i>	ENSG00000107281	p.G195S	Ggt/Agt	missense
9	33794809	<i>PRSS3</i>	ENSG00000010438	p.S7N	aGt/aAt	missense
9	33794812	<i>PRSS3</i>	ENSG00000010438	p.G8V	gGc/gTc	missense
9	33797891	<i>PRSS3</i>	ENSG00000010438	p.N89Y; p.N82Y; p.N146Y; p.N103Y	gGc/gTcc	missense
9	33798017	<i>PRSS3</i>	ENSG00000010438	p.A131T; p.A188T; p.A145T; p.A124T	Gcc/Acc	missense
10	97748040	<i>CC2D2B</i>	ENSG00000188649	p.V774I	Gt/Att	missense
10	125780759	<i>CHST15</i>	ENSG00000182022	p.P454A	Ccc/Gcc	missense
10	69672479	<i>SIRT1</i>	ENSG00000096717	p.E536K; p.E233K; p.E241K	Gaa/Aaa	missense
10	81371637	<i>SFTP1</i>	ENSG00000122852	p.V34A; p.V19A	gTg/gCg	missense
10	121429394	<i>BAG3</i>	ENSG00000151929	p.R71Q	cGg/cAg	missense
10	129911856	<i>MKI67</i>	ENSG00000148773	p.E497D; p.E137D	gaG/gaT	missense
10	29779847	<i>SVIL</i>	ENSG00000197321	p.L1374R; p.L948R; p.L1064R; p.L980R	cTc/cGc	missense

Tabela suplementar 5: continuação (...)

Cr.	Posição	Gene	N Ensembl	Alteração na sequência proteica	Alteração na sequência codificadora	tipo de mutação
11	62292882	AHNAK	ENSG00000124942	p.Q300K	Caa/Aaa	missense
11	125830970	CDON	ENSG00000064309	p.II244N; p.II221N	aTc/aAc	missense
11	47772545	FNBP4	ENSG00000109920	p.I279V; p.I277V	Ata/Gta	missense
11	560683	RASSF7; LMNTD2	ENSG00000185522	p.E12K	Gag/Aag	missense
11	67816463	TCIRG1	ENSG00000110719	p.V558L; p.V342L	Gtg/Ctg	missense
11	71184678	NADSYN1	ENSG00000172890	p.Q204H	caA/caC	missense
11	76813926	OMP; CAPN5	ENSG00000149260	p.P14L	cCg/cTg	missense
11	124267148	OR8B2/OR8B3	ENSG00000284609	p.V34I	Gtc/Atc	missense
11	60689534	TMEM109	ENSG00000110108	p.A210V	gCc/gTc	missense
11	118939939	VPS11	ENSG00000160695	p.L75fs*32; p.L65fs*32	T/TC	frameshift
12	9258857	A2M	ENSG00000175899	p.R360Q; p.R260Q; p.R210Q	cGa/cAa	missense
12	7080212	EMG1; PHB2	ENSG00000215021	p.R42S	agG/agC	missense
12	7080212	EMG1; PHB2	ENSG00000215021	p.R42S	agG/agC	missense
12	122296608	HPD	ENSG00000158104	p.S5R	agT/agG	missense
12	123892186	KMT5A	ENSG00000183955	p.L275P; p.L332P; p.L224P; p.L302P	cTc/cCc	missense
12	52912909	KRT5	ENSG00000186081	p.D197E	gaC/gaA	missense
12	15793657	EPS8	ENSG00000151491	p.P601S	Cct/Tct	missense
12	68051420	DYRK2	ENSG00000127334	p.H172N; p.H245N	Cac/Aac	missense
12	123879666	KMT5A	ENSG00000183955	p.K13R; p.K91R; p.K64R; p.K121R	aAa/aGa	missense
12	123879668	KMT5A	ENSG00000183955	p.G92R; p.G122R; p.G65R; p.G14R	Ggt/Cgt	missense
12	123892095	KMT5A	ENSG00000183955	p.C302R; p.C272R; p.C194R; p.C245R	Tgt/CGt	missense
12	124824721	NCOR2	ENSG00000196498	p.S1827_G1829dup; p.S1837_G1839dup	-/AGCAGCG	in-frame
12	80899901	PTPRQ	ENSG00000139304	p.Q791K	Caa/Aaa	missense
13	48528684	SUCLA2	ENSG00000136143	p.M271V	Atg/Gtg	missense
13	49281897	CYSLTR2	ENSG00000152207	p.R315K	aGa/aAa	missense
13	110866346	COL4A1	ENSG00000187498	p.P54L	cCg/cTg	missense
14	23548787	ACIN1	ENSG00000100813	p.S603_R604insHS; p.S643_R644insHS	C/CGTGAAT	in-frame
14	55604883	LGALS3	ENSG00000131981	p.G47R	Ggg/Agg	missense
14	74970041	LTBP2	ENSG00000119681	p.V1590A	gTc/gCc	missense
14	61924239	PRKCH	ENSG00000027075	p.V374I	Ata/Ata	missense
14	75277068	YLPM1	ENSG00000119596	p.V1725I	Gtt/Att	missense
15	59981515	BNIP2	ENSG00000140299	p.V42A	gTg/gCg	missense
15	41797721	LTK	ENSG00000062524	p.R439S; p.R569S; p.R508S	Cgc/Agc	missense
15	33445438	FMN1	ENSG00000248905	p.R560C	Cgt/Tgt	missense
15	33446160	FMN1	ENSG00000248905	p.R319Q	cGg/cAg	missense
15	41339697	INO80	ENSG00000128908	p.I882V	Att/Gtt	missense
15	43818926	MAP1A	ENSG00000166963	p.A1752V	gCc/gTc	missense
15	41865525	TYRO3	ENSG00000092445	p.V669L; p.V624L	Gtg/Ttg	missense
16	83214559	CDH13	ENSG00000140945	p.I190V	Ata/Gta	missense
16	89713096	CHMP1A	ENSG00000131165	p.H130Y	Tac/Cac	missense
16	2160312	PKD1	ENSG0000008710	p.S1619F	tCc/tTc	missense
16	11785220	TXND11	ENSG00000153066	p.A609V; p.A157V; p.A636V; p.A395V	gCg/gTg	missense
17	45214519	CDC27	ENSG00000004897	p.W644R; p.W638R; p.W637R; p.W577R	Tgg/Cgg	missense

Tabela suplementar 5: continuação (...)

Cr.	Posição	Gene	N Ensembl	Alteração na sequência proteica	Alteração na sequência codificadora	tipo de mutação
17	45214527	<i>CDC27</i>	ENSG00000004897	p.Y574C; p.Y641C; p.Y635C; p.Y634C	tAt/tGt	<i>missense</i>
17	45214558	<i>CDC27</i>	ENSG00000004897	p.R625*; p.R624*; p.R564*; p.R631*	Cga/Tga	<i>nonsense: stop gain</i>
17	39974511	<i>FKBP10</i>	ENSG00000141756	p.G188S	Ggc/Agc	<i>missense</i>
17	21318867	<i>KCNJ12</i>	ENSG00000184185	p.M71I	atG/atA	<i>missense</i>
17	21319069	<i>KCNJ12</i>	ENSG00000184185	p.E139K	Gag/Aag	<i>missense</i>
17	21319087	<i>KCNJ12</i>	ENSG00000184185	p.G145S	Ggc/Agc	<i>missense</i>
17	21319121	<i>KCNJ12</i>	ENSG00000184185	p.P156L	cCg/cTg	<i>missense</i>
17	21319439	<i>KCNJ12</i>	ENSG00000184185	p.I262S	aTc/aGc	<i>missense</i>
17	21204210	<i>MAP2K3</i>	ENSG00000034152	p.Q73*; p.Q102*	Cag/Tag	<i>nonsense: stop gain</i>
17	21207774	<i>MAP2K3</i>	ENSG00000034152	p.G173D; p.G202D	gAt/gGt	<i>missense</i>
17	21217513	<i>MAP2K3</i>	ENSG00000034152	p.V339M; p.V310M	Gtg/Atg	<i>missense</i>
17	3599205	<i>P2RX5; P2RX5-TAX1BP3</i>	ENSG00000083454	p.L32Q	cTg/cAg	<i>missense</i>
17	5289554	<i>NUP88; RABEPI</i>	ENSG00000029725	p.N733S; p.N749S	aAt/aGt	<i>missense</i>
17	7750903	<i>KDM6B</i>	ENSG00000132510	p.S433P	Tct/Cct	<i>missense</i>
17	40477064	<i>STAT3</i>	ENSG00000168610	p.V461L	Gtt/Ctt	<i>missense</i>
17	45214564	<i>CDC27</i>	ENSG00000004897	p.C622S; p.C629S; p.C623S; p.C562S	Tgt/Agt	<i>missense</i>
17	45904444	<i>MRPL10</i>	ENSG00000159111	p.R127W; p.R117W	Cgg/Tgg	<i>missense</i>
17	55183195	<i>AKAP1</i>	ENSG00000121057	p.R124C	Cgc/Tgc	<i>missense</i>
17	80684784	<i>FN3KRP</i>	ENSG00000141560	p.V223I	Gta/Ata	<i>missense</i>
17	71377042	<i>SDK2</i>	ENSG00000069188	p.E1585K	Gag/Aag	<i>missense</i>
17	74383108	<i>SPHK1</i>	ENSG00000176170	p.R199fs*17; p.R213fs*17; p.R285fs*17	cGt/ct	<i>frameshift</i>
17	5036205	<i>USP6</i>	ENSG00000129204	p.K66Q	Aaa/Caa	<i>missense</i>
18	13001512	<i>CEP192</i>	ENSG00000101639	p.G74A	gGg/gCg	<i>missense</i>
18	50683852	<i>DCC</i>	ENSG00000187323	p.T463M	aCg/aTg	<i>missense</i>
18	6949162	<i>LAMA1</i>	ENSG00000101680	p.V2832L	Gtc/Ctc	<i>missense</i>
18	9258088	<i>ANKRD12</i>	ENSG00000101745	p.K1585R; p.K1608R	aAa/aGa	<i>missense</i>
18	13029986	<i>CEP192</i>	ENSG00000101639	p.E459K	Gaa/Aaa	<i>missense</i>
19	49314261	<i>BCAT2</i>	ENSG00000105552	p.A2T	Acc/Gcc	<i>missense</i>
19	55790886	<i>HSPBP1</i>	ENSG00000133265	p.G74_G76dup; p.G28_G30dup	A/AGCCGCCGCC	<i>in-frame</i>
19	54745507	<i>LILRA6; LILRB3</i>	ENSG00000204577	p.M201I	atG/atA	<i>missense</i>
19	54745550	<i>LILRA6; LILRB3</i>	ENSG00000204577	p.T187N; p.N187T	aAc/aCCc	<i>missense</i>
19	55144710	<i>LILRB1</i>	ENSG00000104972	p.Q401L	cAg/cTg	<i>missense</i>
19	35758275	<i>LSR; USF2</i>	ENSG00000105698	p.R519dup; p.R500dup; p.R411dup; p.R451dup; p.R499dup	G/GGGA	<i>in-frame</i>
19	55697712	<i>PTPRH</i>	ENSG00000080031	p.Q709*; p.Q887*	Cag/Tag	<i>nonsense: stop gain</i>
19	10279006	<i>DNMT1</i>	ENSG00000130816	p.P252L; p.P268L; p.P147L	cCa/cTa	<i>missense</i>
19	16006361	<i>CYP4F2</i>	ENSG00000186115	p.S100G	Agt/Ggt	<i>missense</i>
19	44006342	<i>PHLDB3</i>	ENSG00000176531	p.G103R	Gga/Aga	<i>missense</i>
19	49298715	<i>BCAT2</i>	ENSG00000105552	p.I343F; p.I383F; p.I291F	Atc/Ttc	<i>missense</i>
19	44377357	<i>ZNF404</i>	ENSG00000176222	p.G337S	Ggt/Agt	<i>missense</i>
20	37378721	<i>ACTR5</i>	ENSG00000101442	p.M148I	atG/atA	<i>missense</i>
20	1895796	<i>SIRPA</i>	ENSG00000198053	p.L44S	tTg/TCg	<i>missense</i>

Tabela suplementar 5: continuação (...)

Cr.	Posição	Gene	N Ensembl	Alteração na sequência proteica	Alteração na sequência codificadora	tipo de mutação
20	1895835	<i>SIRPA</i>	ENSG00000198053	p.A57V	gC/gTg	missense
20	1592312	<i>SIRPB1</i>	ENSG00000101307	p.I42V	Ata/Gta	missense
20	3405927	<i>CEP250</i>	ENSG00000126001	p.A334V	gC/gTg	missense
21	46876580	<i>COL18A1</i>	ENSG00000182871	p.T379M	aCg/atg	missense
21	34948697	<i>SON</i>	ENSG00000159140	p.R444fs*8; p.R2416fs*8	agA/ag	frameshift
21	35893693	<i>RCAN1</i>	ENSG00000159200	p.M175I	atG/atA	missense
22	25010828	<i>GGT1</i>	ENSG00000100031	p.G84S (não é polimorfismo)	Ggc/Agc	missense
22	25010828	<i>GGT1</i>	ENSG00000100031	p.G84S	Ggc/Agc	missense
22	36685292	<i>MYH9</i>	ENSG00000100345	p.R1466W	Cgg/Tgg	missense
22	32586875	<i>RFPL2</i>	ENSG00000128253	p.R251C; p.R280C; p.R341C	Cgc/Tgc	missense
22	25435028	<i>KIAA1671</i>	ENSG00000197077	p.R644L	cGt/cTt	missense
22	29913033	<i>THOC5</i>	ENSG00000100296	p.I56V	Atc/Gtc	missense
22	41546158	<i>EP300</i>	ENSG00000100393	p.P925T	Cct/Act	missense
X	118603844	<i>SLC25A5; SLC25A5-AS1</i>	ENSG0000005022	p.L111R	cTc/cGc	missense
X	8764370	<i>FAM9A</i>	ENSG00000183304	p.A143T	Gca/Aca	missense
X	53459205	<i>HSD17B10</i>	ENSG00000072506	p.R116Q	cGa/Aa	missense
X	100615643	<i>BTK</i>	ENSG00000010671	p.A264V; p.A230V	gC/gTg	missense
X	110574222	<i>DCX</i>	ENSG00000077279	p.A286S; p.A367S	Gca/Tca	missense
X	119387833	<i>ZBTB33</i>	ENSG00000177485	p.D194dup	C/CTGA	in-frame

Tabela suplementar 6: Mutações de mudança da matriz de leitura (*frameshift*), sem sentido (*nonsense*), de sentido trocado (*missense*), e inserções ou deleções que não provocam alteração na matriz de leitura (*in-frame*) identificadas no indivíduo X.X da Família C pelo programa *Mendel*

Cr.	Posição	Gene	N Ensembl	Alteração na sequência proteica	Alteração na sequência codificadora	Tipo de mutação
1	1647893	ADAMTS20	ENSG00000173157	p.Y1364N	Tac/Aac	<i>missense</i>
1	109811735	AFAP1L2	ENSG00000169129	p.L110LR	-/CGG	<i>missense</i>
1	214813392	AGBL4	ENSG00000186094	p.M338I	atG/atA	<i>missense</i>
1	149676508	ANKRD33	ENSG00000167612	p.R199Q	cGg/cAg	<i>missense</i>
1	117142700	ANKRD36	ENSG00000135976	p.L506P	cTa/cCa	<i>missense</i>
1	117142700	ANKRD36C	ENSG00000174501	p.N486Y	Aat/Tat	<i>missense</i>
1	117156585	ANKRD36C	ENSG00000174501	p.F490F?	-/T	<i>frameshift</i>
1	248616292	APIS3	ENSG00000152056	p.R33W	Cgg/Tgg	<i>missense</i>
1	248637046	ARHGAP20	ENSG00000137727	p.R887W	Cgg/Tgg	<i>missense</i>
1	248801944	ATP8B4	ENSG00000104043	p.R20G	Cgt/Ggt	<i>missense</i>
1	248802366	BCLAF1	ENSG0000029363	p.P758T	Cct/Act	<i>missense</i>
1	158747043	C7orf31	ENSG00000153790	p.G527R	Ggt/Cgt	<i>missense</i>
1	207242808	C9orf50	ENSG00000179058	p.Q406H	caG/caT	<i>missense</i>
1	6528318	CACNA2D4	ENSG00000151062	p.A730V	gCg/gTg	<i>missense</i>
1	158589105	CATSPER2	ENSG00000166762	p.R517H	cGu/At	<i>missense</i>
1	206516261	CCDC158	ENSG00000163749	p.E513K	Gag/Aag	<i>missense</i>
1	101198111	CENNI2	ENSG00000205089	p.F166S	tCc/tCc	<i>missense</i>
2	97830192	CD3EAP	ENSG00000117877	p.KK429K	AAG/-	<i>missense</i>
2	96610410	CDC27	ENSG00000004897	p.W644R	Tgg/Cgg	<i>missense</i>
2	96610395	CDC27	ENSG00000004897	p.R631*	Cga/Tga	<i>nonsense</i>
2	224642493	CDK11A	ENSG00000008128	p.R117KER	aga/aAGAAAga	<i>frameshift</i>
2	238289984	CELSR2	ENSG00000143126	p.T2212M	aCg/aTg	<i>missense</i>
2	129075877	CENPE	ENSG00000138778	p.L2031F	Ct/Ttt	<i>missense</i>
2	42990225	CENPF	ENSG00000117724	p.Q571E	Caa/Gaa	<i>missense</i>
2	219528898	CEP41	ENSG00000106477	p.R136L	cGc/cTc	<i>missense</i>
2	241513621	COL18A1	ENSG00000182871	p.PPGP1361P	GGCCCCCA/-	<i>frameshift</i>
2	219611871	COL6A3	ENSG00000163359	p.D491H	Gac/Cac	<i>missense</i>
2	219754822	CRISPI	ENSG00000124812	p.A71T	Gct/Act	<i>missense</i>
3	52423486	CTC1	ENSG00000178971	p.R818Q	cGa/cAa	<i>missense</i>
3	58145348	DAAM2	ENSG00000146122	p.R633W	Cgg/Tgg	<i>missense</i>
3	12942850	DCC	ENSG00000187323	p.T463M	aCg/aTg	<i>missense</i>
3	184429133	DCPIB	ENSG00000151065	p.Q261QQ	caa/caGCAa	<i>frameshift</i>
3	38050885	DNAH1	ENSG00000114841	p.R3169G	Cgc/Ggc	<i>missense</i>
3	93611868	DNAH17	ENSG00000187775	p.R1344C	Cgt/Tgt	<i>missense</i>
3	185209413	FAM104B	ENSG00000182518	p.R9I	aGa/aTa	<i>missense</i>
3	75788150	FAM185A	ENSG00000222011	p.Y297D	Tat/Gat	<i>missense</i>
3	75788028	FAM216B	ENSG00000179813	p.M1V	Atg/Gtg	<i>missense</i>
3	75787645	FAM231D	ENSG00000203815	p.T147S	Acc/Tcc	<i>missense</i>
3	75787032	FAM53A	ENSG00000174137	p.E278D	gaG/gaC	<i>missense</i>
3	75786991	FAM9A	ENSG00000183304	p.A143T	Gca/Aca	<i>missense</i>
3	75786919	FCGBP	ENSG00000090920	p.A3916V	gCg/gTg	<i>missense</i>

Tabela suplementar 6: continuação (...)

Cr.	Posição	Gene	N Ensembl	Alteração na sequência proteica	Alteração na sequência codificadora	Tipo de mutação
3	75786827	<i>FGFBP1</i>	ENSG00000137440	p.S220A	Tct/Gct	<i>missense</i>
3	75786518	<i>FKBP10</i>	ENSG00000141756	p.G188S	Ggc/Agc	<i>missense</i>
3	75786314	<i>FLNB</i>	ENSG00000136068	p.I2350T	aTt/aCt	<i>missense</i>
3	75786288	<i>FRG1</i>	ENSG00000109536	p.I178M	atC/atG	<i>missense</i>
3	75786278	<i>FRG1</i>	ENSG00000109536	p.D218E	gaC/gaG	<i>missense</i>
3	75786261	<i>FRG1</i>	ENSG00000109536	p.H241Q	caT/caA	<i>missense</i>
3	75786256	<i>FRG1</i>	ENSG00000109536	p.A148D	gCu/gAt	<i>missense</i>
3	75786252	<i>FRG1</i>	ENSG00000109536	p.R106S	agA/agC	<i>missense</i>
3	75787516	<i>FRG1B</i>	ENSG00000149531	p.R39S	agA/agC	<i>missense</i>
3	75790466	<i>FRG1B</i>	ENSG00000149531	p.G59VG	ctt/cTTGtt	<i>frameshift</i>
3	75786802	<i>GPR84</i>	ENSG00000139572	p.R378H	cGc/cAc	<i>missense</i>
3	75786501	<i>HAUS6</i>	ENSG00000147874	p.M45V	Atg/Gtg	<i>missense</i>
3	75786314	<i>HIVEPI</i>	ENSG00000095951	p.G891E	gGg/gAg	<i>missense</i>
3	75786288	<i>HPSE2</i>	ENSG00000172987	p.Y211H	Tat/Cat	<i>missense</i>
3	75786243	<i>HS6ST1</i>	ENSG00000136720	p.D87E	gaC/gaA	<i>missense</i>
3	75786211	<i>HYDIN</i>	ENSG00000157423	p.I3904	atT/at	<i>missense</i>
3	75788316	<i>IGLJ2</i>	ENSG00000211676	p.G21R?	-/A	<i>frameshift</i>
3	75788245	<i>IGLV5-48</i>	ENSG00000211647	p.Q106*	Cag/Tag	<i>nonsense</i>
3	75788130	<i>IGLV7-46</i>	ENSG00000211649	p.P15	tgC/tg	<i>missense</i>
3	75788366	<i>IGSF3</i>	ENSG00000143061	p.S651I	aGc/aTc	<i>missense</i>
4	122592742	<i>IGSF3</i>	ENSG00000143061	p.R449C	Cgc/Tgc	<i>missense</i>
4	122592742	<i>IGSF3</i>	ENSG00000143061	p.Q212*	Cag/Tag	<i>nonsense</i>
4	77288740	<i>IQSEC1</i>	ENSG00000144711	p.A993	Gcc/cc	<i>missense</i>
4	104061059	<i>KCNJ12</i>	ENSG00000184185	p.D173N	Gac/Aac	<i>missense</i>
4	104061059	<i>KCNJ12</i>	ENSG00000184185	p.L211F	Ctc/Ttc	<i>missense</i>
4	1656753	<i>KCNJ12</i>	ENSG00000184185	p.E378K	Gag/Aag	<i>missense</i>
4	15937598	<i>KCNJ12</i>	ENSG00000184185	p.I262S	aTc/aGc	<i>missense</i>
4	190876192	<i>KCNJ12</i>	ENSG00000184185	p.E139K	Gag/Aag	<i>missense</i>
4	190883001	<i>KCNJ12</i>	ENSG00000184185	p.T142N	aCc/aAc	<i>missense</i>
4	190883070	<i>KCNJ12</i>	ENSG00000184185	p.G145S	Ggc/Agc	<i>missense</i>
4	190876192	<i>NKG2-E</i>	ENSG00000205809	p.R19P	cGg/cCg	<i>missense</i>
4	4190576	<i>KMT2C</i>	ENSG00000055609	p.Q755*	Caa/Taa	<i>nonsense</i>
4	4190595	<i>KRTAP9-9</i>	ENSG00000198083	p.S161Y	tCc/tAc	<i>missense</i>
4	4190577	<i>LAMA1</i>	ENSG00000101680	p.V2832L	Gtg/Ttg	<i>missense</i>
4	183601761	<i>MAGEF1</i>	ENSG00000177383	p.D159ED	gtat/gGGAt	<i>missense</i>
5	132084106	<i>MALRD1</i>	ENSG00000204740	p.I472T	aTt/aCt	<i>missense</i>
5	149449542	<i>MAP1B</i>	ENSG00000131711	p.Y1170C	tAt/tGt	<i>missense</i>
5	71492691	<i>MAP2K3</i>	ENSG00000034152	p.G202D	gGc/gAc	<i>missense</i>
5	175811094	<i>METTL7B</i>	ENSG00000170439	p.P101L	cCc/cTc	<i>missense</i>
6	136589425	<i>MRPL10</i>	ENSG00000159111	p.R127W	Cgg/Tgg	<i>missense</i>
6	49815997	<i>MUC3A</i>	ENSG00000169894	p.Q497*	Cag/Tag	<i>nonsense</i>
6	49815997	<i>MUC3A</i>	ENSG00000169894	p.T380I	aCa/aTa	<i>missense</i>
6	39851789	<i>MUC3A</i>	ENSG00000169894	p.P443L	cCg/cTg	<i>missense</i>

Tabela suplementar 6: continuação (...)

Cr.	Posição	Gene	N Ensembl	Alteração na sequência proteica	Alteração na sequência codificadora	Tipo de mutação
6	39851789	<i>MUC3A</i>	ENSG00000228273	p.S207SS	ccc/cCCTcc	<i>missense</i>
6	12122700	<i>MUC3A</i>	ENSG00000169894	p.T380I	aCa/aTa	<i>missense</i>
6	31731303	<i>MUC6</i>	ENSG00000184956	p.P1829T	Cca/Aca	<i>missense</i>
6	31731303	<i>MUC6</i>	ENSG00000184956	p.T1964I	aCa/aTa	<i>missense</i>
7	25175785	<i>MUC6</i>	ENSG00000184956	p.Y1920*	taC/taA	<i>nonsense</i>
7	25175785	<i>MUC6</i>	ENSG00000184956	p.P1971S	Cca/Tca	<i>missense</i>
7	130044420	<i>MUC6</i>	ENSG00000184956	p.T1922I	aCt/aTt	<i>missense</i>
7	130044420	<i>MUC6</i>	ENSG00000184956	p.G1813A	gGt/gCt	<i>missense</i>
7	100550032	<i>MYH9</i>	ENSG00000100345	p.R1466W	Cgg/Tgg	<i>missense</i>
7	100552388	<i>NOP16</i>	ENSG00000048162	p.R195H?	cgt/cACgt	<i>missense</i>
7	100550032	<i>NPDC1</i>	ENSG00000107281	p.G273S	Ggt/Agt	<i>missense</i>
7	102235769	<i>NUDT15</i>	ENSG00000136159	p.R139H	cGt/cAt	<i>missense</i>
7	142983834	<i>NUP133</i>	ENSG00000069248	p.L522	ctG/ct	<i>missense</i>
7	142247380	<i>OR10Q1</i>	ENSG00000180475	p.RNK298K	aGGAACAag/aag	<i>missense</i>
7	142247271	<i>OR2T2</i>	ENSG00000196240	p.S65I	aGc/aTc	<i>missense</i>
8	38162945	<i>OR2T3</i>	ENSG00000196539	p.C132Y	tGc/tAc	<i>missense</i>
9	19096763	<i>OR2T35</i>	ENSG00000177151	p.CVL203	tgCGTGCTG/tg	<i>missense</i>
9	19096763	<i>OR2T35</i>	ENSG00000177151	p.S65I	aGc/aTc	<i>missense</i>
9	139935163	<i>OR4C3</i>	ENSG00000176547	p.P192L	cCc/cTc	<i>missense</i>
9	33797951	<i>OR4C3</i>	ENSG00000176547	p.W174*	tGt/tgA	<i>nonsense</i>
10	116085784	<i>OR4C5</i>	ENSG00000176540	p.V307G	gTg/gGg	<i>missense</i>
10	100503793	<i>OR4C5</i>	ENSG00000176540	p.N304S	aAc/aGc	<i>missense</i>
10	100503793	<i>OR4C5</i>	ENSG00000176540	p.S285F	tCt/tTt	<i>missense</i>
10	19612946	<i>OR4C5</i>	ENSG00000176540	p.R273*	Cga/Tga	<i>nonsense</i>
10	19612946	<i>OR4C5</i>	ENSG00000176540	p.Y271C	tAc/tGc	<i>missense</i>
10	29779847	<i>OR4C5</i>	ENSG00000176540	p.K14*	Aaa/Taa	<i>nonsense</i>
11	110451011	<i>OR4C5</i>	ENSG00000176540	p.C228F	tGt/tTt	<i>missense</i>
11	110451011	<i>OR4C5</i>	ENSG00000176540	p.Y271C	tAc/tGc	<i>missense</i>
11	1017363	<i>OR6N2</i>	ENSG00000188340	p.R128P	cGg/cCg	<i>missense</i>
11	1016910	<i>OR9G1</i>	ENSG00000174914	p.V279E	gTg/gAg	<i>missense</i>
11	1017316	<i>OTOP1</i>	ENSG00000163982	p.P592A	Cct/Gct	<i>missense</i>
11	57995449	<i>OTOP1</i>	ENSG00000163982	p.R598P	cGa/cCa	<i>missense</i>
11	57995449	<i>OTOP1</i>	ENSG00000163982	p.R598G	Cga/Gga	<i>missense</i>
11	48347067	<i>OXER1</i>	ENSG00000162881	p.Q365H	caG/caC	<i>missense</i>
11	48347014	<i>P2RX5-TAX1BP3</i>	ENSG00000083454	p.L32Q	cTg/cAg	<i>missense</i>
11	48387978	<i>PFKFB2</i>	ENSG00000123836	p.R343W	Cgg/Tgg	<i>missense</i>
11	48387206	<i>PKD1</i>	ENSG00000008710	p.S1619F	tCc/tCc	<i>missense</i>
11	48387978	<i>PLCD1</i>	ENSG00000187091	p.M516	Atg/tg	<i>missense</i>
11	48387206	<i>PLEKHG5</i>	ENSG00000171680	p.R939C	Cgc/Tgc	<i>missense</i>
11	48387164	<i>PRIM2</i>	ENSG00000146143	p.G304*	Gga/Tga	<i>nonsense</i>
11	48387098	<i>PROS1</i>	ENSG00000184500	p.R355H	cGt/cAt	<i>missense</i>
11	56468699	<i>PRSS3</i>	ENSG00000010438	p.M166L	Atg/Ctg	<i>missense</i>
11	120984368	<i>PTPRH</i>	ENSG00000080031	p.Q887*	Cag/Tag	<i>nonsense</i>

Tabela suplementar 6: continuação (...)

Cr.	Posição	Gene	N Ensembl	Alteração na sequência proteica	Alteração na sequência codificadora	Tipo de mutação
12	43821128	RASA4	ENSG00000105808	p.M352V	Atg/Gtg	missense
12	52283225	RNF25	ENSG00000163481	p.E388Q	Gaa/Caa	missense
12	1963174	RNPEPL1	ENSG00000142327	p.D113N	Gat/Aat	missense
12	2062323	SAPCD1	ENSG00000228727	p.Q76*	Cag/Tag	nonsense
12	54756503	SDK2	ENSG0000069188	p.E1585K	Gag/Aag	missense
12	56075840	SKOR1	ENSG00000188779	p.T401M	aCg/aTg	missense
12	11183642	SPHK1	ENSG00000176170	p.R285fs*17	cGt/ct	missense
12	122359397	SPTA1	ENSG00000163554	p.Q2146R	cAa/cGa	missense
13	43358204	SRGAP2	ENSG00000163486	p.R21W	Cgg/Tgg	missense
13	48619856	SVIL	ENSG00000197321	p.L1374R	cTc/cGc	missense
14	23548787	TAS2R31	ENSG00000256436	p.L98P	cTt/cCt	missense
15	50366353	TECTA	ENSG00000109927	p.R244H	cGc/cAc	missense
15	43924420	TENM3	ENSG00000218336	p.G569S	Ggc/Agc	missense
15	68119368	TEX13A	ENSG00000133149	p.D199	Gat/at	missense
16	70896015	TMCS	ENSG00000103534	p.P293R	cCt/cGt	missense
16	2160312	TMEM139	ENSG00000178826	p.P188L	cCc/tTt	missense
16	19455492	TMEM41A	ENSG00000163900	p.G236E	gGa/gAa	missense
16	1278767	TPSB2	ENSG00000197253	p.A238T	ctG/ctA	missense
16	22126736	TRBV7-3	ENSG00000211714	p.T26S	Acc/Tcc	missense
16	88599699	TRBV7-3	ENSG00000211714	p.P62L	cCa/ta	missense
17	45214519	TTLL4	ENSG00000135912	p.R707H	cGc/cAc	missense
17	45214519	USP6	ENSG00000129204	p.R68W	Cgg/Tgg	missense
17	8135066	VCAM1	ENSG00000162692	p.L555V	Cta/Gta	missense
17	13400075	WHSC1L1	ENSG00000147548	p.S754L	tCg/tG	missense
17	21319285	WNT10A	ENSG00000135925	p.G165R	Ggg/Agg	missense
17	21319786	ZFP36L2	ENSG00000152518	p.A63V	gCa/gTa	missense
17	21319285	ZNF284	ENSG00000186026	p.Y33H	Tat/Cat	missense
17	21319087	ZNF624	ENSG00000197566	p.H574Y	Cat/Tat	missense
17	21207774	ZNF717	ENSG00000227124	p.E420Q	Gaa/Caa	missense
17	21207774	ZNF717	ENSG00000227124	p.H581R	cAt/cGt	missense
17	45904444	ZNF717	ENSG00000227124	p.G587S	Ggc/Agc	missense
17	45904444	ZNF717	ENSG00000227124	p.E595K	Gaa/Aaa	missense
17	3599205	ZNF717	ENSG00000227124	p.P618L	cCc/cTc	missense
17	71377042	ZNF717	ENSG00000227124	p.E620*	Gaa/Taa	nonsense
17	71377042	ZNF717	ENSG00000227124	p.C649*	tgT/tgA	nonsense
17	74383109	ZNF717	ENSG00000227124	p.Y758F	tAt/tTt	missense
17	74383109	ZNF717	ENSG00000227124	p.K826E	Aag/Gag	missense
17	5036211	ZNF717	ENSG00000227124	p.H832Q	caT/caG	missense
17	5036211	ZNF717	ENSG00000227124	p.G838E	gGg/gAg	missense
17	16526480	ZNF717	ENSG00000227124	p.K840*	Aaa/Taa	nonsense
18	50683852	ZNF717	ENSG00000227124	p.C844Y	tGt/tAt	missense
18	50683852	ZNF717	ENSG00000227124	p.T850I	aCt/aTt	missense
19	40376675	ZNF717	ENSG00000227124	p.P80T	Cca/Aca	missense

Tabela suplementar 6: continuação (...)

Cr.	Posição	Gene	N Ensembl	Alteração na sequência proteica	Alteração na sequência codificadora	Tipo de mutação
19	55697712	ZNF717	ENSG00000227124	p.G419W	Ggg/Tgg	missense
19	44585249	ZNF717	ENSG00000227124	p.Y619N	Tat/Aat	missense
20	29625873	ZNF717	ENSG00000227124	p.F376	tTT/t	missense
20	29625925	ZNF717	ENSG00000227124	p.R658C	Cgc/Tgc	missense
21	46924425	ZNF717	ENSG00000227124	p.H752Q	caT/caG	missense
22	25010828	GGT1	ENSG00000100031	p.G84S	Ggc/Agc	missense
22	25010828	ZNF717	ENSG00000227124	p.L829P	cTe/cCc	missense
22	23241753	ZNF717	ENSG00000227124	p.P841H	cCc/cAc	missense
22	22707728	ZNF717	ENSG00000227124	p.S855P	Tca/Cca	missense
22	36685292	ZNF717	ENSG00000227124	p.G153E	gGa/gAa	missense
22	36685292	ZNF717	ENSG00000227124	p.G177R	Gga/Aga	missense
X	55185656	ZNF717	ENSG00000227124	p.T208T?	act/acTt	missense
X	55185656	ZNF717	ENSG00000227124	p.G215V	gGg/gTg	missense
X	8764370	ZNF717	ENSG00000227124	p.S249*	tCa/tGa	nonsense
X	8764370	ZNF717	ENSG00000227124	p.G260R	Gga/Aga	missense
X	104464281	ZNF717	ENSG00000227124	p.L136F	ttG/tT	missense